



# การวิเคราะห์อย่างง่ายสำหรับอาคารสูง ภายใต้แรงกระทำด้านข้าง

โดย

ทักษิณ เทพชาตรี

โครงการวิจัย เลขที่ 108-MRD-2530  
ทุนส่งเสริมการวิจัยวิศวกรรมศาสตร์

สถาบันวิจัยและพัฒนาของคณะวิศวกรรมศาสตร์

คณะวิศวกรรมศาสตร์

จุฬาลงกรณ์มหาวิทยาลัย

กรุงเทพฯ

พฤษภาคม 2532

ก. ๑๖.๗.๕๑ ๘๐

## การวิเคราะห์อิริยาบถสำหรับอาคารสูงภายใต้แรงกระแทกด้านข้าง

โดย

ศาสตราจารย์ ดร. ทักษิณ เทพชาติ

วุฒิ วศ.บ. (เกียรตินิยม) จุฬาลงกรณ์มหาวิทยาลัย  
M.Sc. The University of Illinois, U.S.A.  
Ph.D. The University of Texas at Austin, U.S.A.

โครงการวิจัยเลขที่ 108-MRD-2530



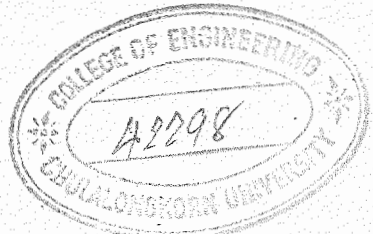
สถาบันวิจัยและพัฒนาของคณะวิกรรมศาสตร์  
คณะวิกรรมศาสตร์  
จุฬาลงกรณ์มหาวิทยาลัย  
กรุงเทพฯ  
พฤษภาคม 2532

## บทคัดย่อ

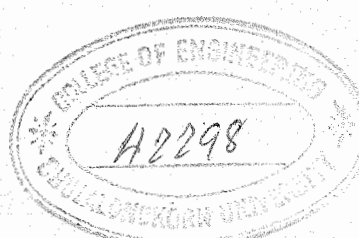
การวิจัยนี้ เป็นการศึกษาวิธีการวิเคราะห์ท่อข่างง่าย เพื่อหาค่าการกระจายแรงกระทำด้านข้างสำหรับโครงข้อแข็งรูปกล่องสี่เหลี่ยมผืนผ้า ที่สามารถแปรเปลี่ยนขนาดตามความสูงรวมถึงแรงกระทำด้านข้างที่มีลักษณะสมมาตรและไม่สมมาตร โดยสมมติให้การกระจายของแรงในโครงข้อแข็งรูปกล่องสี่เหลี่ยมผืนผ้า แบบตัวอย่างเดียวกระทำเป็นจุดที่ซึ่งยอดสุดรวมกับแรงกระจากในรูปโนลิโนเมลลอนดับต่างๆ ตลอดความสูง ทั้งนี้โดยอาศัยความสัมพันธ์ระหว่างแรงกระทำด้านข้างที่ผ่านตำแหน่งศูนย์กับการเคลื่อนที่ในแนวราบและแรงบิดกับมุมบิด

ความสัมพันธ์ดังกล่าวทั้งหมดได้โดยวิธีการวัดถูกต่อเนื่อง วิธีการนี้มีแกนโครงสร้างดิสครีต ด้วยกล่องเทียนเท่าอัตราของการอัด จากนั้นอาศัยการสมมติใหม่ให้ลักษณะการเคลื่อนที่เกิดขึ้นในโครงสร้าง ทำให้สามารถหาผลลัพธ์ความเครียดที่เกิดขึ้นในรูปของแรงเคลื่อนที่ของกล่องในแนวแกน ในแนวราบ รวมถึงมุมที่บิดไป จากนั้นจึงใช้กฎของหลังงานศักย์ รวมถึงกฎที่สุดและวิธีการของริทซ์ ในการหาชุดของสมการฟิชคิติ เพื่อหาค่าคงที่ติดอยู่ในฟังก์ชัน การเคลื่อนที่และมุมบิดที่สมมติขึ้น ก็จะได้ความสัมพันธ์ดังกล่าว โดยอาศัยสมการสมดุลย์และสมการต่อเนื่องที่ระดับอ้างอิง ได้กำหนดไว้ จะได้สมการในรูป เมตริกซ์ ใช้หาค่าการกระจายแรงในโครงข้อแข็งรูปกล่องสี่เหลี่ยมผืนผ้าได้

วิธีการนี้ใช้ค่าที่ถูกต้องพอสมควรเมื่อเทียบกับผลงานวิจัยของผู้อื่น



2

  
**Abstract**

This research presents a simplified analysis of lateral load for non-uniform frame tube. The analysis is also applicable to Symmetrical and non-symmetrical lateral load. The load distribution on a frame tube is first assumed to be represented by a concentrated load at the top together with a distributed load, in the form of a polynomial, through out the height of the building. This first approximation is obtained by relating the deflection and rotation at any reference level to any particular lateral load component and torsional load component respectively.

The afore mentioned relationship may be obtained by employing a continuum approach. First the discrete structure is replaced by an equivalent orthotropic. By means of simplifying assumptions regarding the principle mode of deformation in the structure, the strain energy is expressed in terms of the warping displacement, lateral displacement and twisting angle. The principle of minimum potential energy and the Ritz method are then applied to yield a set of algebraic equations for determining the undetermined constants in the assumed displacement functions and twisting angle functions. By making use of the equilibrium and compatibility equations at any desired set of reference levels, the desired equations are found in matrix form and the loads on the frame tube together with the responses may be determined.

The results obtained from this method agree reasonably well with solutions obtained by other researchers

### กิจกรรมทางการ

ผู้วิจัยขอขอบคุณและวิเคราะห์ความคิดเห็น จุฬาลงกรณ์มหาวิทยาลัย ที่ให้การสนับสนุนการวิจัยนี้จากเงินทุนวิจัยคณะฯ ประจำปี พ.ศ. 2531 และนายบรรพต เจริญสัทธิธรรม นิสิตปริญญาโทสาขาวิชารักษาที่ได้ให้ความช่วยเหลือในการวิจัยจนสำเร็จเรียบร้อยด้วยดี

## สารบัญ

	หน้า
บทคัดย่อ .....	๑
Abstract .....	๒
กิติกรรมประกาศ .....	๓
รายชื่อตาราง .....	๔
รายชื่อรูป .....	๕
รายการสัญลักษณ์ .....	๖
รายการภาคผนวก .....	๗
บทที่ 1. บทนำ .....	1
1.1 บทนำทั่วไป .....	1
1.2 การสำรวจการวิจัยในอดีต .....	2
1.3 วัตถุประสงค์ของการวิจัย .....	4
1.4 ขอบเขตของการวิจัย .....	5
2. วิธีการวิเคราะห์ .....	6
2.1 บทนำ .....	6
2.2 สมมติฐาน .....	6
2.3 ผู้ติดตามการรับแรงกระทำด้านข้างขององค์อาคาร .....	7
2.3.1 ผู้ติดตามการรับแรงกระทำด้านข้างของโครงสร้างแข็งรูปกล่อง สี่เหลี่ยมผืนผ้า .....	7
2.3.1.1 พลังงานศักย์ทั้งหมด (Total Potential Energy) ของโครงสร้างแข็งรูปกล่องสี่เหลี่ยมผืนผ้า .....	8
2.3.1.2 พลังงานศักย์เนื่องจากแรงกระทำภายนอก ..	11
2.3.1.3 วิธีการของริท .. (Ritz Method) .....	11
2.4 กฤษฎีใช้ในการวิจัย .....	13
3. ขั้นตอนของโปรแกรมวิเคราะห์ .....	19
3.1 โปรแกรมการน้อมข้อมูล .....	19

3.2	โปรแกรมวิเคราะห์ข้อมูล .....	20
3.3	โปรแกรมแสดงผลลัพธ์การวิเคราะห์ .....	21
4	ตัวอย่างและผลการวิเคราะห์ .....	22
4.1	ตัวอย่างที่ 1 โครงข้อเข็งรูปกล่องสี่เหลี่ยมผืนผ้าขนาดช่วงห่างระหว่างเสาสองด้านเท่ากัน ต้านแรงบิดคงที่ .....	22
4.2	ตัวอย่างที่ 2 โครงข้อเข็งรูปกล่องสี่เหลี่ยมผืนผ้าขนาดช่วงห่างระหว่างเสาสองด้านเท่ากัน ต้านแรงกระทำด้านซ้ายด้านขวา .....	24
4.3	ตัวอย่างที่ 3 โครงข้อเข็งรูปกล่องสี่เหลี่ยมผืนผ้าขนาดช่วงห่างระหว่างเสาสองด้านเท่ากัน ต้านแรงกระทำด้านซ้ายที่ไม่ผ่านศูนย์กลางตามเกณฑ์มาตรฐาน กรุงเทพมหานคร .....	25
5.	สรุปผลการวิจัยและข้อเสนอแนะ .....	27
5.1	สรุปผลการวิจัย .....	27
5.2	ข้อเสนอแนะ .....	28
	เอกสารอ้างอิง .....	29
	รูปภาพประกอบ .....	31
	ตารางประกอบ .....	62
	ภาคผนวก .....	73

## รายชื่อตาราง

ตารางที่	ชื่อตาราง	หน้า
		๔
1.	คุณสมบัติข้อส่วนของโครงสร้างแข็งรูปกล่องลี่เหลี่ยมผืนผ้า (ตัวอย่างที่ 1)	63
2.	คุณสมบัติต่างๆของกล่องเที่ยบเท่าออร์โธกรอปิกที่ใช้ในการวิเคราะห์ (ตัวอย่างที่ 1)	64
3.	แสดงค่า Stiffness Factor และ Shear Lag Parameter (ตัวอย่างที่ 1)	65
4.	แสดงค่ามุมบิดที่จุดยอดสุดของโครงสร้างแข็งรูปกล่องลี่เหลี่ยมผืนผ้า (ตัวอย่างที่ 1)	65
5.	โมเมนต์ดัดของเสาตันDEMของด้านที่ 1 (ตัวอย่างที่ 1)	66
6.	คุณสมบัติข้อส่วนของโครงสร้างแข็งรูปกล่องลี่เหลี่ยมผืนผ้า (ตัวอย่างที่ 2)	67
7.	คุณสมบัติต่างๆของกล่องเที่ยบเท่าออร์โธกรอปิกที่ใช้ในการวิเคราะห์ (ตัวอย่างที่ 2)	68
8.	การเปรียบเทียบผลลัพธ์ของแรงในแนวแกนของเสาด้านที่ 1 (ตัวอย่างที่ 2)	69
9.	การเปรียบเทียบผลรวมของแรงเฉือนในคาน 5 ชิ้นแรกด้านที่ 2 (ตัวอย่างที่ 2)	70
10.	คุณสมบัติข้อส่วนของโครงสร้างแข็งรูปกล่องลี่เหลี่ยมผืนผ้า (ตัวอย่างที่ 3)	71
11.	คุณสมบัติต่างๆของกล่องเที่ยบเท่าออร์โธกรอปิกที่ใช้ในการวิเคราะห์ (ตัวอย่างที่ 3)	72

## รายชื่อรูป

รูปที่	ชื่อรูป	หน้า
1.	การແພນໂຄຮສ້າງຕິສຄຣີຕ (Discrete Structure) ດ້ວຍກລ່ອງເທິຍເກົ່າ ອອຽ໌ໂໂກໂກຣອົມດ	32
2.	ກົດກາງຂອງແກນ $x$ , $y$ , $z$ ຜວາມເຄື່ອນໄຫຼ້ ແລະ ຂະນາດຂອງກລ່ອງ ເທິຍເກົ່າອອຽ໌ໂໂກໂກຣອົມດ	32
3.	ແກນອ້າງອີງ $x$ , $y$ , $z$ ແລະ ລັກຂະກາງເຄື່ອນໄຫຼ້ຂອງໂຄຮອມອາຄາຣທີ່ໃຊ້ໃນການ ວິເຄຣາທີ່	33
4.	ກາຮແພນແຮງກະທຳດ້ານໜ້າງ $P(x)$ ດ້ວຍແຮງກະທຳເປັນຈຸດທີ່ຈຸດອຸດສຸດ ແລະ ແຮງໃນຮູບໄໂລໂນເມືຂລັ້ນດັບຕ່າງໆ	33
5.	ກາຮາຄ່າໂມດູລສໍດຍໜຸ່ນ (Modulus of Elasticity) $E_z$ ຂອງກລ່ອງ ເທິຍເກົ່າອອຽ໌ໂໂກໂກຣອົມດ	34
6.	ກາຮາຄ່າໂມດູລສກາງເລືອນ (Shear modulus) $G_{zz}$ ຂອງກລ່ອງເທິຍເກົ່າ ອອຽ໌ໂໂກໂກຣອົມດ	34
7.	ແສດງລັບຍຸດລັກໝົດກາງແປຣເປີ່ຍນໍາາດຂອງເຫັນລ່ວມາມຄວາມສູງ	35
8.	ການແສດງຄ່າສັນປະລິກິດ $M_1$ , $M_2$ , $M_3$ (Aspect Ratio = 0.5)	36
9.	ການແສດງຄ່າສັນປະລິກິດ $M_1$ , $M_2$ , $M_3$ (Aspect Ratio = 0.666)	37
10.	ການແສດງຄ່າສັນປະລິກິດ $M_1$ , $M_2$ , $M_3$ (Aspect Ratio = 1.00)	38
11.	ການແສດງຄ່າສັນປະລິກິດ $M_1$ , $M_2$ , $M_3$ (Aspect Ratio = 1.50)	39
12.	ການແສດງຄ່າສັນປະລິກິດ $M_1$ , $M_2$ , $M_3$ (Aspect Ratio = 2.00)	40
13.	ແສດງຂັ້ນຕອນຕ່າງໆຂອງ ໂປຣແກມກາຮປັ້ນຂ້ອມໝູລ	41
14.	ແສດງຂັ້ນຕອນຕ່າງໆຂອງ ໂປຣແກມກາຮປັ້ນຂ້ອມໝູລ ໂຄຮງຂ້ອມເຮັ້ງຮູບກລ່ອງສີ່ເໜ້ຍຜົ່ນເມັນ	42
15.	ແສດງຂັ້ນຕອນຕ່າງໆຂອງ ໂປຣແກມວິເຄຣາທີ່ຂ້ອມໝູລ	43
16.	ແສດງຂັ້ນຕອນຕ່າງໆຂອງ ໂປຣແກມແສດງພລລັພນົມກາຮວິເຄຣາທີ່	44
17 ก.	ແສດງມິຕີແລະແປລເນັ້ນຂັ້ນທີ່ໄປຂອງໂຄຮງຂ້ອມເຮັ້ງຮູບກລ່ອງສີ່ເໜ້ຍຜົ່ນເມັນ (ຕ້ວອຍ່າງທີ່ 1)	45

17 ข. แสดงมิติและแปลนพื้นที่นั่นก้าวไปของกล่องเทียนเท่าออร์โคกรอปิกที่ใช้ใน การวิเคราะห์ (ตัวอย่างที่ 1)	45
18. มุบิดที่ชนต่างๆ (ตัวอย่างที่ 1)	46
19. แรงในแนวแกนของเสาด้านที่ 1 และ 2 ตามลำดับ (ตัวอย่างที่ 1)	47
20. แรงเฉือนในเสาและคานของด้านที่ 1 และ 2 ตามลำดับ (ตัวอย่างที่ 1)	48
21. แสดงการกระจายแรงในแนวแกนของเสาที่เกิดขึ้นจากแรงบิดอย่างเดียว (ตัวอย่างที่ 1)	49
22 ก. แสดงมิติและแปลนพื้นที่นั่นก้าวไปของโครงข้อแข็งรูปกล่องสี่เหลี่ยมผืนผ้า (ตัวอย่างที่ 2)	50
22 ข. แสดงมิติและแปลนพื้นที่นั่นก้าวไปของกล่องเทียนเท่าออร์โคกรอปิกที่ใช้ใน การวิเคราะห์ (ตัวอย่างที่ 2)	50
23. แสดงการกระจายแรงในแนวแกนของเสาที่เกิดขึ้นจากแรงในแนวราบที่ผ่านศูนย์ อย่างเดียว (ตัวอย่างที่ 2)	51
24 ก. แสดงมิติและแปลนพื้นที่นั่นก้าวไปของโครงข้อแข็งรูปกล่องสี่เหลี่ยมผืนผ้า (ตัวอย่างที่ 3)	52
24 ข. แสดงมิติและแปลนพื้นที่นั่นก้าวไปของกล่องเทียนเท่าออร์โคกรอปิกที่ใช้ใน การวิเคราะห์ (ตัวอย่างที่ 3)	52
25. ระยะเออนที่ระดับชนต่างๆ (ตัวอย่างที่ 3)	53
26. มุบิดที่ระดับชนต่างๆ (ตัวอย่างที่ 3)	53
27. แรงในแนวแกนของเสาด้านที่ 1 (ตัวอย่างที่ 3)	54
28. แรงในแนวแกนของเสาด้านที่ 2 (ตัวอย่างที่ 3)	55
29. แรงในแนวแกนของเสาด้านที่ 3 (ตัวอย่างที่ 3)	56
30. แรงในแนวแกนของเสาด้านที่ 4 (ตัวอย่างที่ 3)	57
31. แรงเฉือนในเสาและคานของด้านที่ 1 (ตัวอย่างที่ 3)	58
32. แรงเฉือนในเสาและคานของด้านที่ 2 (ตัวอย่างที่ 3)	59
33. แรงเฉือนในเสาและคานของด้านที่ 3 (ตัวอย่างที่ 3)	60
34. แรงเฉือนในเสาและคานของด้านที่ 4 (ตัวอย่างที่ 3)	61

### รายการสัญลักษณ์

- $A_1, A_2$  = ค่าคงที่ของฟังก์ชันในแนวแกนของมุกกล่องเทียบเท่าอัตราการอปิคเนื่องจากแรงกระทำด้านข้างที่ผ่านศูนย์กลางของโครงอาคารและแรงบิด  
 $A_c, A_{cc}$  = พื้นที่หน้าตัดของเสาภายใต้และเสาตันมุกของโครงห้องแข็งรูปกล่องสี่เหลี่ยมผืนผ้า (ภาคผนวก ก).  
 $A_{cc}$  = พื้นที่หน้าตัดแท็มขันของมุกกล่องเทียบเท่าอัตราการอปิค (ภาคผนวก ก)  
 $A_{rb}, A_{rc}, A_{rcc}$  Effective Shear Area ของคาน เสาภายใต้ และเสาตันมุกตามลำดับ  
 $B_1, B_2$  = ค่าคงที่ของฟังก์ชันในแนวแกนของมุกกล่องเทียบเท่าอัตราการอปิคเนื่องจากแรงกระทำด้านข้างที่ผ่านศูนย์กลางของโครงอาคารและแรงบิด  
 $2b, 2c$  = ความยาวของด้านที่ 2 และ 1 ของกล่องเทียบเท่าอัตราการอปิคตามลำดับ  
 $C_1, C_2$  = ค่าคงที่ของฟังก์ชันในแนวแกนของมุกกล่องเทียบเท่าอัตราการอปิคเนื่องจากและแรงกระทำด้านข้างที่ผ่านศูนย์กลางของโครงอาคารและแรงบิด  
 $d$  = ระยะห่างระหว่างเสาของโครงห้องแข็งรูปกล่องสี่เหลี่ยมผืนผ้า  
 $d_b, d_c$  = ความลึกของคานและความกว้างของเสาตามลำดับ  
 $d_1, d_2$  = ระยะห่างระหว่างเสาของด้านที่ 1 และ 2 ตามลำดับ  
 $E, E_z$  = โมดูลัสหยัดหย่อนของโครงห้องแข็งรูปกล่องสี่เหลี่ยมผืนผ้าและกล่องเทียบเท่าอัตราการอปิค ตามลำดับ  
 $E_1, E_2, E_c$  = โมดูลัสหยัดหย่อนเทียบเท่าของด้านที่ 1, 2 และที่มุกของกล่องเทียบเท่าอัตราการอปิค (ภาคผนวก ก) ตามลำดับ  
 $\frac{\tilde{F}}{F}$  = เมตริกซ์การหยัดหย่อนของโครงอาคาร  
 $G, G_{zs}$  = โมดูลัสของการเฉือนของโครงห้องแข็งรูปกล่องสี่เหลี่ยมผืนผ้าและกล่องเทียบเท่าอัตราการอปิค ตามลำดับ  
 $G_1, G_2$  = โมดูลัสของการเฉือนเทียบเท่าของด้านที่ 1 และ 2 ตามลำดับ  
 $H$  = ความสูงทั้งหมดของโครงอาคาร  
 $h$  = ความสูงระหว่างชั้น  
 $I_b, I_c, I_{cc}$  = โมเมนต์ความเฉือยกของหน้าตัดคาน เสาภายใต้และเสาตันมุกตามลำดับ  
 $j$  = ตัวชี้วัดโครงอาคารตัวที่ j

- J = จำนวนโครงการทั้งหมดที่ประกอบขึ้นเป็นโครงสร้าง
- $K_1, K_2, K_3$  = ค่าคงที่ของฝังก์ชันเมบิกของกล่องเทียบเท่าออร์ซิกรอปิคเนื่องจากแรงกระทำที่ผ่านศูนย์กลาง
- $K_4, K_5, K_6$  = ค่าคงที่ของฝังก์ชันระยะเวอนของกล่องเทียบเท่าออร์ซิกรอปิคเนื่องจากแรงบิด
- m = จำนวนระดับอ้างอิง .
- $M_T$  = โมเมนต์บิดเนื่องจากแรงภายนอก
- $\tilde{M}_T$  = เวගเตอร์ของโมเมนต์บิดเนื่องจากแรงภายนอก
- O = ตำแหน่งจุดอ้างอิงในโครงสร้าง
- P = เวගเตอร์ของแรงกระทำผ่านศูนย์กลาง
- $P_i$  = แรงกระทำผ่านศูนย์กลางในรูปอนุกรม โพลีโนเมียลอันดับต่างๆ  
 $(i = 0, 1, 2, 3, \dots)$
- $P_o$  = แรงกระทำผ่านศูนย์เป็นจุด ที่จุดยอดสุดในโครงอาคาร
- Q = แรงเฉือนที่เกิดขึ้นในโครงอาคาร
- $\tilde{Q}$  = เวගเตอร์ของแรงเฉือนที่เกิดขึ้นในโครงอาคาร
- $Q_{C1}, Q_{C2}$  = แรงเฉือนของเสาตันมูของด้านที่ 1 และ 2 ตามลำดับ
- $Q_1, Q_2$  = แรงเฉือนของเสากายในของด้านที่ 1 และ 2 ตามลำดับ
- $\tilde{S}$  = เมตริกซ์ของประกอบด้วยค่าคงที่
- $T_i$  = แรงบิดในรูปอนุกรม โพลีโนเมียลอันดับต่างๆ ( $i = 0, 1, 2, 3, \dots$ )
- $T_o$  = แรงบิดเป็นจุด ที่จุดยอดสุดในโครงอาคาร
- t = ความหนาของกล่องเทียบเท่าออร์ซิกรอปิค
- $t_1, t_2$  = ความหนาของกล่องเทียบเท่าออร์ซิกรอปิคด้านที่ 1 และ 2 ตามลำดับ
- U = พลังงานความเครียดทั้งหมด
- $U_1, U_2, U_C$  = พลังงานความเครียดที่เกิดขึ้นในด้านที่ 1, 2 และที่มุกกล่องเทียบเท่าออร์ซิกรอปิค ตามลำดับ
- V = พลังงานศักย์เนื่องจากแรงภายนอก
- $V_1, V_2$  = แรงเฉือนที่เกิดขึ้นในด้านที่ 1 และ 2 ตามลำดับ

$v_p, v_t$	= พลังงานเด็กซ์เนื่องจากแรงภายนอกที่เป็นแรงกระทำที่ผ่านศูนย์และแรงบิดตามลำดับ
$u, v, w$	= การเคลื่อนที่ที่เกิดขึ้นในทิศทาง $x, y, z$ ตามลำดับ
$w_c$	= การเคลื่อนที่ในแนวแกนของมุกกล่องเที่ยบเท่าออร์โธกรอปิค
$w_L$	= แรงเฉือนเนื่องจากแรงภายนอก
$\tilde{w}_L$	= เวลาเตอร์ของแรงเฉือนเนื่องจากแรงภายนอก
$x, y, z$	= ระบบพิกัดฉากร
$X$	= ระยะในแนวตั้งจากจุดสูงสุดในโครงอาคาร
$\tilde{Y}$	= เวลาเตอร์ของระยะเออนในทิศทางของแรงกระทำผ่านศูนย์
$Z$	= ระยะของโครงอาคารจากจุดพิกัดเริ่มต้น
$\epsilon_x, \epsilon_y, \epsilon_z$	= ความเครียดในทิศทาง $x, y, z$ ตามลำดับ
$\sigma_x, \sigma_y, \sigma_z$	= ความดันในทิศทาง $x, y, z$ ตามลำดับ
$\gamma_{xz}, \gamma_{yz}$	= ความเครียดของการเฉือนของด้านที่ 1 และ 2 ตามลำดับ
$\tau_{xz}, \tau_{yz}$	= ความดันการเฉือนของด้านที่ 1 และ 2 ตามลำดับ
$\epsilon_c, \sigma_c$	= ความเครียดและความดันในแนวแกนของมุกกล่องเที่ยบเท่าออร์โธกรอปิคตามลำดับ
$\theta$	= มุมเบิดในระนาบราบ
$\bar{\theta}$	= มุมเบิดในรูปของฟังก์ชันที่สมมติขึ้น
$\Delta$	= ระยะเออนในรูปของฟังก์ชันที่สมมติขึ้น
$\xi$	= พารามิเตอร์ $= Z/H$

## รายชื่อภาคผนวก

### ชื่อภาคผนวก

**ภาคผนวกที่**

**หน้า**

ก. วิธีการหาค่าต่างๆที่ใช้ในการวิเคราะห์ของกล่องเก็บเท่า ออร์ไซโกรอปิค	74
ข. วิธีการหาความสัมพันธ์ระหว่างแรงบิดในรูปแบบบิดเดียวที่จุดยอดสุดและ โนลิโนเมียลอันดับต่างๆกับมุมบิดของโครงสร้างรูปกล่องสี่เหลี่ยมผืนผ้า	77
ค. วิธีการหาความสัมพันธ์ระหว่างแรงเดียวในแนวราบที่ผ่านศูนย์ที่จุดยอดสุด และโนลิโนเมียลอันดับต่างๆกับระยะเหยียดของโครงสร้างรูปกล่องสี่เหลี่ยมผืนผ้า	83
ง. การหาแรงภายในโครงสร้างติสครีตของโครงสร้างรูปกล่องสี่เหลี่ยมผืนผ้า	90
จ. ตัวอย่างการป้อนข้อมูลและผลลัพธ์การวิเคราะห์	92

หน้า 1

หน้า

หน้าที่วัน

ในโครงสร้างอาคารสูง แรงกระทำด้านข้างอันเกิดจากแรงลมหรือแรงเนื่องจาก  
แผ่นเดินไนรัจดีได้ว่ามีความสำคัญอย่างหนึ่งในการออกแบบ นอกเหนือจากแรงกระทำในแนวตั้ง  
ได้แก่ น้ำหนักบรรทุกคงที่และน้ำหนักการ โดยปกติโครงสร้างอาคารสูงที่มีจำนวนชั้นไม่เกิน 20 ชั้น  
โครงอาคารประทุมโครงข้อแข็ง ผังด้านแรงเนื้อแน่เดียว หรือผังด้านแรงเนื้อนครุ  
ก็มีความแข็งแรงเพียงพอที่จะต้านทานแรงกระทำด้านข้าง ได้ เมื่อจำนวนชั้นของอาคารเกิน 40  
ชั้นขึ้นไป การที่จะใช้โครงอาคารประทุมตั้งกล่าว ย่อมก่อให้เกิดความไม่เหมาะสมและ  
ไม่ประทุด เนื่องจากสติปนเลษของโครงอาคารมีค่าน้อยเมื่อเทียบกับความชลุดของอาคาร  
ทำให้การเคลื่อนที่ในแนวราบสูงเกินกว่าที่ยอมให้ในการออกแบบ ดังนั้นโครงข้อแข็งรูปกล่อง  
สี่เหลี่ยมผืนผ้า เป็นโครงอาคารประทุมที่ได้ถูกพัฒนาขึ้นมาเพื่อใช้ต้านทานแรงกระทำด้านข้าง  
เมื่อจำนวนชั้นสูงขึ้น โดยอาศัยคุณสมบัติทางด้านรูปร่างของโครงอาคารที่ให้สติปนเลษสูง  
ขึ้น โครงข้อแข็งรูปกล่องสี่เหลี่ยมผืนผ้า ประกอบด้วยเสาออบอกที่มีการจัดวางระยะห่างใกล้กัน  
พอสมควรและยืดด้วยคาดที่แข็งแกร่ง ในแต่ละชั้น ทำให้มีผลต่อการหมุนโครงข้อแข็งรูปกล่อง  
สี่เหลี่ยมผืนผ้า โดยทั่วไประยะห่างของช่วงเสามีค่า 1.22 ม. สูง 4.50 ม. และความกว้าง  
ของคานยิดมีค่า 0.60 ม. สูง 1.22 ม. ส่วนความลึกของคาน มีค่า 0.25 ม. สูง 1.00 ม.  
ในโครงสร้างอาคารสูง อาจจะประกอบด้วยโครงอาคารหล่ายระบบดังที่กล่าวมาข้างต้น  
ซึ่งการวิเคราะห์หากำลังฯ เพื่อใช้ในการออกแบบ สามารถทำได้ด้วยการวิเคราะห์ละเอียด  
โดยการใช้โปรแกรมคอมพิวเตอร์ เช่น SAP IV, ETABS เป็นต้น แม้ความยุ่งยากและ  
ใช้เวลาในการป้อนข้อมูลมาก รวมทั้งเสียค่าใช้จ่ายสูงจึงไม่เหมาะสมที่จะใช้ในการออกแบบชั้นต้น  
ดังนั้นการวิเคราะห์โดยประมาณที่ให้ค่าถูกต้องและง่ายต่อการใช้งาน ย่อมเหมาะสมที่จะใช้ในการ  
ออกแบบชั้นต้น งานวิจัยนี้จึงมุ่งที่จะศึกษาวิธีการวิเคราะห์อย่างง่ายของโครงข้อแข็ง  
รูปกล่องสี่เหลี่ยมผืนผ้าในการต้านทานแรงกระทำด้านข้างที่เกิดขึ้น โดยการใช้คอมพิวเตอร์ช่วย  
ในการวิเคราะห์ ทำให้ได้ค่าถูกต้องและรวดเร็วขึ้น โดยวิธีเดียวกันนี้ สามารถที่จะนำไป

วิเคราะห์ร่วมกับโครงสร้างอาคารที่อาจจะประกอบไปด้วย โครงข้อแข็ง หรือผนังต้านแรงเฉือน เดี่ยว หรือผนังต้านแรงเฉือนคู่ เป็นต้น

## 1.2 การสำรวจการวิจัยในอดีต

วิธีการวิเคราะห์โดยประมาณของโครงข้อแข็งรูปกล่องสี่เหลี่ยมผืนผ้า ได้มีการค้นคว้า กันมาเป็นจำนวนมาก แต่ก็มีข้อจำกัด ในแต่ละวิธีการวิเคราะห์ ทึ้งในด้านการเปลี่ยนขนาด ของชิ้นส่วน การคำนวณหาค่าแรงหรือระยะเออน ชนิดของแรงกระทำด้านข้าง เป็นต้น อよ่างเช่น

Coull และ Subedi [ 1 ] ได้เสนอวิธีโครงข้อแข็งระบบเที่ยบเท่า (Equivalent Plane Frame) โดยอาศัยลักษณะการต้านทานทางแรงกระทำด้านข้างที่สำคัญ และความสามารถของโครงสร้าง ทำให้สามารถจำลอง โครงข้อแข็งรูปกล่องสี่เหลี่ยมผืนผ้า 3 มิติ เป็นโครงข้อแข็งด้านที่หนาแนน เชื่อมต่อกับโครงข้อแข็งด้านที่ตั้งจากกับพิศทางของแรงกระทำด้านข้าง ด้วยองค์ความรู้ถ่ายเฉพาะแรงเฉือนในแนวตั้งเท่านั้น วิธีนี้สามารถประยุกต์กับโปรแกรม วิเคราะห์โครงข้อแข็งที่มีอยู่แล้ว ซึ่งค่าความถูกต้องขึ้นอยู่กับสติฟเนสขององค์ความรู้ที่เชื่อมต่อ แต่ก็ศึกษา เฉพาะกรณีแรงดันที่เกิดขึ้นจากแรงกระทำด้านข้างเท่านั้น ในลักษณะวิธีการที่ คล้ายคลึงกัน Rutenberg [ 2 ] ได้ศึกษาระบบถึงแรงดันและแรงบิด ที่ด้านหน้าโดย โครงข้อแข็ง รูปกล่องสี่เหลี่ยมผืนผ้า

Khan และ Amin [ 3 ] ได้เสนอวิธีการวิเคราะห์โครงข้อแข็งรูปกล่องสี่เหลี่ยมผืนผ้า โดยประมาณ อาศัยผลจากการวิเคราะห์โครงข้อแข็งรูปกล่องสี่เหลี่ยมผืนผ้าที่สูง 10 ทึ้น ด้วยการใช้โปรแกรมคอมพิวเตอร์มาวิเคราะห์ โดยการเปลี่ยนอัตราส่วนสติฟเนสของเสา และคาน รวมถึงอัตราส่วนความกว้างของด้านตั้งจากและด้านหนานกับแรงกระทำด้านข้าง และผลของการวิเคราะห์มาจัดทำเป็นกราฟที่ขึ้นอยู่ค่ารามิเตอร์ต่างๆ ทำให้สามารถ หาค่าแรงในแนวแกนของเสาและแรงเฉือนในคานได้ โดยอาศัยกราฟที่ได้จัดทำไว้ รวมถึง การพิจารณาลักษณะของการเคลื่อนที่ที่สำคัญทำให้สามารถหาค่าระยะเออนได้ แต่ก็ยังมีข้อจำกัด ให้ได้เฉพาะกรณีแรงกระทำด้านข้างที่มีการกระจายคงที่ตลอดความสูง

Coull และ Bose [ 4,5 ] ได้เสนอวิธีการวิเคราะห์โครงข้อแข็งรูปกล่องสี่เหลี่ยมผืนผ้าโดยประมาณที่ต้านแรงด้วยวิธีนี้ ได้ใช้การแทนโครงสร้างดิสกอร์ต (Discrete Structure) ด้วยกล่องเที่ยบเท่าออร์โถกรอปิก (Equivalent Orthotropic Tube) ที่มีค่าโมดูลัสยืดหยุ่น (Modulus of Elasticity) ในแนวราบและแนวตั้งเที่ยบเท่ากับสติฟเนสของเสาและคาน รวมถึงค่าโมดูลัสของการเฉือน (Shear Modulus) ที่เที่ยบเท่ากับสติฟเนสของการเฉือนของหน่วยโครงข้อแข็ง โดยการสมมติการกระจายหน่วยแรงในแนวแกนของกล่องเที่ยบเท่าออร์โถกรอปิก หากค่าพลังงานความเครียดทั้งหมด (Total Strain Energy) แล้วใช้หลักพลังงานศักย์รวมน้อยที่สุด (Principle of Minimum Total Potential Energy) ทำให้หาค่าคงที่ของฟังก์ชันที่สมมติขึ้นได้ แทนค่าต่างๆ ในสมการทำให้สามารถหาค่าแรงที่เกิดขึ้นได้ ส่วนการเคลื่อนที่สี่เหลี่ยมจากวิธีการที่เสนอโดย Coull และ Ahmed [ 6 ] แต่ก็ใช้ได้กับโครงข้อแข็งรูปกล่องสี่เหลี่ยมผืนผ้า ที่มีขนาดของคานและเสากองที่ตลอดความสูงเท่านั้น

สุธรรม [ 7 ] ได้เสนอวิธีสำหรับโครงข้อแข็งรูปกล่องสี่เหลี่ยมผืนผ้าซึ่งต้านแรงกระแทกด้านข้างที่สมมาตร อาจเป็นแรงกระจาดขนาดคงที่ตลอดความสูง รูปสามเหลี่ยมรูปสี่เหลี่ยมคง hely โดยการสมมติการกระจายของหน่วยยืดหยุ่นในเสารอบนอก จากนั้นใช้กฎวีรกรรมสมดุลร์และสมมติฐานของการเคลื่อนที่ของหน่วยเล็ก ๆ แต่ละหน่วย ทำให้สามารถหาพลังงานหายใจในที่เกิดจาก การโถ่ล้ำสำหรับโครงข้อแข็งด้านบนกับแรงด้านล่าง และพลังงานจากการรัดหรือหดของเสาในทุกความสูงได้ และใช้วิธีการของริตซ์ (Ritz) สามารถหาค่าคงที่ที่สมมติขึ้นได้ จากนั้นหาค่าแรงและการเคลื่อนที่ของโครงข้อแข็งรูปกล่องสี่เหลี่ยมผืนผ้าซึ่งวิธีการนี้ใช้ได้กับโครงข้อแข็งรูปกล่องสี่เหลี่ยมผืนผ้าที่มีการเปลี่ยนขนาดได้

มูลสวาร์ต [ 8 ] ได้เสนอวิธีการวิเคราะห์โครงข้อแข็งรูปกล่องสี่เหลี่ยมผืนผ้าซึ่งต้านแรงบิด โดยนำเอาวิธีการของ Coull และ Bose มาดัดแปลง มากับค่าวัตต์และใช้วิธีการเดียวกัน แต่ต่างกันที่การสมมติการเคลื่อนที่สำหรับการสมมติการกระจายหน่วยแรงของกล่องเที่ยบเท่าออร์โถกรอปิก ทำให้สามารถหาพลังงานหายใจในที่เกิดขึ้นในรูปของการเคลื่อนที่ในแนวตั้ง และมุมที่บิดไปของกล่องเที่ยบเท่าออร์โถกรอปิก จากนั้นจึงใช้หลักพลังงานศักย์รวมน้อยที่สุด และวิธีการของริตซ์ ในการหาค่าของสมการเส้นตรงทางฟีชเชลลิตเพื่อหาค่าคงที่ที่ติดอยู่ในฟังก์ชันของการเคลื่อนที่ซึ่งสมมติขึ้น แต่ก็ทดสอบผลเฉพาะกรณีแรงบิดที่มีขนาดคงที่

ตลอดความสูง วิธีนี้ใช้ได้กับโครงข้อแข็งรูปกล่องสี่เหลี่ยมที่มีการเปลี่ยนขนาดของเส้าและคานตามความสูงได้

สำหรับการวิเคราะห์โดยการจำลองแรงด้านข้างที่มากระทำต่อโครงสร้างนั้น ได้มีการศึกษาถูกมาเฉพาะกรณีโครงสร้างประกอบด้วย โครงข้อแข็ง ผนังต้านแรงเฉือนเดียว และผนังต้านแรงเฉือนคู่ เป็นต้น อย่างเช่น

Coull และ Adams [ 9 ] ได้เสนอวิธีการวิเคราะห์โครงอาคารที่ประกอบด้วยผนังต้านแรงเฉือนคู่ และผนังต้านแรงเฉือนเดียว โดยการแทนแรงที่ด้านทันใดโดยโครงอาคารด้วยแรงกระทำในรูปโนลิโนเมียลแล้วสมมติว่า โครงอาคารทึบสองต่อ กันเป็นจุดๆ โดยที่จำนวนจุดต่อขึ้นอยู่กับอันดับสูงสุดของ โนลิโนเมียล ทำให้สามารถตั้งสมการเพื่อหาค่าสัมประสิทธิ์ของโนลิโนเมียลได้ แต่ผลลัพธ์ที่ได้จะลุ่อก (Diverge) เมื่อใช้ค่ากำลังสูงสุดของโนลิโนเมียล ต่อมาก็ Coull และ Mohammed [ 10 ] ก็ได้เสนอวิธีการวิเคราะห์อย่างง่ายสำหรับโครงอาคารที่ประกอบด้วย โครงข้อแข็ง ผนังต้านแรงเฉือนเดียว ผนังต้านแรงเฉือนคู่ และ Shear Core โดยใช้หลักการเดียวกันต่างกันที่เพิ่มแรงที่ด้านโดยโครงอาคารด้วย แรงเดียวที่จุดยอดสุด แต่ก็ไม่ได้เปลี่ยนขนาดของโครงอาคาร โดยใช้หลักการเดียวกับของ Coull และ Mohammed นีรัสก์ [ 11 ] ได้นำมาเขียนโปรแกรมคอมพิวเตอร์ ทำให้การวิเคราะห์สะดวกและรวดเร็ว นอกเหนือจากนี้ยังได้เพิ่มเติมในส่วนที่โครงอาคารสามารถเปลี่ยนขนาดตามความสูงได้ เช่น โครงข้อแข็ง ผนังต้านแรงเฉือนเดียว เป็นต้น ซึ่งค่าความถูกต้องนี้แข็งอยู่กับ การใช้อันดับสูงสุด ของโนลิโนเมียล ตำแหน่งของระดับอ้างอิง (Reference Level) เป็นต้น แต่ก็ให้ผลที่น่าเชื่อถือเพียงพอสำหรับการออกแบบชั้นต้นได้ ดังนี้วิธีการนี้จึงเหมาะสมที่จะนำมาใช้กับโครงข้อแข็งรูปกล่องสี่เหลี่ยมผืนผ้า ที่สามารถเปลี่ยนขนาดของเส้าและคานตามความสูงได้ รวมถึงแรงกระทำด้านข้างที่มีการกระจายในรูปแบบต่างๆ และวิเคราะห์ร่วมกับโครงอาคารประเภทอื่นๆ ที่ใช้ด้านกามแรงกระทำด้านข้างได้อีกด้วย

### 1.3 วัสดุประสงค์ของ การวิจัย

#### 1.3.1 เพื่อศึกษาพฤติกรรมของการรับแรงกระทำด้านข้างของ โครงข้อแข็งรูปกล่อง

สีเหลี่ยมผืนผ้า ทึ้งการสมมาตรและไม่สมมาตรของแรงกระทำด้านข้าง

1.3.2 เพื่อวิเคราะห์หาค่าต่างๆ ที่ใช้ในการออกแบบชิ้นต้นของโครงข้อแข็งรูปกล่องสีเหลี่ยมผืนผ้าได้อย่างรวดเร็วและถูกต้อง

#### **1.4 ขอบเขตของการวิจัย**

การวิจัยนี้จะศึกษาถึงวิธีการวิเคราะห์อย่างง่าย เพื่อหาค่าการกระจายของแรงกระทำด้านข้างสำหรับโครงข้อแข็งรูปกล่องสีเหลี่ยมผืนผ้า โดยมีขอบเขตดังนี้

1.4.1 โครงข้อแข็งรูปกล่องสีเหลี่ยมผืนผ้า ที่มีระยะห่างของช่วงเสาไม่เท่ากันด้านหนึ่งทึ้งในแนวราบและแนวตั้งตามความสูง โดยที่ระยะห่างของช่วงเสาไม่เท่ากันเท่านั้น หรือแตกต่างกันเกิด และมีการแปรเปลี่ยนขนาดของชิ้นล่วนของเสาและคานตามความสูง

1.4.2 โครงข้อแข็งรูปกล่องสีเหลี่ยมผืนผ้าที่มีแรงกระทำด้านข้าง ที่อาจก่อให้เกิดแรงที่ผ่านศูนย์กลางของโครงสร้างและแรงบิด

1.4.3 วิเคราะห์หาค่าต่างๆ ที่ใช้ในการออกแบบชิ้นต้น โดยเปรียบเทียบกับโปรแกรมคอมพิวเตอร์ที่วิเคราะห์ลักษณะเดียด และงานวิจัยที่ผ่านมา

## วิธีการวิเคราะห์

### 2.1 บทนำ

ในการวิเคราะห์ใช้แนวความคิดที่เสนอโดย Coull และ Mohammed [ 10 ]

เมื่อโครงสร้างของอาคารสูงรับแรงกระทำด้านข้าง ที่อาจก่อให้เกิดแรงที่ผ่านศูนย์กลางของโครงสร้างและแรงบิด โดยการแทนที่แรงที่ผ่านศูนย์กลางของโครงสร้างและแรงบิด ที่กระทำต่อโครงสร้างของอาคารซึ่งอาจประกอบไปด้วย โครงห้องแข็งรูปกล่องลีโอเลียมพินเน้า ผังต้านแรงเฉือนเดี่ยว ผังต้านแรงเฉือนคู่ โครงห้องแข็ง ด้วยแรงเดียวกระทำที่จุดยอดสุดรวมกับแรงกระจา yan ในรูปโพลีโนเมียลลันดับต่างๆ หรือแรงบิดเดียวกระทำที่จุดยอดสุดรวมกับแรงบิดกระจา yan ในรูปโพลีโนเมียลลันดับต่างๆ จากนั้นนำความสัมพันธ์ระหว่างแรงที่ผ่านศูนย์กลางของโครงสร้างกับระยะ เอนและแรงบิดกับมุมบิดของโครงอาคารแต่ละตัวรวมกัน อาศัยความสมดุลย์ระหว่างแรงที่ผ่านศูนย์กลางของโครงสร้างที่ต้านทานโดยโครงอาคารทึ้งหมด ต่อแรงกระทำภายนอกที่ผ่านศูนย์กลางของโครงสร้าง และความสมดุลย์ระหว่างแรงบิดที่ต้านทานโดยโครงอาคารทึ้งหมดต่อแรงบิดที่กระทำภายนอก ซึ่งในที่สุดจะได้สมการแสดงความสมดุลย์ของแรงที่ผ่านศูนย์กลางของโครงสร้างกับระยะ เอนและแรงบิดของโครงสร้าง เมื่อคำนวณหาค่าระยะ เอนและมุมบิดของแต่ละโครงอาคาร ได้ ก็สามารถที่จะหาแรงที่ผ่านศูนย์กลางของโครงสร้างและแรงบิดของแต่ละโครงอาคารที่ต้องต้านทานได้ แต่ลิ่งที่สำคัญที่สุดของขั้นตอนการวิเคราะห์คือ การหาความสัมพันธ์ระหว่างแรงที่ผ่านศูนย์กลางกับระยะ เอน และแรงบิดกับมุมบิดของแต่ละโครงอาคาร ซึ่งจะได้กล่าวในรายละเอียดต่อไป

### 2.2 สมมติฐาน

พฤติกรรมภายในตัวโครงสร้างที่ต้องต้านทานโดยโครงสร้าง  
ข้อสมมติฐานในการวิเคราะห์ดังต่อไปนี้

ในงานวิจัยนี้อาศัย

2.2.1 โครงอาคารได้ประกอบขึ้นด้วยองค์อาคารที่มีเนื้อวัสดุประเภทเดียวกัน

2.2.2 ภายใต้แรงกระทำด้านข้าง โครงสร้างมีพฤติกรรมในช่วงอีลาสติก (Elastic Range)

2.2.3 ระยะโถงของอาคาร ระยะเอ็น และมุมบิดของโครงสร้างมีค่าไม่น้อยมาก เมื่อเทียบกับขนาดของโครงอาคาร

2.2.4 ระบบพื้นเมื่อความแข็งแกร่ง (Rigidity) ในระบบของระบบหนาสูง

2.2.5 จุดตัดกลับของเสาและคานในโครงข้อแข็งอยู่ที่จุดกึ่งกลางของหัวและ จุดกึ่งกลางช่วงคาน เพื่อให้การจำลองหน่วย โครงข้อแข็งเป็นผังเทียบเท่ากระทำได้ง่าย และ ถูกต้องตามสภาพจริงของ โครงสร้าง

2.2.6 แต่ละหน่วยของ โครงข้อแข็งรูปกล่องสี่เหลี่ยมผืนผ้า ประกอบขึ้นด้วยช่วงเสา ที่มีระยะห่างใกล้กัน และมีค่านิยต์ต่อกันเป็นแรงเพียงพอ ทำให้สามารถแบนด้วยผังเทียบเท่าที่มี พฤติกรรมเหมือนกัน โดยมีอัตราส่วนระยะห่างช่วงเสาต่อความยาวในแต่ละด้านมีค่า 0.05 ถึง 0.10 และอัตราส่วนความสูงในแต่ละชั้นต่อความสูงทั้งหมดของ โครงข้อแข็งรูปกล่องสี่เหลี่ยมผืนผ้า มีค่า 0.01 ถึง 0.05

2.2.7 การขีดทดสอบรอยต่อ (Joints) น้อยมากไม่คำนึงถึงความเสียหาย

2.2.8 ผลเนื่องจากการเคลื่อนที่นอก軸 (Out of Plane Effects) น้อยมาก

### 2.3 ผู้ติดตามการวิเคราะห์แรงกระทำด้านข้างขององค์อาคาร

#### 2.3.1 ผู้ติดตามการวิเคราะห์แรงกระทำด้านข้างของ โครงข้อแข็งรูปกล่องสี่เหลี่ยมผืนผ้า

การหาความสัมพันธ์ระหว่าง แรงที่ผ่านศูนย์กลางและระยะเอ็น หรือแรงบิด และมุมบิดของ โครงข้อแข็งรูปกล่องสี่เหลี่ยมผืนผ้า โดยใช้วิธีที่เสนอโดย นูลสวัลต์ กล่าวคือ วิธีการ Continuum Approach ได้ถูกนำมาใช้ โดยการแบนโครงสร้างดิสครีตด้วยกล่อง เทียบเท่าออร์โธกรอปิก (รูปที่ 1) และอาศัยการสมมติการเคลื่อนที่สำคัญที่เกิดขึ้นจากแรงที่ ผ่านศูนย์กลางของ โครงสร้าง หรือแรงบิด ที่เกิดจากแรงกระทำภายนอกของ โครงสร้างจากนั้น จึงหาผลลัพธ์งานภายในที่เกิดขึ้นในรูปของการเคลื่อนที่ในแนวตั้งและระยะเอ็น หรือมุมที่บิดไปของ โครงสร้าง และใช้หลักของผลลัพธ์งานศักย์รวมน้อยที่สุด (Principle of Minimum Total

Potential Energy) และวิธีการของริทซ์ เพื่อหาค่าคงที่ติดอยู่ในฟังก์ชันของการเคลื่อนที่ในแนวตั้ง และระยะเออน หรือมุมที่บิดไปของโครงสร้างซึ่งสมดุลขึ้น แทนค่าคงที่ในสมการของระยะเออนหรือมุมบิดที่เกิดจากแรง หรือแรงบิดที่จุดยอดสุดและโพลิโนเมียลอันดับต่างๆ ก็จะได้ความสัมพันธ์ตามต้องการ

### 2.3.1.1 พลังงานศักย์ทั้งหมด (Total Potential Energy) ของโครงสร้างแห่งรากล่องสี่เหลี่ยมผืนผ้า

เนื่องจากความสมมาตร พลังงานความเครียดทั้งหมด (Total Strain Energy) ที่เกิดขึ้นในกล่องเที่ยบเท่าออร์โกรอปิก (รูปที่ 1) ซึ่งแสดงได้ว่า

$$U = 2U_1 + 2U_2 + 4U_C \quad (1)$$

โดยที่  $U$  เป็นพลังงานความเครียดทั้งหมด

$U_1$  และ  $U_2$  เป็นพลังงานความเครียดที่เกิดขึ้นของด้านที่ 1 และ ด้านที่ 2 ของกล่องเที่ยบเท่าออร์โกรอปิกตามลำดับ

$U_C$  เป็นพลังงานความเครียดที่เกิดขึ้นเนื่องจากพื้นที่หน้าตัดเฉี่ยวน (Concentrated Area) ที่รับแรงในแนวแกนอย่างเดียวของมุมกล่องเที่ยบเท่าออร์โกรอปิก

สำหรับทิศทางของความเดินในระนาบ (Plane Stress) ในแต่ละด้าน และแกน  $x$ ,  $y$ ,  $z$  (รูปที่ 2) ตั้งให้พลังงานความเครียด  $U_1$ ,  $U_2$  และ  $U_C$  เช่นนี้

H c

$$U_1 = \frac{1}{2} \int \int (\sigma_x \epsilon_x + \sigma_z \epsilon_z + \tau_{xz} \gamma_{xz}) t_1 dx dz \quad (2)$$

0 -c

H b

$$U_2 = \frac{1}{2} \int \int (\sigma_y \epsilon_y + \sigma_z \epsilon_z + \tau_{yz} \gamma_{yz}) t_2 dy dz \quad (3)$$

0 -b

H

$$U_C = \frac{1}{2} \int A_{CC}^* \sigma_C \epsilon_C dz \quad (4)$$

0

โดยที่  $t_1, t_2$  = ความหนาด้านที่ 1,2 ของกล่องเทียบเท่าออร์โกรอปิดตามลำดับ

(ภาคผนวก ก)

$A_{CC}^*$  = พื้นที่หน้าตัดเข้มข้นรับแรงในแนวแกนอย่างเดียวของมุกกล่อง  
เทียบเท่าออร์โกรอปิด (ภาคผนวก ก)

$\epsilon_C$  = ความขยายด้านตั้งจากกับพิศทางของแรงกระทำด้านข้างของกล่อง  
เทียบเท่าออร์โกรอปิด

$\gamma_{2b}$  = ความขยายด้านชนาณกับพิศทางของแรงกระทำด้านข้างของกล่อง  
เทียบเท่าออร์โกรอปิด

H = ความสูงของกล่องเทียบเท่าออร์โกรอปิด

$\epsilon_x, \epsilon_y, \epsilon_z$  = ความเครียดในพิศทาง x, y, z ตามลำดับ

$\sigma_x, \sigma_y, \sigma_z$  = ความเค็นในพิศทาง x, y, z ตามลำดับ

$\gamma_{xz}, \gamma_{yz}$  = ความเครียดของการเฉือนของด้านที่ 1 และ 2 ตามลำดับ

$\tau_{xz}, \tau_{yz}$  = ความเค็นการเฉือนของด้านที่ 1 และ 2 ตามลำดับ

$\epsilon_c, \sigma_c$  = ความเครียดและความเด็นในแนวแกนของมุกกล่อง  
เทียบเท่าออร์โกรอปิดตามลำดับ

เนื่องจากข้อสมมติฐานที่ว่า ผลิตฟลักของพื้นที่ความแข็งแกร่งในระนาบสูงตั้งนี้

ผลลงงานความเครียด เนื่องจากความเครียดของความเด็นในแนวราบมีค่าไม่ยุ่งมาก ( $\sigma_x, \sigma_y$   
มีค่าเป็น 0) สูตรที่ (2), (3) และ (4) สามารถลดรูปได้

H c

$$U_1 = \frac{1}{2} \int \int (\sigma_z \epsilon_z + \tau_{xz} \cdot \gamma_{xz}) t_1 dx dz \quad (5)$$

0 -c

H b

$$U_2 = \frac{1}{2} \int \int (\sigma_z \epsilon_z + \tau_{yz} \cdot \gamma_{yz}) t_2 dy dz \quad (6)$$

0 -b

H

$$U_c = \frac{1}{2} \int_0^H A_{cc}^* \sigma_c \epsilon_c dz \quad (7)$$

0

ความสัมพันธ์ระหว่างความเครียดและการเคลื่อนที่ ( Strain-Displacement Relationship )

$$\epsilon_z = \partial w / \partial z \quad (8)$$

$$\gamma_{xz} = \partial w / \partial x + \partial u / \partial z \quad (9)$$

$$\gamma_{yz} = \partial w / \partial y + \partial v / \partial z \quad (10)$$

เนื่องจากวัสดุอยู่ในช่วงอิเล็กติกตามข้อสมมติฐานดังนี้

$$\sigma_z = E_z (\partial w / \partial z) \quad (11)$$

$$\tau_{xz} = G_1 (\partial w / \partial x + \partial u / \partial z) \quad (12)$$

$$\tau_{yz} = G_2 (\partial w / \partial y + \partial v / \partial z) \quad (13)$$

โดยที่  $u, v, w$  เป็นหน่วยการเคลื่อนที่ในแกน  $x, y, z$  ( รูปที่ 2 ) แทนค่าจากสมการ (8) - (13) ในสมการ (5), (6), (7) ได้ดังนี้

H c

$$U_1 = \frac{1}{2} \int_0^H \int [E_1 (\partial w / \partial z)^2 + G_1 (\partial w / \partial x + \partial u / \partial z)^2] t_1 dx dz \quad (14)$$

0 -c

H b

$$U_2 = \frac{1}{2} \int_0^H \int [E_2 (\partial w / \partial z)^2 + G_2 (\partial w / \partial y + \partial v / \partial z)^2] t_2 dy dz \quad (15)$$

0 -b

H

$$U_c = \frac{1}{2} \int_0^H A_{cc}^* E_c (\partial w_c / \partial z)^2 dz \quad (16)$$

0

โดยที่  $w$  เป็นการเคลื่อนที่ในแนวแกนของด้านที่ 1 หรือ 2 ตามการกระจายของฟังก์ชันที่สมมติ

$E_1, E_2$  เป็นค่าโมดูลัสขีดหยุ่นด้านที่ 1 และ 2 ของกล่องเทียบเท่าออร์ซิกรอปิดตามลำดับ (ภาคผนวก ก)

$G_1, G_2$  เป็นค่าโมดูลัสของการเฉือนของด้านที่ 1 และ 2 ของกล่องเทียบเท่าออร์ซิกรอปิดตามลำดับ (ภาคผนวก ก)

$w_c, E_c$  เป็นหน่วยการเคลื่อนที่และค่าโมดูลัสขีดหยุ่นในแนวแกนของมุกกล่องเทียบเท่าออร์ซิกรอปิดตามลำดับ

#### 2.3.1.2 พลังงานเต็กที่เนื่องจากแรงกระทำภายนอก (V)

H

$$\text{แรงกระทำผ่านศูนย์กลางของโครงสร้าง} : V_p = - \int_{0}^{H} \bar{P} \cdot \Delta \, dz \quad (17)$$

0

H

$$\text{แรงบิด} : V_T = - \int_{0}^{H} \bar{T} \cdot \bar{\theta} \, dz \quad (18)$$

0

โดยที่  $V_p$  เป็นพลังงานเต็กที่เนื่องจากแรงกระทำด้านข้างผ่านศูนย์กลางของโครงสร้างแข็งรูปกล่องสี่เหลี่ยมผืนผ้า

$V_T$  เป็นพลังงานเต็กที่เนื่องจากแรงบิดของโครงสร้างแข็งรูปกล่องสี่เหลี่ยมผืนผ้า

$\bar{P}$  เป็นฟังก์ชันของแรงที่ผ่านศูนย์กลางของโครงสร้างอยู่ในรูปแรงเดี่ยวที่จุดยอดสุดและโพลิโนเมียลอันดับต่าง ๆ

$\Delta$  เป็นฟังก์ชันของระยะenton ที่สมติชน

$\bar{T}$  เป็นฟังก์ชันของแรงบิดที่จุดยอดสุดและโพลิโนเมียลอันดับต่าง ๆ

$\bar{\theta}$  เป็นฟังก์ชันของมุมบิดที่สมมติชน

#### 2.3.1.3 วิธีการของริตซ์ (Ritz Method)

##### แรงฟื้นศูนย์กลางของโครงสร้าง

1. การยึดหดในแนวแกนของมุกกล่องเทียบเท่าออร์ซิกรอปิด โดยอาศัย

Boundary Condition ( $w_c = 0$  เมื่อ  $z = 0$  และ เมื่อ  $\partial w_c / \partial z = 0$ ) ดังนั้นจะได้ว่า

$$w_c(z) = A_1 \sin \pi \xi / 2 + B_1 (\cos \pi \xi - 1) + C_1 (\cos 2\pi \xi - 1) \quad (19)$$

2. ระยะเดอนของกล่องเที่ยบเท่าออร์ไซโกรอปิค โดยอาศัย Boundary Condition ( $\Delta = 0$  เมื่อ  $z = 0$  และ  $\partial \Delta / \partial z = 0$  เมื่อ  $z = 0$ ) ดังนั้นจะได้ว่า

$$\Delta(z) = K_1 \xi^2 + K_2 \xi^3 + K_3 \xi^4 \quad (20)$$

3. การกระจายการยึดหดในแนวแกนแต่ละด้านของกล่องเที่ยบเท่าออร์ไซโกรอปิค โดยจากการเสนอแนะของ สุธรรม [ 7 ] จะได้ว่า

$$\text{ด้านที่ } 1 : w(x,z) = [(x/c)^{M_2} + M_3 \cdot (1-(x/c)^{M_2})] \cdot w_c \quad (21)$$

$$\text{ด้านที่ } 2 : w(y,z) = [\sinh(y/b)^{M_1} / \sinh(1)] \cdot w_c \quad (22)$$

โดยที่  $M_1, M_2, M_3$  เป็นสัมประสิทธิ์ของฟังก์ชันการยึดหดตามแนวแกนหาได้จากการเสนอแนะ (ดูที่ 8 – 12)

4. ความสัมพันธ์ระหว่างการเคลื่อนที่ในแนวแกน  $x, y, z$  กับระยะเดอน

$$\partial u / \partial z = 0, \quad \partial v / \partial z = \partial \Delta / \partial z \quad (23)$$

### แรงบิด

1. การยึดหดในแนวแกนของมุมกล่องเที่ยบเคียงออร์ไซโกรอปิค จากการเสนอแนะ โดย พูลสวัลล์ [ 8 ]

$$w_c(z) = A_2 \sin \pi \xi / 2 + B_2 (\cos \pi \xi - 1) + C_2 (\cos 2\pi \xi - 1) \quad (24)$$

2. มุมบิดของกล่องเที่ยบเท่าออร์ไซโกรอปิค จากการเสนอแนะโดย พูลสวัลล์ [ 8 ]

$$\theta(z) = K_4 \xi + K_5 \cdot \xi^2 + K_6 \cdot \xi^3 \quad (25)$$

3. การกระจายการยึดหดของทึ้งสองด้านของกล่องเที่ยบเท่าออร์ไซโกรอปิคจากการเสนอแนะโดย พูลสวัลล์ [ 8 ]

$$w(x,y,z) = (xy/bc) \cdot w_c \quad (26)$$

4. ความสัมพันธ์ระหว่างการเคลื่อนที่ในแนวแกน  $x, y, z$  กับมุมบิด

$$u(x,y,z) = -y \cdot \theta(z), \quad v(x,y,z) = x \cdot \theta(z) \quad (27)$$

โดยที่  $\xi = z/H$

$A_1, B_1, C_1, A_2, B_2, C_2, K_1, K_2, K_3, K_4, K_5, K_6$  เป็นค่าคงที่ของฟังก์ชันของการยึดหดในแนวแกนของกล่องเที่ยบเท่าออร์ไซโกรอปิค ระยะเดอน และมุมบิดที่สมมติขึ้น

โดยการใช้หลักการพลังงานศักย์ทึ้งหมดน้อยที่สุด (IIP)

$$\Pi_P = 2U_1 + 2U_2 + 4U_C + V \quad (28)$$

โดยการหาอนุพันธ์ของผลลัพธ์งานศักย์ทึ้งหมด เทียบกับค่าคงที่ในแต่ละค่าคงที่ที่สมมติขึ้น จะได้ชุดของสมการเท่ากับจำนวนของค่าคงที่ที่สมมติขึ้น แก้สมการจะได้ค่าคงที่ของฟังก์ชันที่สมมติขึ้น แล้วแทนในสมการ (20), (25) ของแต่ละแรงที่ผ่านศูนย์กลางและแรงบิดที่ศูนย์กลางของโครงสร้าง ก็จะได้ความสัมพันธ์ระหว่างแรงกระทำผ่านศูนย์กลาง ในรูปแบบเดียวที่จุดยอดสุดและโนลิโนเมียลอันดับต่างๆ กับระยะ เอก หรือแรงบิด ในรูปแบบเดียวที่จุดยอดสุด และโนลิโนเมียลอันดับต่างๆ กับมุมบิดตามต้องการ

#### 2.4 ทฤษฎีใช้ในการวิจัย

โครงสร้างอาคารสูงทั่วไป อาจประกอบไปด้วย โครงข้อแข็งรูปกล่องสี่เหลี่ยมผืนผ้า หรือระบบโครงอาคารประเภทอื่นๆ ที่ใช้ในการต้านทานแรงกระทำด้านข้าง จำนวนรวมกันเท่ากับ  $J$  โดยการสมมติว่าแผ่นพื้นทำหน้าที่เป็นแผ่นไดอะแฟรม (Diaphragm) ที่มีความแข็งแกร่งในระนาบตัวเองสูงมาก เมื่อโครงสร้างรับแรงกระทำด้านข้างจะมีการเคลื่อนที่ตามแนวราบ (รูปที่ 3) ที่ระดับใดๆ องค์อาคารตัวที่  $j$  ที่ระยะ  $z_j$  จากจุดอ้างอิง ตั้ง เช่นจุด 0 จะมีการเคลื่อนที่เท่ากับ  $y_j + \theta_j z_j$  และมุบิดเท่ากับ  $\theta_j$  โดยที่  $y_j$  เป็นค่าการเคลื่อนที่เทียบกับแกนอ้างอิงและ  $\theta_j$  เป็นมุมบิดรอบแกน ที่ระดับ  $x_j$

เมื่อโครงสร้างรับแรงกระทำด้านข้าง ที่ระดับใดๆ แรงกระทำด้านข้างสามารถแยกได้เป็น 2 ชนิดคือ แรงที่ผ่านศูนย์กลางของโครงสร้าง ( $P_{Tj}$ ) และ แรงบิด ( $M_{Tj}$ ) และโดยการสมมติให้องค์อาคาร ได้ มีการกระจายแรงซึ่งประกอบไปด้วยแรงเดียวกระทำที่จุดยอดสุดร่วมกับแรงกระจาภในรูปโนลิโนเมียลอันดับต่างๆ รวมกัน (รูปที่ 4)

สำหรับแรงกระทำที่ผ่านศูนย์กลาง ขององค์อาคารที่  $j$  เนียนได้เป็น

m

$$P_j = P_{0j} + \sum_{i=0}^1 p_{ij} \xi^i \quad (29)$$

โดยที่  $m =$  จำนวนเต็มใดๆ ที่แสดงค่าอันดับสูงสุดของโพลิโนเมียล ( $m < 8$ )

$= N - 2$ , โดยที่  $N =$  จำนวนจุดอ้างอิง

$P_{o,j} =$  แรงเดี่ยวกระทำที่จุดยอดสุด

$p_{o,j} =$  สัมประสิทธิ์คงที่ของแรงกระทำผ่านศูนย์กลาง โพลิโนเมียลอันดับต่างๆ

$\xi = x/H$

ในกำหนดเดียวกัน แรงบิดที่ระดับใดๆ ขององค์อาคารตัวที่  $j$  ( $t_j$ )

ที่สามารถต้านทานแรงบิดได้ก็จะประกอบไปด้วย แรงบิดเดี่ยวกระทำที่จุดยอดสุด ร่วมกับแรงบิดกระจายในรูปโพลิโนเมียลอันดับต่างๆ รวมกัน เช่นนี้ได้เป็น

$$T_j = T_{o,j} + \sum_{i=0}^m t_{i,j} \xi^i \quad (30)$$

โดยที่  $T_{o,j} =$  แรงบิดเดี่ยวกระทำที่จุดยอดสุด

$t_{i,j} =$  สัมประสิทธิ์คงที่ของแรงบิด โพลิโนเมียลอันดับต่างๆ

กำหนดให้  $Q_j =$  แรงเฉือนที่ระดับใดๆ ของโครงอาคารตัวที่  $j$  และแสดงได้ว่า

$$Q_j = P_{o,j} + \int_0^H p_{i,j} \xi^i dx \quad (31)$$

$$Q_j = P_{o,j} + H \sum_{i=0}^{i+1} p_{i,j} \frac{\xi^{i+1}}{i+1} \quad (32)$$

$$Q_j = P_{o,j} + \sum_{i=0}^m s_i p_{i,j} \quad (33)$$

กำหนดให้  $T_j =$  แรงบิดที่ระดับใดๆ ขององค์อาคารตัวที่  $j$  และแสดงได้ว่า

$$T_j = T_{o,j} + \sum_{i=0}^m s_i t_{i,j} \quad (34)$$

$$s_i = H \cdot \xi^{i+1}$$

โดยอาศัยความสมดุลย์ของแรงเฉือนและแรงบิดที่ต้านทานโดยโครงอาคารกับแรงกระทำภายนอกที่ก่อให้เกิดแรงที่ผ่านศูนย์กลางและแรงบิด จะได้ว่า

$$W_L = Q_1 + Q_2 + \dots + Q_J \quad (35)$$

J

$$W_L = \sum_{j=1}^J Q_j \quad (36)$$

$$M_T = (Q_1 z_1 + Q_2 z_2 + \dots + Q_J z_J) + (T_1 + T_2 + \dots + T_J) \quad (37)$$

J J

$$M_T = \sum_{j=1}^J Q_j z_j + \sum_{j=1}^J T_j \quad (38)$$

โดยที่  $W_L$  = แรงที่ผ่านศูนย์กลางของโครงสร้างเนื่องจากแรงภายนอกที่ระดับใดๆ

$M_T$  = แรงบิดเนื่องจากแรงภายนอกที่ระดับใดๆ รอบจุดอ้างอิง

โดยการกำหนดให้องค์อาคารมีการเชื่อมกันด้วยจุดเดียว จำนวนเท่ากับ  $m+2$

หรืออีกนัยหนึ่งอาจเรียกว่า ระดับอ้างอิง (Reference Level) ซึ่งจะต้องประกอบด้วย  
จุดเดียวที่จุดยอดสุด และจุดอื่นใดระหว่างโครงอาคาร จากความสัมพันธ์ระหว่างแรงกับ<sup>กับ</sup>  
การเคลื่อนที่ขององค์อาคารตัวที่  $j$  สามารถเขียนในรูปเมตริกซ์ได้ว่า

$$\tilde{y}_j = \tilde{F}_j \tilde{P}_j \quad (39)$$

โดยที่  $\tilde{y}_j$  คือเวกเตอร์ (Vector) ของการเคลื่อนที่ระดับอ้างอิงใดๆ ของ  
องค์อาคารตัวที่  $j$

$\tilde{F}_j$  คือเฟล็กซิบิลิตี้ เมตริกซ์ (Flexibility matrix) ของ  
แรงที่ผ่านศูนย์กลาง ขององค์อาคารตัวที่  $j$

$\tilde{P}_j$  คือเวกเตอร์ของแรงกระทำที่จุดยอดสุด และแรงในรูปโอลิโนเมียลันดับต่างๆ  
และจากความสมดุลย์ตามแนวราบ อาจแสดงในรูปเมตริกซ์ได้ว่า

$$\tilde{Q}_j = \tilde{s} \cdot \tilde{P}_j \quad (40)$$

โดยที่  $\tilde{y}_j$  คือเวกเตอร์ของแรงเฉือนที่ต้านทานโดยองค์อาคารตัวที่  $j$  ที่ระดับอ้างอิงไดๆ  
 $\tilde{\theta}$  คือเมตริกซ์คงที่  
โดยสมมติฐานข้อที่ 4 ดังนี้การเคลื่อนที่ที่ระดับอ้างอิงไดๆ ขององค์อาคารตัวที่  $j$   
แสดงได้ว่า

$$\tilde{y}_j = \tilde{y} + \tilde{\theta} \cdot z_j \quad . \quad (41)$$

และจากสมการ (41) และ (39) จะได้ว่า

$$\begin{aligned} \tilde{y} + \tilde{\theta} \cdot z_j &= \tilde{F}_j \tilde{P}_j \\ \tilde{P}_j &= \tilde{F}_j^{-1} (\tilde{y} + \tilde{\theta} \cdot z_j) \end{aligned} \quad (42)$$

และจากสมการ (36) แสดงในรูปเมตริกซ์ได้ว่า

$$\tilde{W}_L = \sum_{j=1}^J \tilde{Q}_j \quad (43)$$

จากสมการ (40), (42) และ (43) จะได้ว่า

$$\begin{aligned} \tilde{W}_L &= S \sum_{j=1}^J \tilde{F}_j^{-1} (\tilde{y} + \tilde{\theta} \cdot z_j) \end{aligned} \quad (44)$$

จากความสัมพันธ์ระหว่างแรงบิดกับการหมุนขององค์อาคารตัวที่  $j$  สามารถเขียนได้ว่า

$$\tilde{\theta}_j = \tilde{F}_j \tilde{T}_j \quad (45)$$

โดยที่  $\tilde{\theta}_j$  คือเวกเตอร์การหมุนที่ระดับอ้างอิงไดๆ ของโครงอาคารตัวที่  $j$   
 $\tilde{F}_j$  คือเฟลเกชิบลิตีเมตริกซ์ของแรงบิดขององค์อาคารตัวที่  $j$   
 $\tilde{T}_j$  คือเวกเตอร์ของแรงบิดที่จุดยอดสุดและแรงบิด ในรูปโพลีโนเมียลลักษณะเดียวกัน  
และจากความสมดุลย์ของแรงบิด สมการ (34) อาจแสดงในรูปเมตริกซ์ได้ว่า

$$\tilde{M}_{T,j} = \frac{\tilde{s}}{s} \tilde{T}_j \quad (46)$$

โดยที่  $\tilde{M}_{T,j}$  คือเวกเตอร์ของแรงบิดที่ระดับอ้างอิงได้ ๆ

ในการนองเดียวกันจากสมการ 38 , 40 และ 45 จะได้ว่า

$$\tilde{M}_T = \frac{\tilde{s}}{s} \sum_{j=1}^J [\tilde{F}_j^{-1} (\tilde{y} + \tilde{\theta} \cdot z_j) \cdot z_j + (\tilde{F}'_j)^{-1} \tilde{\theta}] \quad (47)$$

โดยกำหนดให้  $\tilde{G}_1 = \frac{\tilde{s}}{s} \sum_{j=1}^J \tilde{F}_j^{-1}$

$j=1$

$J$

$$\tilde{G}_2 = \frac{\tilde{s}}{s} \sum_{j=1}^J \tilde{F}_j^{-1} z_j$$

$j=1$

$J$

$$\tilde{G}_3 = \frac{\tilde{s}}{s} \sum_{j=1}^J \tilde{F}_j^{-1} z_j + (\tilde{F}'_j)^{-1}$$

$j=1$

จากสมการ (44) และ (47) สามารถหาค่า  $\tilde{y}$  และ  $\tilde{\theta}$  ได้คือ

$$\tilde{y} = [\tilde{G}_2 - \tilde{G}_3 \tilde{G}_2^{-1} \tilde{G}_1]^{-1} [\tilde{M}_T - \tilde{G}_3 \tilde{G}_2^{-1} \tilde{W}_L] \quad (48)$$

$$\tilde{\theta} = [\tilde{G}_2 - \tilde{G}_1 \tilde{G}_2^{-1} \tilde{G}_3]^{-1} [\tilde{W}_L - \tilde{G}_1 \tilde{G}_2^{-1} \tilde{M}_T] \quad (49)$$

จากสมการ (48) และ (49) ทำให้สามารถทราบค่าการเคลื่อนที่และการบิดขององค์อาคารที่ทุกระดับอ้างอิงได้

สำหรับค่าการเคลื่อนที่ และการบิดขององค์อาคารที่  $j$  หาได้จากความสัมพันธ์

ดังที่กล่าวมาในตอนต้น ดังนี้หากการกระจายแรงกระทำผ่านศูนย์กลางของโครงสร้างและแรงบิดขององค์อาคารใดๆ ทุกระดับอ้างอิงได้โดยการแทนในสมการ (39) และ (45) จะได้ว่า

$$\tilde{P}_j = \tilde{F}_j^{-1} \tilde{y}_j \quad (50)$$

$$\tilde{T}_j = (\tilde{F}'_j)^{-1} \tilde{\theta}_j \quad (51)$$

ในการนี้โครงสร้างอาคารประกอบด้วย โครงอาคารหลายประกายประกอบกัน  
ค่าที่ได้จากการ (50) และ (51) จะแสดงถึงสัดส่วนของการต้านทานแรงกระทำด้านข้างที่  
อาจก่อให้เกิด แรงกระทำผ่านศูนย์กลางของโครงสร้าง และแรงบิดของแต่ละโครงอาคาร

### หัวข้อของ โปรแกรมวิเคราะห์

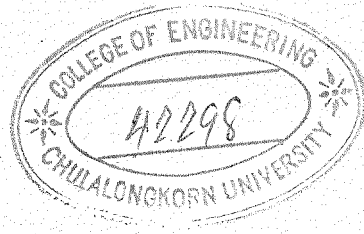
เพื่อให้การวิเคราะห์ด้วยวิธีการดังกล่าว ซึ่งมีความยุ่งยากและซับซ้อน เพื่อให้สามารถกราบค่าต่างๆ ที่ใช้ในการออกแบบได้อย่างรวดเร็ว อีกทั้งปัจจุบันคอมพิวเตอร์มีบทบาทมากในด้านต่างๆ การนำคอมพิวเตอร์มาช่วยในการวิเคราะห์ จะทำให้ผู้ใช้สะดวกและง่ายต่อการใช้งาน เป็นอย่างยิ่ง โดยที่สามารถเปลี่ยนแปลงข้อมูลต่างๆ เช่น แบบเปลี่ยนจำนวนจุดอ้างอิง ระดับอ้างอิง เป็นต้น นอกจากนี้ยังสามารถเก็บข้อมูลไว้เพื่อการแก้ไขในภายหลัง ซึ่งเป็นการประยุกต์เวลาและค่าใช้จ่ายในการออกแบบขึ้นต้นได้เป็นอย่างดี โดยที่โปรแกรมวิเคราะห์ทั้งหมดประกอบด้วย โปรแกรมย่อย 3 โปรแกรมคือ

- 3.1 โปรแกรมการป้อนข้อมูล
  - 3.2 โปรแกรมวิเคราะห์ข้อมูล
  - 3.3 โปรแกรมแสดงผลลัพธ์การวิเคราะห์
- ดังมีรายละเอียดจะได้กล่าวต่อไปนี้

#### 3.1 โปรแกรมการป้อนข้อมูล

ก่อนจะเริ่มหัวข้อต่างๆ ใน การป้อนข้อมูลจะมีโปรแกรมควบคุมทำหน้าที่ในการช่วยให้ผู้ใช้สามารถเลือกใช้โปรแกรมต่างๆ ตามต้องการ ดังแสดงในแผนผัง โปรแกรมควบคุม รูปที่ 13 ดังนี้แล้วต้องการใช้โปรแกรมการป้อนข้อมูลก็สามารถเลือกได้ ดังแสดงในรูปที่ 13 ซึ่งมีรายละเอียดในการป้อนข้อมูลตามลำดับดังต่อไปนี้

- 3.1.1 ป้อนข้อมูล เพื่อที่จะกำหนดลักษณะของข้อมูลที่จะใช้ในการวิเคราะห์ เช่น เป็นข้อมูลเก่า หรือ ข้อมูลที่จะป้อนใหม่ เป็นต้น
- 3.1.2 ในการนี้ต้องการป้อนข้อมูลใหม่จะต้องกำหนดชื่อไฟล์ของข้อมูล วันที่ เวลา และผู้ที่วิเคราะห์
- 3.1.3 ในการนี้ต้องการป้อนข้อมูลใหม่ต้องกำหนดว่า โครงสร้างที่จะวิเคราะห์ประกอบด้วย โครงอาคารชนิดใดบ้าง อาจจะมีโครงสร้างขึ้นแท้ทั้งรูปกล่องสี่เหลี่ยมผืนผ้า หรือ



โครงข้อแข็ง หรือ ผังต้านแรงเฉือน เป็นต้น

3.1.4 ขั้นตอนนี้เป็นการป้อนข้อมูลจำนวนหนึ่ง จำนวนระดับอ้างอิง ความสูงของแต่ละชั้น ความสูงของแต่ละระดับอ้างอิง ลักษณะการสมมาตร แรงต้านห้างที่กระทำที่ระดับอ้างอิง ของ โครงสร้างทั้งหมดที่จะวิเคราะห์ ขั้นตอนนี้ไม่จำเป็นต้องป้อนลักษณะเป็นข้อมูลเก่า กล่าวคือข้อมูลเก่าจะถูกอ่านเข้ามาตามการกำหนดลักษณะของข้อมูล ซึ่งภายในขั้นตอนนี้ก่อนออกจากโปรแกรมยังมีการตรวจสอบข้อมูลให้ยกเว้นข้อมูลที่เกิดความผิดพลาดจากผู้ใช้ที่ไม่อาจตรวจสอบได้

3.1.5 ขั้นตอนป้อนข้อมูลของโครงอาคารในแต่ละประเภท ตามที่กำหนดในขั้นตอนที่ 3.1.3 สามารถที่จะเลือก และแก้ไขข้อมูลของโครงอาคารแต่ละประเภท ได้สำหรับรายละเอียดการป้อนข้อมูล โครงข้อแข็งรูปกล่องสี่เหลี่ยมผืนผ้า ดังแสดงในรูปที่ 14 ข้อมูลที่ต้องการมีดังต่อไปนี้

3.1.5.1 สัดส่วนความกว้าง ความยาว ความสูงทั้งหมดของโครงข้อแข็งรูปกล่องสี่เหลี่ยมผืนผ้า

3.1.5.2 ตำแหน่งจุดศูนย์กลางของโครงข้อแข็งรูปกล่องสี่เหลี่ยมผืนผ้า เมื่อเทียบกับจุดอ้างอิง

3.1.5.3 ข้อมูลขนาดเส้นและคานกึ้งสองด้าน ค่าโมดูลลารีดหยุ่น ค่าโมดูลลัสการเฉือน ตำแหน่งที่เปลี่ยนขนาด ระยะห่างระหว่างเสาทั้งสองด้าน ที่แตกต่างกันแต่คงที่ตลอดความสูง

3.1.5.4 ค่าคงที่ของฟังก์ชันการยืดหดตัวของการกระจายแรงในแนวแกนจากการเส้นอ่อน:flexibility coefficient จากรูปที่ 8 - 12

ดังนี้จะเห็นได้ว่า ผู้ใช้สามารถที่จะแก้ไข ดูข้อมูล เก็บข้อมูล พิมพ์ข้อมูล นอกจากรายละเอียดการตรวจสอบข้อมูลก่อนออกจากโปรแกรมแล้ว โปรแกรม自身 โปรแกรมควบคุม

### 3.2 โปรแกรมวิเคราะห์ข้อมูล

ก่อนการใช้โปรแกรมนี้จะเริ่มอ่านข้อมูลที่เก็บไว้ ภายหลังจากการป้อนข้อมูล โปรแกรมจะคำนวณค่าความยืดหยุ่น และสติ๊ฟเนสของโครงอาคารแต่ละตัว สำหรับโครงข้อแข็งรูปกล่องสี่เหลี่ยมผืนผ้าจะได้จากสมการ (20) และ (25) จากนั้นจะคำนวณหาค่า S เมตริกซ์

และค่า  $G_1$ ,  $G_2$ ,  $G_3$  แล้วจึงคำนวณหาค่าการเคลื่อนที่และการหมุน ที่ทุกระดับอ้างอิงตามสมการ (48) และ (49) ตามลำดับ เมื่อได้ค่าการการเคลื่อนที่ และการหมุนแล้ว โปรแกรมจะคำนวณหาค่าแรงกระทำที่จุดยอดสุด และแรงกระจาดในรูปอนุกรมโพลีโนเมียลตามสมการ (50), (51) แรงกระจาดต่างๆ ที่คำนวณได้จะนำมาหาแรงภายในเส้นและคาน เช่น แรงเฉือน, โมเมนต์, และแรงในแนวแกน สำหรับโครงห้องเรียนรูปกล่องสี่เหลี่ยมผืนผ้า เมื่อเสร็จจากการคำนวณ ก็จะเก็บค่าผลลัพธ์ต่างๆ เช่น แรงภายในเส้นและคาน การหมุน การเคลื่อนที่ รวมถึงค่าการกระจาดแรง ของแต่ละโครงอาคาร ดังแสดงในแผนผังโปรแกรมวิเคราะห์ รูปที่ 15 เมื่อจบโปรแกรมวิเคราะห์จะกลับไปสู่โปรแกรมควบคุม เพื่อจะดำเนินการต่อไป

### 3.3 โปรแกรมแสดงผลลัพธ์การวิเคราะห์

สำหรับการแสดงข้อมูลที่ป้อนเข้าไปจะแสดงทางจอภาพ และพิมพ์ผลลัพธ์ทางเครื่องพิมพ์ได้ตลอดเวลา ในแต่ละขั้นตอนการป้อนข้อมูล ส่วนผลลัพธ์ของการวิเคราะห์จะแสดงผลลัพธ์ตามที่ต้องการแสดง และแล้วแต่ชนิดของโครงอาคาร จากนั้นก็จะอ่านข้อมูลที่เก็บไว้จากโปรแกรมวิเคราะห์ของแต่ละโครงอาคารที่ต้องการทราบ ซึ่งจะแสดงทางจอภาพ และพิมพ์ผลลัพธ์ทางเครื่องพิมพ์ตามที่ต้องการได้ ดังแสดงแผนผังโปรแกรมในรูปที่ 16 เมื่อเสร็จโปรแกรมนี้แล้วก็จะกลับไปสู่โปรแกรมควบคุม  
ดังนี้จะเห็นได้ว่า โปรแกรมต่างๆ ที่จัดทำขึ้นช่วยอำนวยความสะดวกต่อผู้ใช้ และทำให้ทราบค่าต่างๆ ได้อย่างรวดเร็ว

## ตัวอย่างและผลการวิเคราะห์

ตัวอย่างที่แสดงในการวิจัยนี้ ผลลัพธ์ที่ได้เปรียบเทียบกับผลลัพธ์ที่ผู้วิจัยอื่นและโปรแกรมการวิเคราะห์ลักษณะ ETABS โดยศึกษาถึงพฤติกรรมการรับแรงกระทำด้านข้างที่สมมาตรและไม่สมมาตรที่กระทำต่อโครงข้อแข็งรูปกล่องสี่เหลี่ยมผืนผ้า มีการประเปลี่ยนขนาดตามความสูงของและการประเปลี่ยนตำแหน่งระดับอ้างอิง

4.1 ตัวอย่างที่ 1 โครงข้อแข็งรูปกล่องสี่เหลี่ยมผืนผ้าที่มีการประเปลี่ยนขนาดตามความสูงรับแรงกระทำด้านข้างที่ก่อให้เกิดแรงบิดคงที่อย่างเดียว และมีขนาดระยะห่างช่วงเสาในแต่ละด้านเท่ากัน ตัวอย่างนี้เปรียบเทียบผลลัพธ์ที่ได้จากการวิจัยเมื่อมีการประเปลี่ยนจำนวนระดับอ้างอิงกับผลลัพธ์ของ นูลสวัลต์ และ ETABS

พิจารณารูปที่ 17 ก. แสดงมิติและแปลนหน้าตั้งทั่วไปของโครงข้อแข็งรูปกล่องสี่เหลี่ยมผืนผ้าสูง 30 ชั้น รับแรงบิดคงที่ 162 kips-ft/ft ความสูงระหว่างชั้น 12 ฟุตและระยะห่างระหว่างช่วงเสาทั้งสองด้าน 12 ฟุต ตารางที่ 1 แสดงคุณสมบัติต่างๆของชั้นส่วนที่มีการประเปลี่ยนขนาดตามความสูงที่ทุกๆ 10 ชั้น ค่าโมดูลัสยึดหยุ่นและโมดูลัสของการเฉือนเท่ากับ  $5 \times 10^5$  kips/ $ft^2$  และ  $2.07 \times 10^5$  kips/ $ft^2$  ตามลำดับ ค่า Stiffness Factor และ Shear Lag Parameter แสดงในตารางที่ 3

โดยอาศัยวิธีการในภาคผนวก ก ทำให้สามารถจำลองโครงสร้างดิสครีตของโครงข้อแข็งรูปกล่องสี่เหลี่ยมผืนผ้าเป็นกล่องเที่ยบเท่าอัตราร้อยละ 100% มิติและแปลนหน้าตั้งทั่วไป ดังแสดงในรูปที่ 17 ข. และมีความหนาของผังเงาเที่ยบเท่า โมดูลัสยึดหยุ่นเที่ยบเท่าและโมดูลัสการเฉือนเที่ยบเท่าตามการประเปลี่ยนขนาดของชั้นส่วนตามความสูงที่ทุกๆ 10 ชั้นของโครงสร้างดิสครีต เช่นเดียวกัน ดังแสดงในตารางที่ 2

สำหรับผลลัพธ์ของการวิเคราะห์ต่างๆ ในรูปที่ 18 แสดงค่ามุมบิดที่ระดับชั้นต่างๆ โดยโปรแกรม ETABS, วิธีของนูลสวัลต์ และการวิจัยนี้ โดยการใช้จำนวนระดับอ้างอิงเท่ากับ 2 และ 3 เท่านั้น เนื่องจาก การใช้จำนวนระดับอ้างอิงเท่ากับ 2 เป็นการจำลองแรงบิดกระทำภายออกคงที่ ด้วยแรงบิดเดียวที่จุดยอดสุดและแรงบิดคงที่เท่านั้น พบว่าให้ผลที่สอดคล้องกับ

ผลลัพธ์ของ ETABS และ นูลสวัลต์ ต่อมานี่มีจำนวนระดับอ้างอิงเท่ากับ 3 เปรียบเสมือนเพิ่ม เทอมแรงกระทำรูปสามเหลี่ยมอีกหนึ่งเทอมจากการใช้จำนวนระดับอ้างอิงเท่ากับ 2 พบว่าผลที่ได้ไม่แตกต่างจากการใช้จำนวนระดับอ้างอิงเท่ากับ 2 จะเห็นได้ว่า การใช้จำนวนระดับอ้างอิงที่สอดคล้องกับลักษณะการกระจายแรงบิดภายนอก จะช่วยให้ค่าที่ได้และราดเร็วขึ้น อย่างไรก็ตาม เพื่อการเปรียบเทียบค่าต่างๆจะใช้ผลลัพธ์จากการใช้จำนวนระดับอ้างอิงเท่ากับ 3 เท่านั้น เมื่อเปรียบเทียบค่ามุมบิดที่จุดยอดสุด ดังแสดงในตารางที่ 4 กับผลลัพธ์ของ ETABS พบว่าให้ค่าสูงกว่าค่าจริง 6 เปอร์เซ็นต์

ผลลัพธ์แรงในแนวแกนของเสาตันมุน ดังแสดงในรูปที่ 19 พบว่าแรงในแนวแกนสูงสุดที่หัวล่างสุดมีค่าต่างกว่าค่าที่ได้จาก ETABS ไม่เกิน 30 เปอร์เซ็นต์ และจะมีค่าผิดพลาดมากที่หัวบนสุด สำหรับการกระจายแรงในแนวแกนของเสาภายใต้ทิ้งส่องด้าน ดังแสดงในรูปที่ 21 จะแสดงให้เห็นถึงการกระจายของฟังก์ชันการยึดหลังในแนวแกนที่สมมติขึ้น ในลักษณะสมการเส้นตรง ( สมการที่ 26 ) พบว่าค่าของแรงในแนวแกนตามความสูงของเสาภายใต้ทิ้งส่องด้านที่รูดับนี้ต่อเนื่องกัน ค่าของแรงในแนวแกนที่หัวบนจะให้ค่าที่ถูกต้องกว่าหัวล่าง และในหัวเดียวกันเสาที่อยู่ต่ำแห่งใกล้เสาตันมุนจะให้ค่าที่ถูกต้องกว่าเสาตันที่อยู่ห่างออกไป ค่าแรงในแนวแกนจะให้ผลลัพธ์ที่หัวที่ 1-6 ทึ้งนี้ค่าของแรงในแนวแกนจะผิดพลาดที่หัวบนสุด เช่นเดียวกัน

ผลลัพธ์ของแรงเฉือนในเสาและคานห้องทิ้งส่องด้าน ดังแสดงในรูปที่ 20 พบว่า การกระจายแรงเฉือนในเสาและคานห้องทิ้งส่องด้านประมาณ 80 เปอร์เซ็นต์ของทิ้งหมด จะให้ใกล้เคียงกับผลลัพธ์ของ ETABS และนูลสวัลต์ และจะให้ค่าผิดพลาดสูงที่เสาตันมุน โดยที่ให้ค่าต่างกว่าค่าที่ได้จาก ETABS ไม่เกิน 25 เปอร์เซ็นต์ สำหรับผลลัพธ์ของโมเมนต์ด้านเสาตันมุน ดังแสดงในตารางที่ 5 พบว่าค่าที่ได้ให้ผลลัพธ์สมควรแต่จะมีค่าผิดพลาดสูงที่หัวล่างสุด

จากค่าผิดพลาดต่างๆ สำหรับแรงในแนวแกนของทิ้งส่องด้านเนื่องจาก การให้การกระจายฟังก์ชันการยึดหลังในแนวแกนเหมือนกันที่ทุกระดับชั้น โดยแท้จริงแล้วแรงในแนวแกนจะเปลี่ยนเดร่องหมายที่หัวบน และการกระจายแรงในแนวแกนในแต่ละด้านแตกต่างจากที่สมมติ จึงทำให้เกิดความผิดพลาดชั้น สำหรับแรงในแนวแกนที่เสาตันมุน หัวอยู่กับการสมมติฟังก์ชันการยึดหลังได้ถูกต้องเพียงใด รวมทั้งฟังก์ชันมุนบิดที่สมมติขึ้นไม่เป็นไปตามเงื่อนไขของแรงเฉือนที่จุดยอดสุด กล่าวคือแรงเฉือนต้องมีค่า เมื่อศูนย์ที่จุดยอดสุด อีกประการหนึ่งควรเพิ่มเทอมของฟังก์ชันที่สมมติให้มากขึ้นกว่าเดิม อย่างไรก็ตามการใช้ฟังก์ชันต่างๆดังที่แสดงไว้ก็ให้ค่าที่ถูกต้องเพียงพอสำหรับการออกแบบหันตันได้

4.2 ตัวอย่างที่ 2 โครงข้อแข็งรูปกล่องสี่เหลี่ยมผืนผ้าที่มีการเปลี่ยนขนาดตามความสูงรับแรงดึงกระแทกต้านชั้นที่สมมาตร ตัวอย่างนี้เปรียบเทียบผลลัพธ์ที่ได้จากการวิจัยโดยใช้จำนวนระดับอ้างอิงเท่ากับ 3 กับผลลัพธ์ของ สุวรรณ, KHAN และค่าจริงที่ได้จากการวิเคราะห์ละเอียด

นิจารามารูปที่ 22 ก. แสดงมิติและแปลนหน้าตัวไปของโครงข้อแข็งรูปกล่องสี่เหลี่ยมผืนผ้าสูง 50 ชั้น รับแรงกระแทกที่ในแนวราบที่ผ่านศูนย์ 19 kips/ft ความสูงระหว่างชั้น 13 ฟุต และระยะห่างระหว่างชั้นเสากั้งสองด้าน 12 ฟุต ตารางที่ 6 แสดงคุณสมบัติต่างๆ ของชั้นส่วน ตัวอย่างนี้ KHAN ไม่ได้กำหนดค่าโมดูลัสยืดหยุ่นและโมดูลัสของการเฉือน ดังนี้ กำหนดให้เท่ากับ  $5 \times 10^5$  kips/ft<sup>2</sup> และ  $2.07 \times 10^5$  kips/ft<sup>2</sup> ตามลำดับ ค่า Stiffness Factor ดังแสดงในตารางที่ 6 จากค่า Stiffness Factor และ Aspect Ratio สามารถหาค่า  $M_1$ ,  $M_2$ ,  $M_3$  ได้เท่ากับ 1, 1.92, 0.52 ตามลำดับ

รูปที่ 22 น. แสดงมิติและแปลนหน้าตัวไปของกล่องเทียบเท่าออร์โกรอปิด และมีความหนาของผังนังเทียบเท่า โมดูลัสหดหยุ่นเทียบเท่าและโมดูลัสการเฉือนเทียบเท่าตามการเปลี่ยนขนาดของชั้นส่วนตามความสูงของโครงสร้าง ดังแสดงในตารางที่ 7

ผลลัพธ์ของการวิเคราะห์ค่ามุมบิดที่จุดยอดสุดของโครงข้อแข็งรูปกล่องสี่เหลี่ยมผืนผ้าที่มีการเปลี่ยนจำนวนระดับอ้างอิง ไม่สามารถเปรียบเทียบกับการวิจัยของผู้วิจัยอื่นเนื่องจาก การกำหนดค่าโมดูลัสยืดหยุ่นและโมดูลัสของการเฉือนไม่เท่ากันในการวิเคราะห์ ซึ่งการกำหนดค่าตั้งกล่าวไม่มีผลต่อผลลัพธ์ของแรงในแนวแกนและแรงเฉือนในเสาและคานในการวิเคราะห์

ผลลัพธ์แรงในแนวแกนของเสาตันมูมและเสาภายในของด้านที่ 1 ดังแสดงในตารางที่ 8 การเปรียบเทียบจะใช้ค่าจำนวนระดับอ้างอิงที่ให้ผลลัพธ์ที่ดีที่สุดเท่ากับ 3 โดยมีการกระจายแรงในแนวแกนในด้านที่ 1 และ 2 ดังแสดงในรูปที่ 23 ซึ่งแสดงการกระจายของฟังก์ชันการยืดหดในแนวแกนในแต่ละด้านที่สมมติขึ้น ( สมการที่ 21, 22 ) จากการเปรียบเทียบค่าแรงในแนวแกนในตารางที่ 8 พบว่า แรงในแนวแกนสูงสุดที่ชั้นล่างสุดของเสาตันมูมค่าต่ำกว่าค่าจริงไม่เกิน 14 เปอร์เซ็นต์ สำหรับการกระจายแรงในแนวแกนของเสาภายในด้านที่ 1 พบว่าค่าของแรงในแนวแกนที่ชั้นล่างสุดจะให้ค่าต่ำกว่าค่าจริงไม่เกิน 11 เปอร์เซ็นต์

ผลลัพธ์ของแรงเฉือนในคานของด้านที่ 2 ที่รวมค่า 5 ชั้นแรก ดังแสดงในตารางที่ 9 พบว่าการกระจายแรงเฉือนในคานบริเวณกั้งกลางด้านที่ 2 ที่ให้ค่าสูงสุดจะให้ค่าผิดพลาดไม่เกินสูงกว่าค่าจริง 12 เปอร์เซ็นต์ และที่ตำแหน่งคานแผ่นไปทางขอบริมด้านที่ 2 จะให้ค่าผิดพลาดสูงกว่าค่าจริงไม่เกิน 17 เปอร์เซ็นต์

ทั้งนี้ค่าผิดพลาดสับเปลี่ยนมาจากการใช้ฟังก์ชันที่สมมติขึ้น และการใช้ฟังก์ชันการกระจายการรีดหดเดียวกันตลอดความสูง ดังนั้นจึงไม่สามารถแทนฟังก์ชันการรีดหดจริงได้ทุกตำแหน่งของเสา ทั้งนี้จะมีผลต่อแรงเฉือนในเสาและคานเนื่องจากแรงเฉือนส่วนหนึ่งจะได้จากการกระจายแรงในแนวแกนนี้ อย่างไรก็ตามค่าที่ได้ก็เพียงพอที่จะใช้ในการออกแบบขั้นต้นได้

**4.3 ตัวอย่างที่ 3** โครงข้อแข็งรูปกล่องสี่เหลี่ยมผืนผ้า เมื่อตัวอย่างที่ 2 แตกต่างตรงที่แปลงหน่วยของมิติ เป็นหน่วยเมตริกซ์ และลักษณะของแรงกระทำด้านข้างที่ก่อให้เกิดแรงในแนวราบที่ผ่านศูนย์ และแรงบิด ตัวอย่างนี้เป็นการแสดงผลลัพธ์ค่าต่างๆที่เกิดขึ้นในโครงข้อแข็งรูปกล่องสี่เหลี่ยมผืนผ้าโดยไม่มีการเบริกบเทียบกับผู้วิจัยอื่น

พิจารณารูปที่ 24 ก. แสดงมิติและแปลนพื้นที่ทั่วไปของโครงข้อแข็งรูปกล่องสี่เหลี่ยมผืนผ้าสูง 50 ชั้น รับแรงลงขนาดตามเกศบัญญัติกรุงเทพมหานคร มีขนาดคงที่ 160 กก.ต่อ ตร.ม. และแรงบิดขนาด 16000 กก.-ม ต่อ ตร.ม โดยมีค่าทางของแรงกระทำดังแสดงในรูปที่ 24 ก. ความสูงระหว่างชั้น 3.90 ม. และระยะห่างระหว่างช่วงเสาทั้งสองด้าน 3.00 ม. ตารางที่ 10 แสดงคุณสมบัติต่างๆของขั้นล่าง ค่าโมดูลัสยืดหยุ่นและโมดูลัสของการเฉือนเท่ากับ  $2.3 \times 10^6$  ตัน.ต่อ ตร.ม. และ  $0.92 \times 10^6$  ตัน.ต่อ ตร.ม ตามลำดับ ค่า Stiffness Factor และ Shear Lag Parameter และ Aspect Ratio สามารถหาค่า  $M_1$ ,  $M_2$ ,  $M_3$  ได้เท่ากับ 1.00, 1.92 และ 0.52 ตามลำดับ

พิจารณารูปที่ 24 ข. แสดงมิติและแปลนพื้นที่ทั่วไปของกล่องเทียบเท่าอวร์โธรอปิดและมีความหนาของผังเทียบเท่าในแต่ละด้าน โมดูลัสยืดหยุ่นเทียบเท่าและโมดูลัสการเฉือนเทียบเท่าตามการเปลี่ยนขนาดของขั้นล่างตามความสูง ดังแสดงในตารางที่ 11

ผลลัพธ์ของการวิเคราะห์หาค่าต่างๆโดยการใช้จำนวนระดับข้างอิงเท่ากับ 3 เท่ากับมาแสดง เหตุผลดังที่กล่าวมาแล้วในตัวอย่างที่ 1 ผลลัพธ์ของระยะเออนและมุมบิดดังแสดงในรูปที่ 25, 26 สำหรับผลลัพธ์ของแรงในแนวแกนของเสาในแต่ละด้านดังแสดงในรูปที่ 27-30 พบว่า ด้านที่ 1 และ 3 แรงในแนวแกนจะมีขนาดเท่ากันแต่ต่างเครื่องหมาย เป็นผลลัพธ์เนื่องจากแรงในแนวแกนที่เกิดขึ้นเนื่องจากผลของแรงในแนวราบที่ผ่านศูนย์และแรงบิดมีค่าทางส่วนกัน ส่วนด้านที่ 2 และ 4 เมื่อเปรียบเทียบระหว่างด้านทั้งสอง การกระจายแรงในแนวแกนที่ 4 จะให้ค่าที่สูงกว่าในด้านที่ 2 เนื่องจากการเสริมกันของแรงในแนวแกนในด้านที่ 4 และการหักล้างกันในด้านที่ 2 ทั้งนี้แรงในแนวแกนของทุกด้านจะมีการเปลี่ยนเครื่องหมายที่นิ่มน้ำ

สำหรับผลลัพธ์ของแรงเนื้อนในเสาและคาน ดังแสดงในรูปที่ 31-34 พบว่าด้านที่ 1 และ 3 แรงเฉือนที่เกิดขึ้นในเสาและคานที่เกิดขึ้นส่วนใหญ่เนื่องจากผลของแรงบิด โดยมีขนาดเท่ากันแต่เครื่องหมายต่างกัน ส่วนด้านที่ 2 และ 4 แรงเนื้อนในเสาและคานจะเกิดการหักล้างกันในด้านที่ 2 และแรงเฉือนในเสาและคานในด้านที่ 4 จะให้ค่าที่สูงกว่าในด้านที่ 2 เนื่องจากแรงเนื้อมีทิศทางเดียวกันเกิดการเสริมกัน

โดยแท้จริงแล้วการกระจายแรงในแนวแกนหรือแรงเนื้อนในเสาและคานนั้นไม่เนียงแต่ขึ้นอยู่กับสัดส่วนขนาดของแรงในแนวราบที่ผ่านศูนย์และแรงบิดที่มากกระทำ ซึ่งขึ้นอยู่กับทิศทางของแรงที่มากกระทำด้วย

## บทที่ 5

### สรุปผลการวิจัยและข้อเสนอแนะ

#### 5.1 สรุปผลการวิจัย

การวิเคราะห์อ้างง่ายเพื่อหาค่าการกระจายแรงกระทำด้านชั้องสำหรับโครงข้อแข็งรูปกล่องสี่เหลี่ยมผืนผ้า โดยการแทนแรงกระทำด้านชั้องด้วยแรงกระทำแบบบุตท์ปลายยอดสุดและไฟล์โนเมียลอันดับต่างๆ จากผลการวิจัยของสรุปได้ว่า

5.1.1 วิธีการวิเคราะห์โครงข้อแข็งรูปกล่องสี่เหลี่ยมผืนผ้าโดยการแทนโครงสร้างดิสเครตด้วยกล่องเที่ยบเท่าออร์โธกรอปิตามที่กล่าวมาในบทที่ 2 สามารถให้ค่าที่ถูกต้องเพียงพอในการออกแบบชั้นต้นได้

5.1.2 ในกรณีที่แรงกระทำภายในออกมีขนาดคงที่ตลอดความสูง การใช้จำนวนระดับอ้างอิงเท่ากับ 3 ก็เป็นการพอเพียงสำหรับการกระจายแรงกระทำด้านชั้อง สำหรับแรงกระทำภายในออกที่มีลักษณะอื่นๆ ควรเลือกใช้จำนวนระดับอ้างอิงที่มากขึ้น ทึ้งนี้ฟังก์ชันที่สัมมติชั้นควรที่จะให้ค่าความถูกต้องได้ทุกชนิดของแรงที่กระจายที่ต้านโดยโครงอาคาร

5.1.3 การวิเคราะห์โครงข้อแข็งรูปกล่องสี่เหลี่ยมผืนผ้าที่ต้านทานแรงกระทำด้านชั้องที่มีขนาดคงที่ สำหรับแรงบิดพบว่าแรงในแนวแกนสูงสุดของเสาตันมุ่มต่ำกว่าค่าจริงประมาณ 30 % แรงเฉือนในเสาและคานส่วนใหญ่จะให้ค่าที่ค่อนข้างจะถูกต้องที่สั้นลงๆ แม้ว่าจะผิดพลาดมากที่ เสาตันมุ่ม มุมบิดสูงสุดที่เกิดขึ้นเมื่อค่ามากกว่าค่าจริงไม่เกิน 6 % ส่วนกรณีโครงข้อแข็งรูปกล่องสี่เหลี่ยมผืนผ้าที่ต้านแรงกระทำผ่านศูนย์ พบว่าแรงในแนวแกนสูงสุดของเสาตันมุ่มจะให้ค่าต่ำกว่าค่าจริงไม่เกิน 14 % สำหรับการกระจายแรงในแนวแกนของเสาตันที่ 1 และ 3 มีค่าต่ำกว่าค่าจริงไม่เกิน 12 % ส่วนแรงเฉือนในคานซึ่งเปรียบเทียบผลรวมของแรงเฉือนในคาน 5 ชั้นแรก ต่ำหนึ่งที่ให้ค่าผลรวมของแรงเฉือนในคาน 5 ชั้นแรกสูงสุดจะให้ค่าสูงกว่าค่าจริง 12 % ระยะเออนไม่สามารถเปรียบเทียบได้ จากผลการวิเคราะห์ค่าต่างๆ ที่ได้ให้ค่าที่ถูกต้องเพียงพอสำหรับการออกแบบชั้นต้นได้

## 5.2 ห้องเรียนแนะนํา

การศึกษาด้านคัวเนิ่มเติมจากวิทยานิพนธ์นี้ อาจจะศึกษาถึง

5.2.1 กรณีโครงสร้างแข็งรูปกล่องสี่เหลี่ยมผืนผ้าที่มีการแปรเปลี่ยนขนาดของระยะห่างระหว่างช่วงเสาในแต่ละด้านตามความสูง

5.2.2 การศึกษาการกระจายแรงกระทำด้านห้างของโครงอาคาร กรณีห้องค้ออาคารประกอบด้วยองค์อาคารประเทกอื่น เช่น ปล่องลิฟท์ เป็นต้น

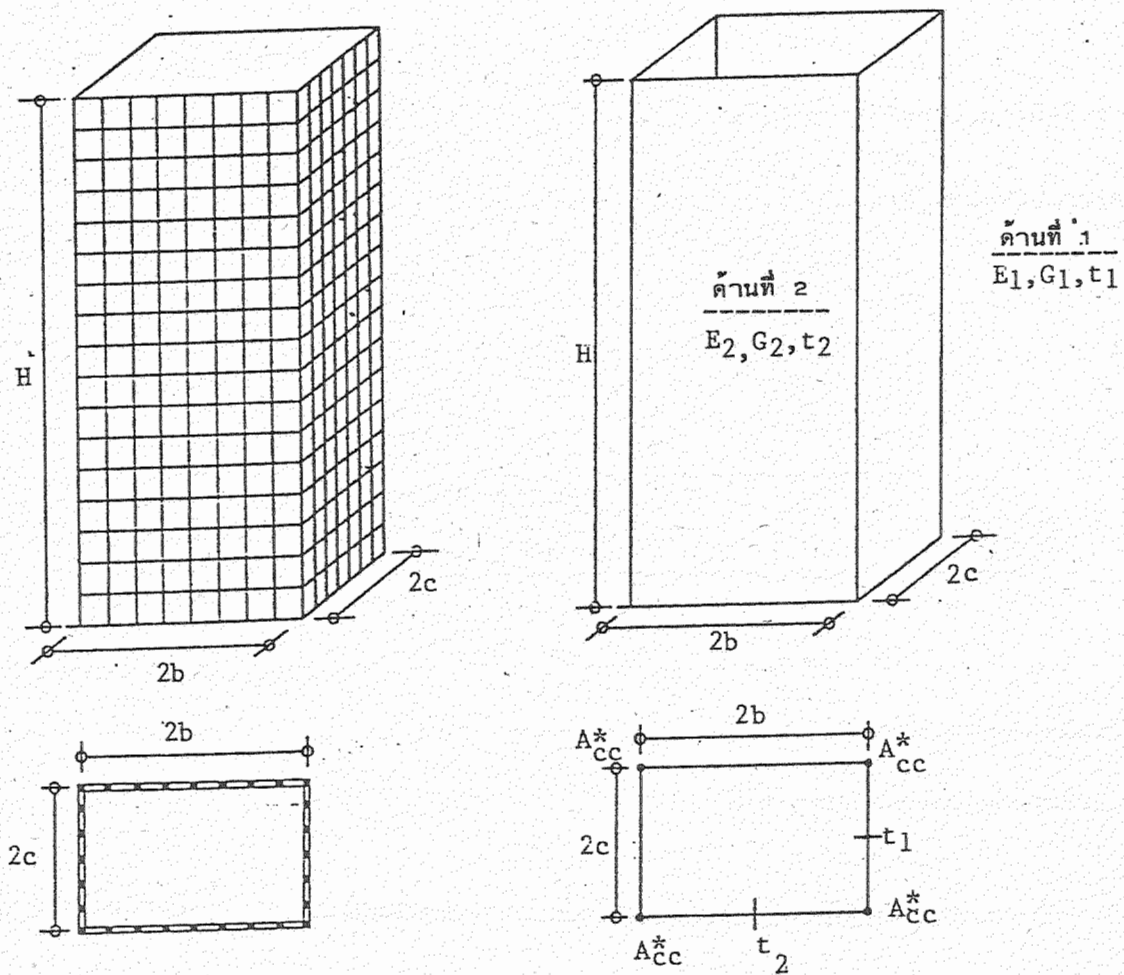
5.2.3 การเลือกใช้ฟังก์ชันการเคลื่อนที่ให้ค่าที่ถูกต้องมากขึ้น แทนที่จะใช้การสมมติฟังก์ชัน อาจใช้วิธีการ Calculus of Variation เพื่อหาฟังก์ชันต่างๆ โดยตรง

## เอกสารอ้างอิง

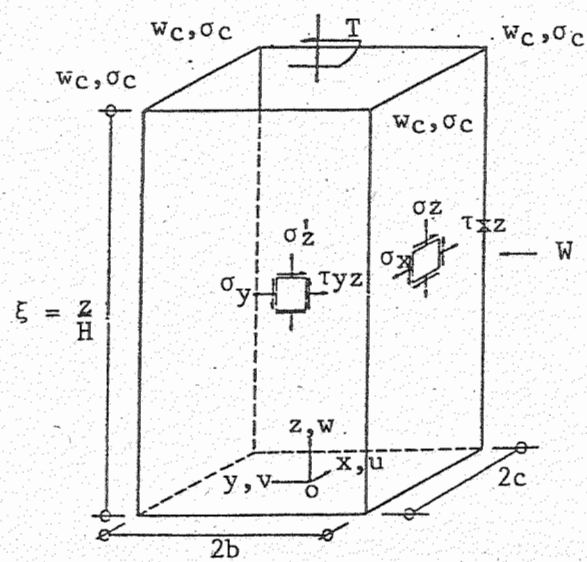
1. Coull, A. and Subedi, N.K., "Framed Tube Structures for High-rise Buildings," Journal of the Structural Division, Proceedings of the American Society of Civil Engineers., 97, ST 8 (August 1971), pp 2097-2105
2. Rutenberg, A., "Analysis of Tube Structures Using Plane Frame Programs," Proceeding of the Regional Conference on Tall Building, Bangkok, Asian Institute of Technology, 1974, pp. 397-413
3. Khan, F.R. and Amin, N.R., "Analysis and Design of Framed Tube Structures for Tall Concrete Buildings," Response of Multistory Concrete Structures to Lateral Forces, Publication SP-36. Detroit : American Concrete Institute, 1973, pp. 39-60
4. Coull, A. and Bose, B., "Simplified Analysis of Framed Tube Structures," Journal of the Structural Division, Proceeding of the American Society of Civil Engineers., 101, ST. 11 (November 1975), pp. 2223-2240
5. Coull, A. and Bose, B., "Torsion of Framed Tube Structures," Journal of the Structure Division, Proceedings of the American Society of Civil Engineers., 102 ,ST. 12 (December 1976 ), pp. 2366-2370
6. Coull, A. and Ahmed, A.K., "Deflection of Framed Tube Structures," Journal of the Structural Division, Proceedings of the American Society of Civil Engineers., 104, ST. 5 (May 1978), pp. 857-862

7. Watanavong, S., "Approximate Analysis of Framed Tube Structures Subjected to Lateral Load," Master's Thesis, Department of Civil Engineers, Graduate School, Chulalongkorn University, 1978
8. Phuaprapat, P., "Approximate Analysis of Framed Tube Structures Subjected to Torsional Loading," Master's Thesis, Department of Civil Engineers, Graduate School, Chulalongkorn University, 1979
9. Coull, A. and Adams, N.W., "A Simple Method of Analysis of the Load Distribution in Multistory Shear Wall Structures," Response of Multistory, Concrete Structures to Lateral Forces, Publication SP 36-9, ACI, 1973, pp. 187-216
10. Coull, A. and Mohammed, T.H., "Simplified Analysis of Lateral Load Distribution in Structures Consisting Frames, Coupled Shear Wall and Cores," The Structural Engineer, Vol. 61B No. 1, March 1983, pp. 1-8
11. Saengboonsong, T., "An Approximate Lateral Load Distribution in Nonuniform Building Frames," Master's Thesis, Department of Civil Engineers, Graduate School, Chulalongkorn University, 1985
12. ดร.ทักษิณ เทพชาตรี, "การวิเคราะห์แรงกระทำด้านข้างในอาคารสูงประกอบด้วยโครงสร้างแข็งและกำแพงตัวยึดโดยคอมพิวเตอร์," วิศวกรรมสาร เล่มที่ 4, สิงหาคม 2527, วิศวกรรมสถานแห่งประเทศไทย
13. ดร.ทักษิณ เทพชาตรี, "การใช้คอมพิวเตอร์ในการวิเคราะห์อย่างประมาณเพื่อหาค่าการกระจายของแรงด้านข้างในอาคารสูง ประกอบด้วยผนังรับแรงเฉือนและโครงสร้างแข็ง," จุฬาลงกรณ์มหาวิทยาลัย, 2528, หน้า 1-53

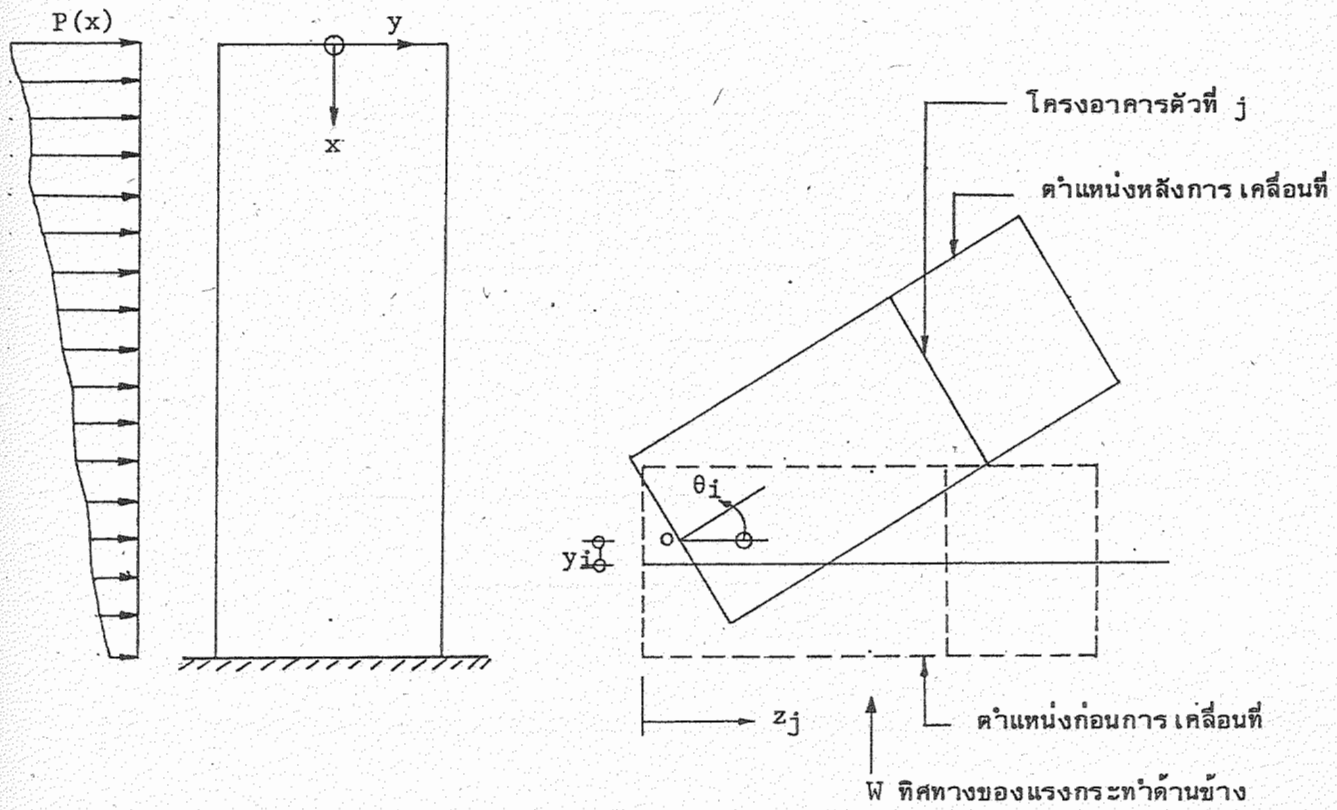
รุ่นการพัฒนา



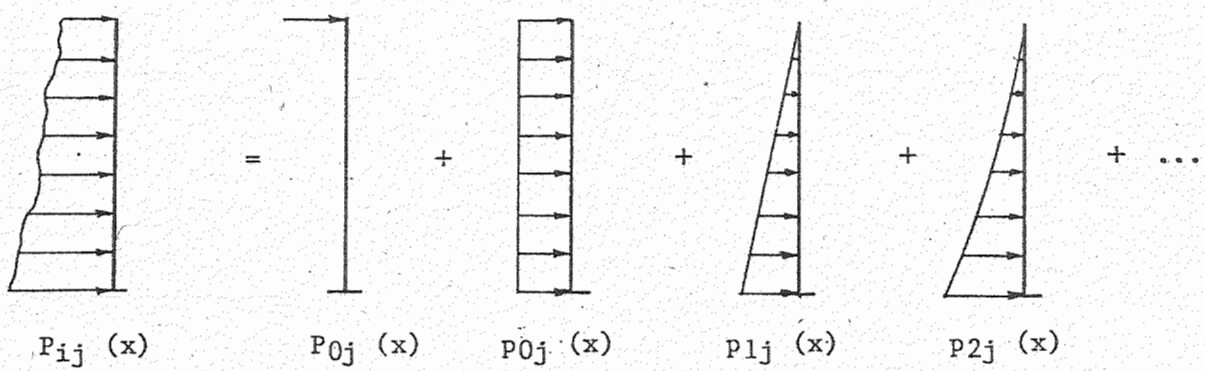
รูปที่ 1. การແນ່ງໂຄຮສ້າງຈິສຄວົດ (Discrete Structure) ດ້ວຍກລ່ອງເທື່ອບເກ້າອວ່າໄໂກໂກຣອົປີ



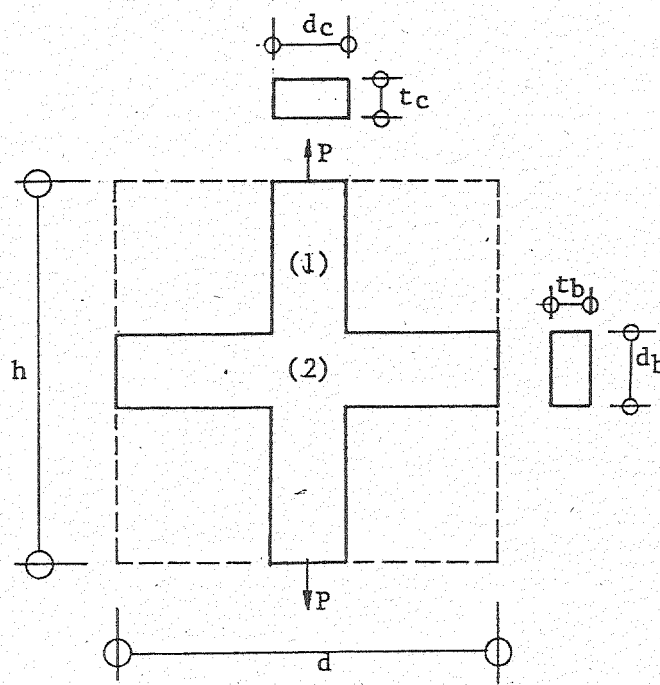
รูปที่ 2. ກິສທາງຂອງແກນ x, y, z ຜວມເຄີນ ການເຄີ້ອນນີ້ ແລະ ນາດຂອງກລ່ອງເທື່ອບເກ້າອວ່າໄໂກໂກຣອົປີ



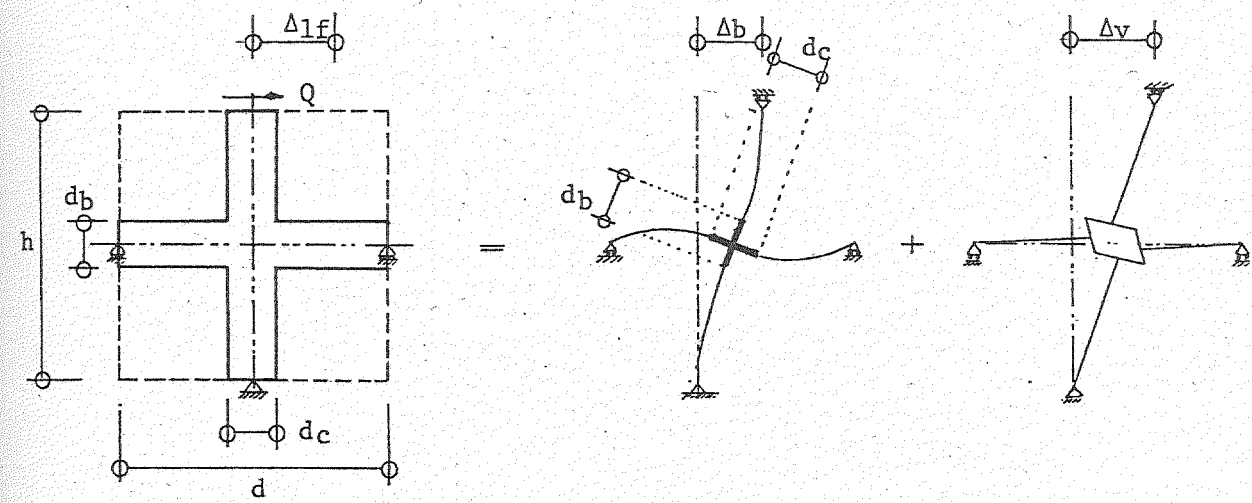
รูปที่ 3. แกนอ้างอิง  $x$ ,  $y$ ,  $z$  และลักษณะการเคลื่อนที่ของโครงอาคารที่ใช้ในการวิเคราะห์



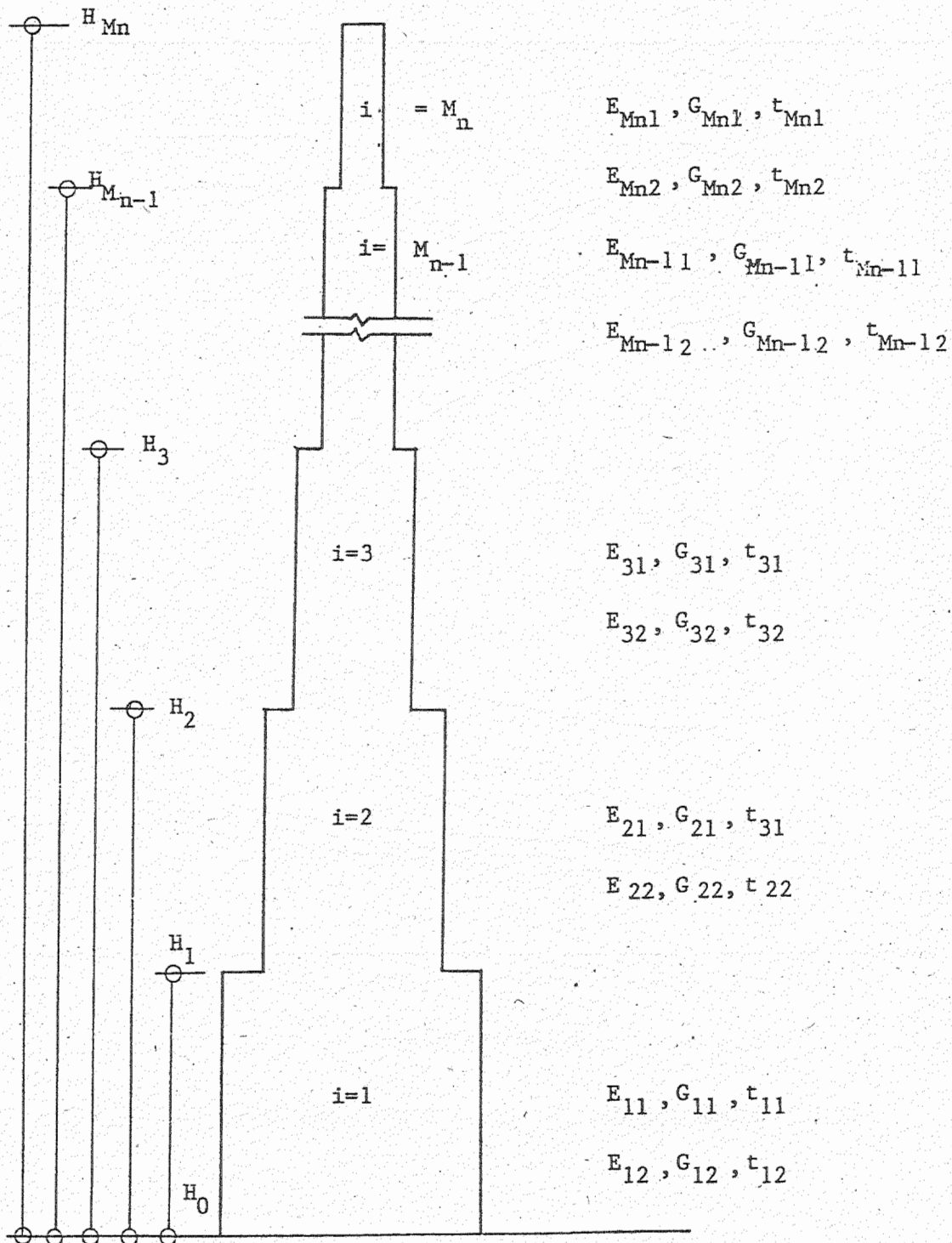
รูปที่ 4. การแยกแรงกระทำด้านข้าง  $P(x)$  ด้วยแรงกระทำเป็นจุดที่สุดยอดสุด และแบ่งในรูป  
โพลีโนเมียลอันดับต่างๆ



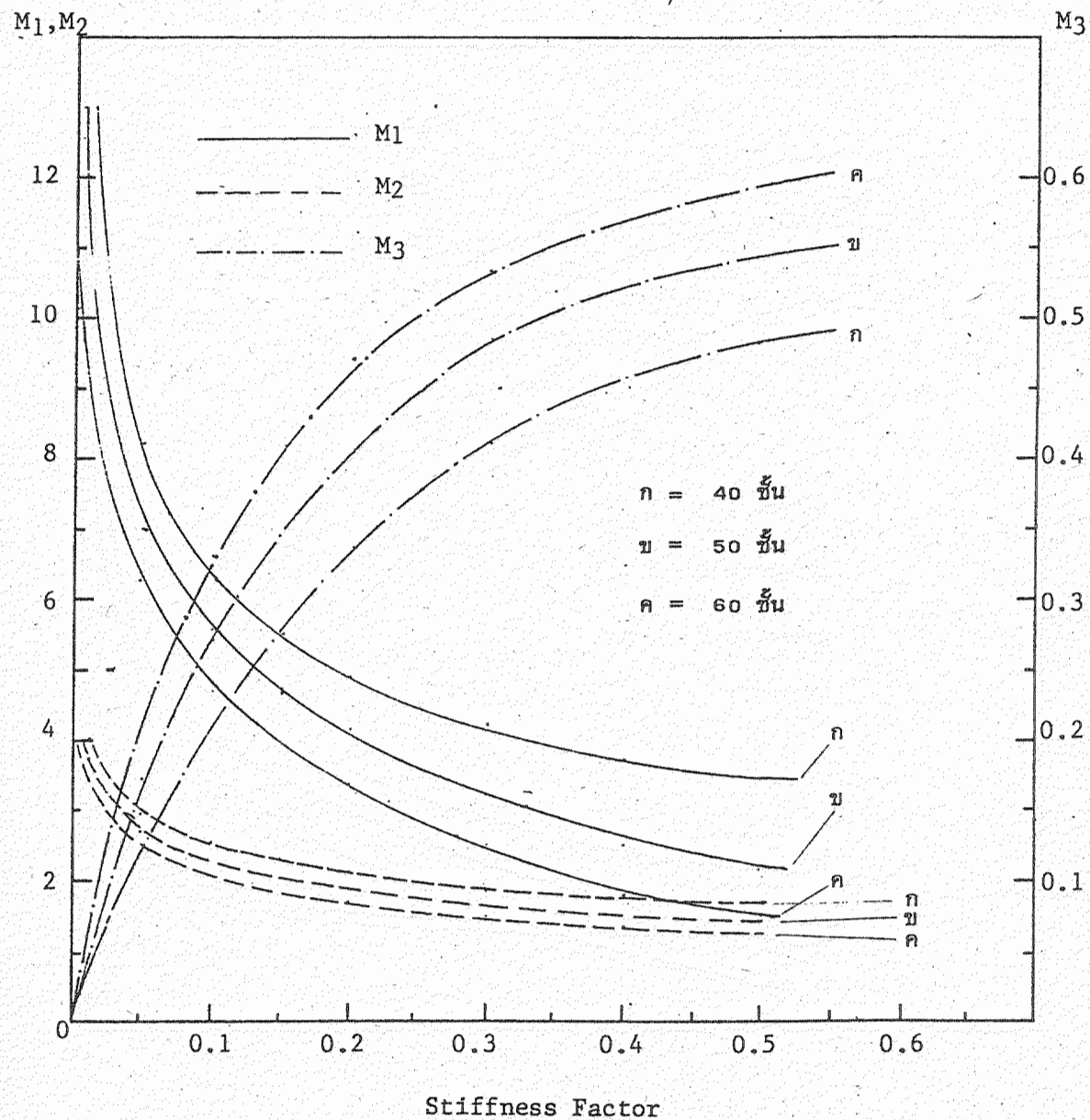
รูปที่ 5. การหาค่าโมดูลัสยืดหุ้น (Modulus of Elasticity)  $E_z$  ของกล่องเทียบเท่าอัตราการอปิค



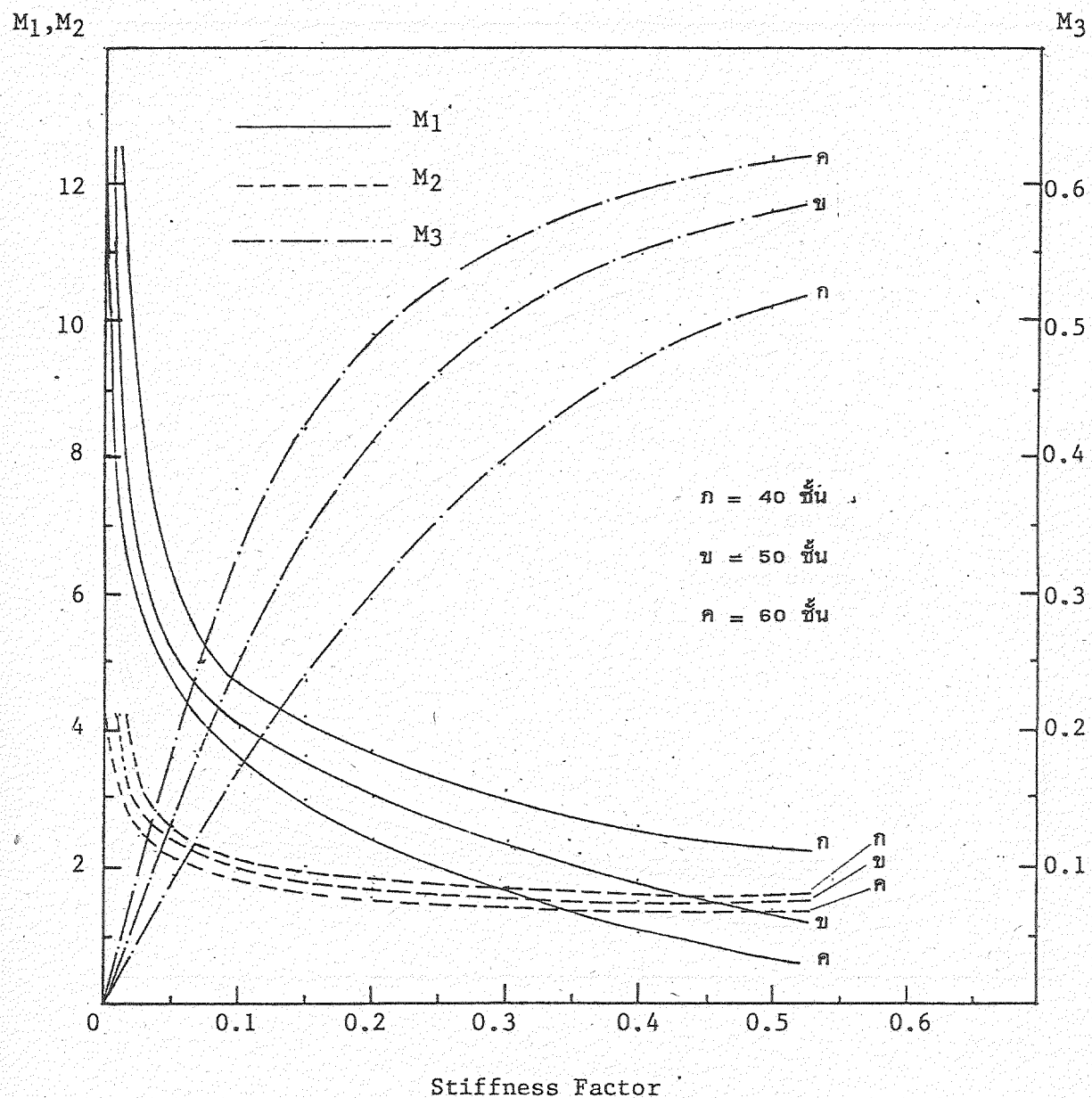
รูปที่ 6. การหาค่าโมดูลัสการเจือน (Shear modulus)  $G_{zs}$  ของกล่องเทียบเท่าอัตราการอปิค



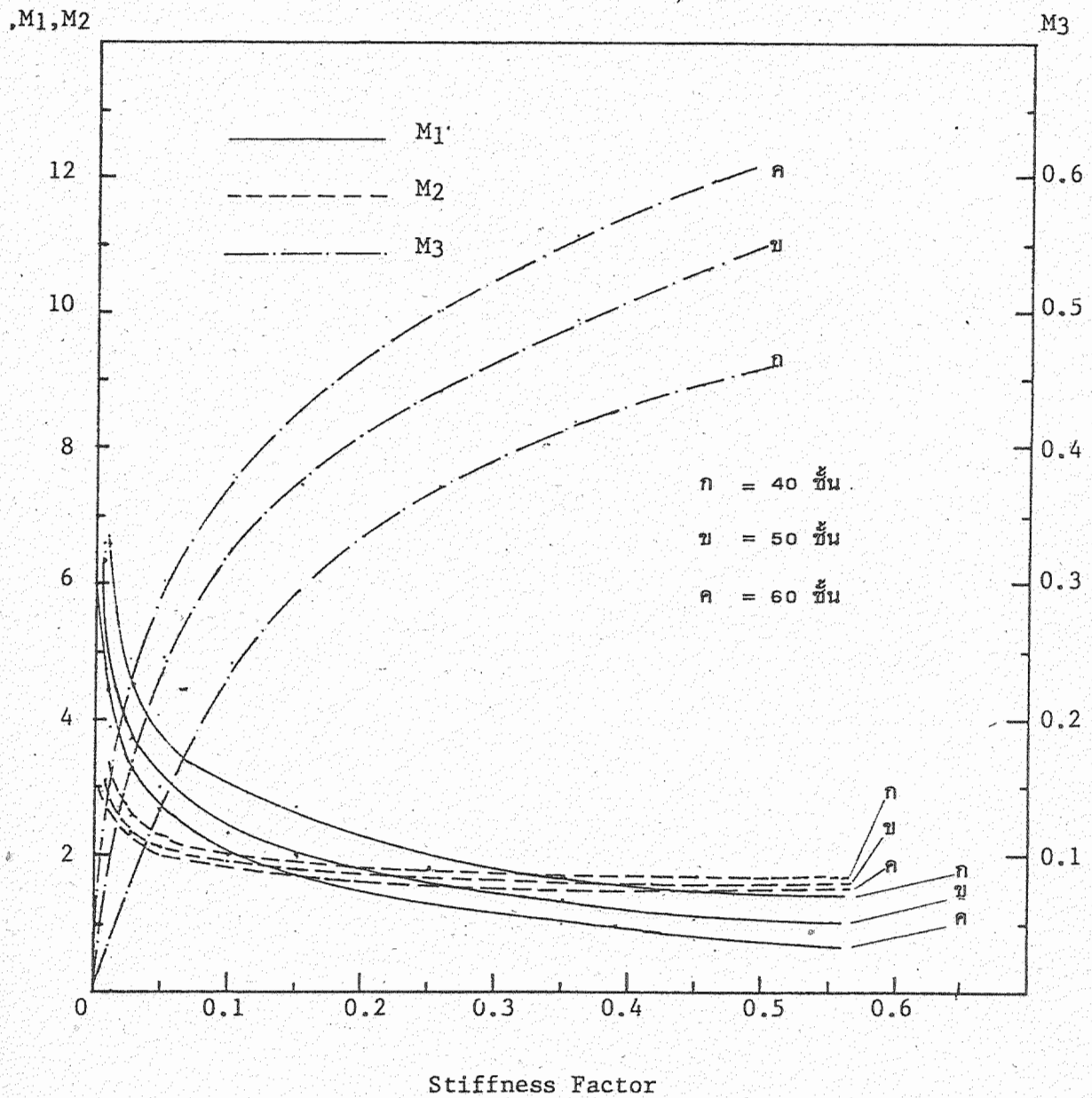
รูปที่ 7. แสดงสัญลักษณ์การเปลี่ยนขนาดของชีวิตตามความสูง



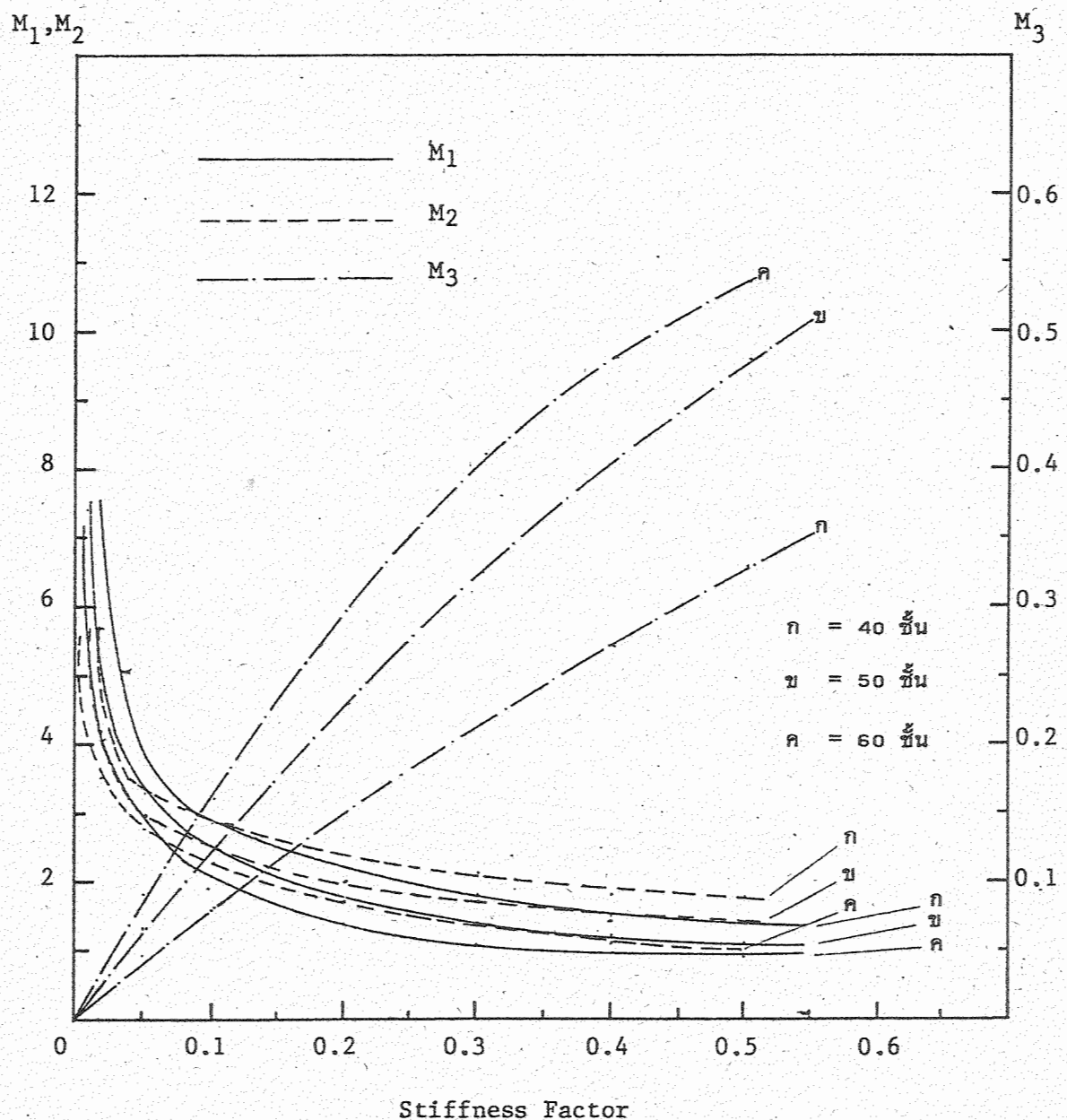
รูปที่ 8. กราฟแสดงค่าสัมประสิทธิ์  $M_1$ ,  $M_2$ ,  $M_3$  (Aspect Ratio = 0.5)



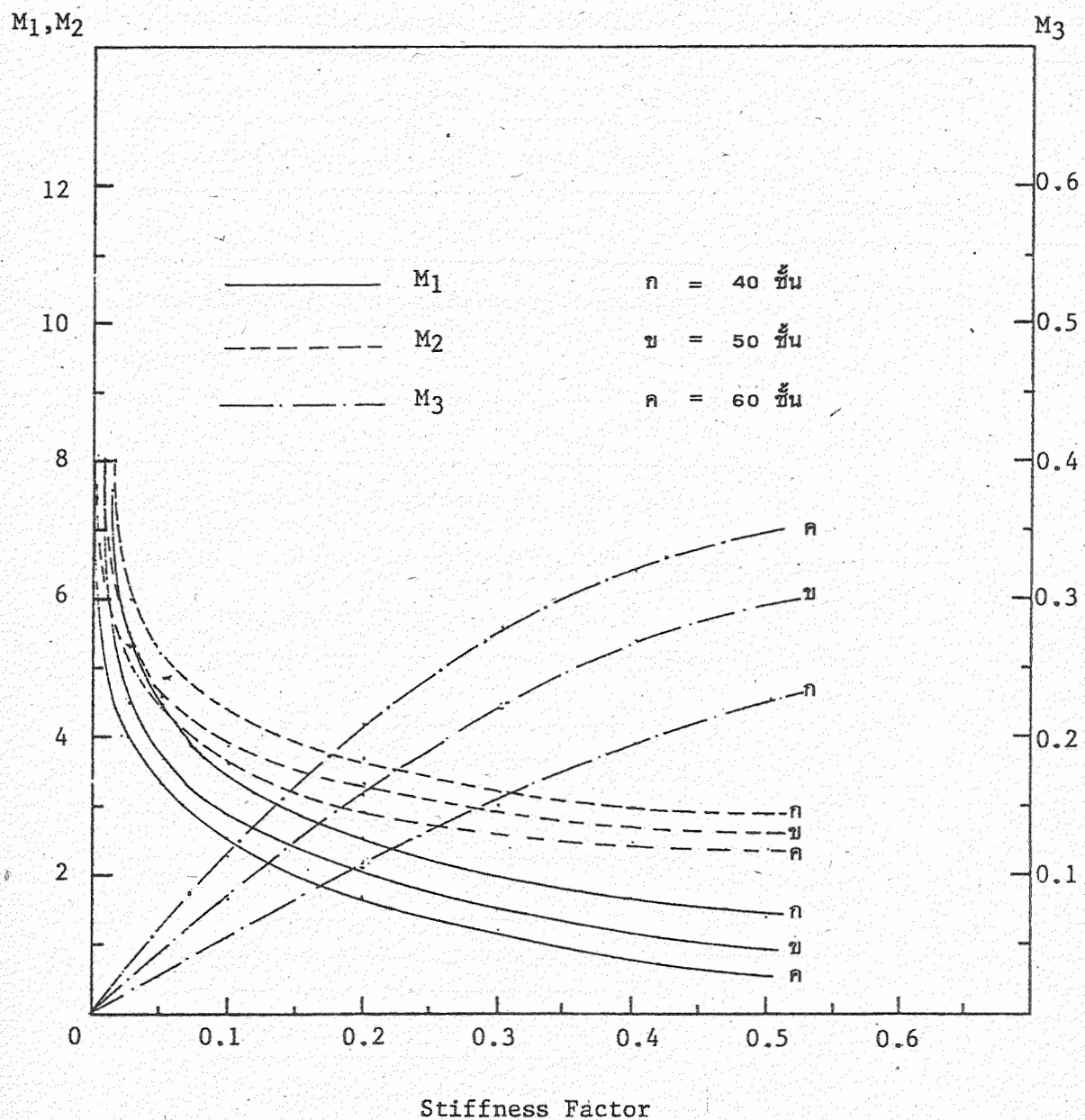
รูปที่ 9. กราฟแสดงค่าสัมประสิทธิ์  $M_1$ ,  $M_2$ ,  $M_3$  (Aspect Ratio = 0.666)



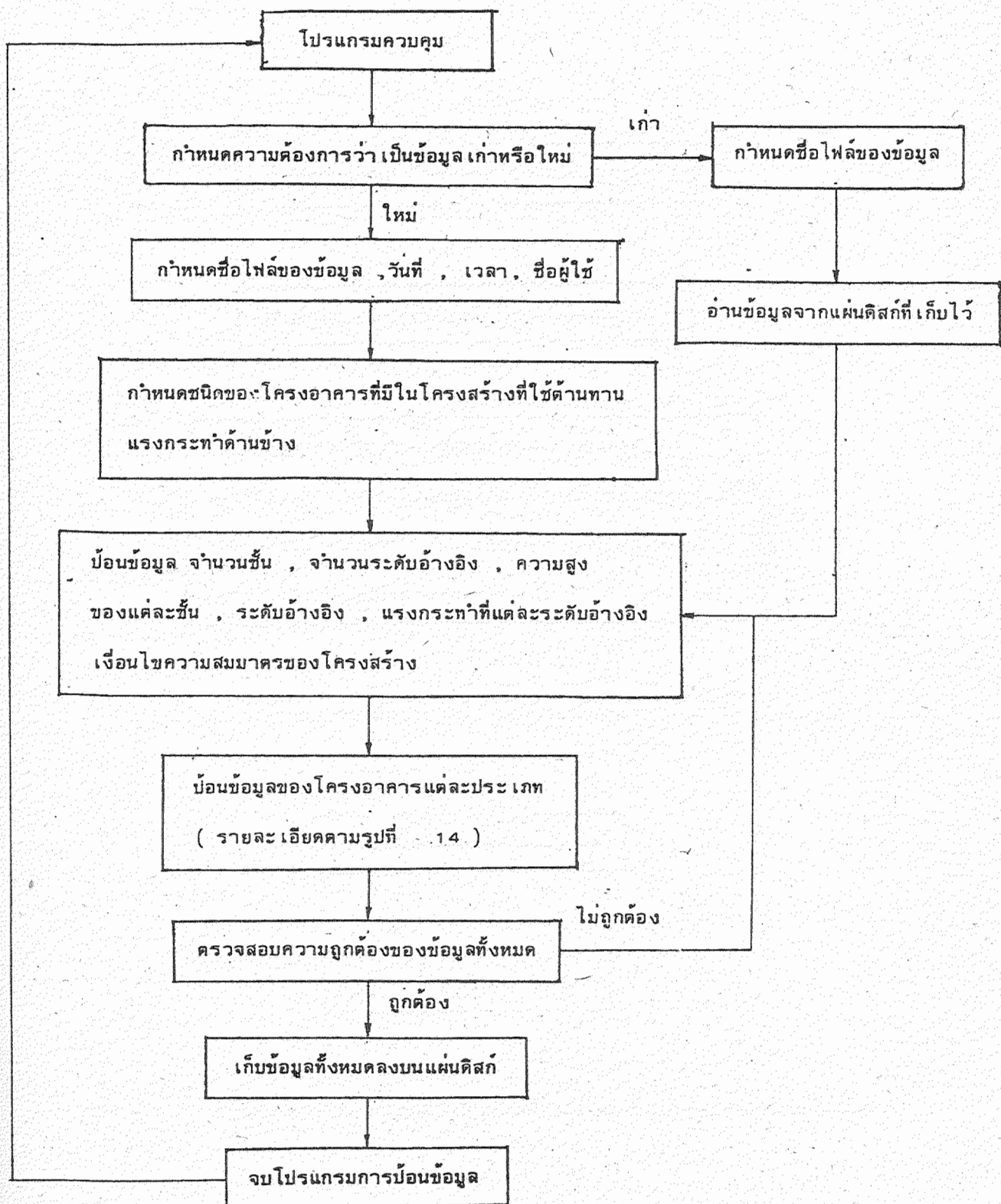
รูปที่ 10. กราฟแสดงค่าสัมประสิทธิ์  $M_1, M_2, M_3$  (Aspect Ratio = 1.00)



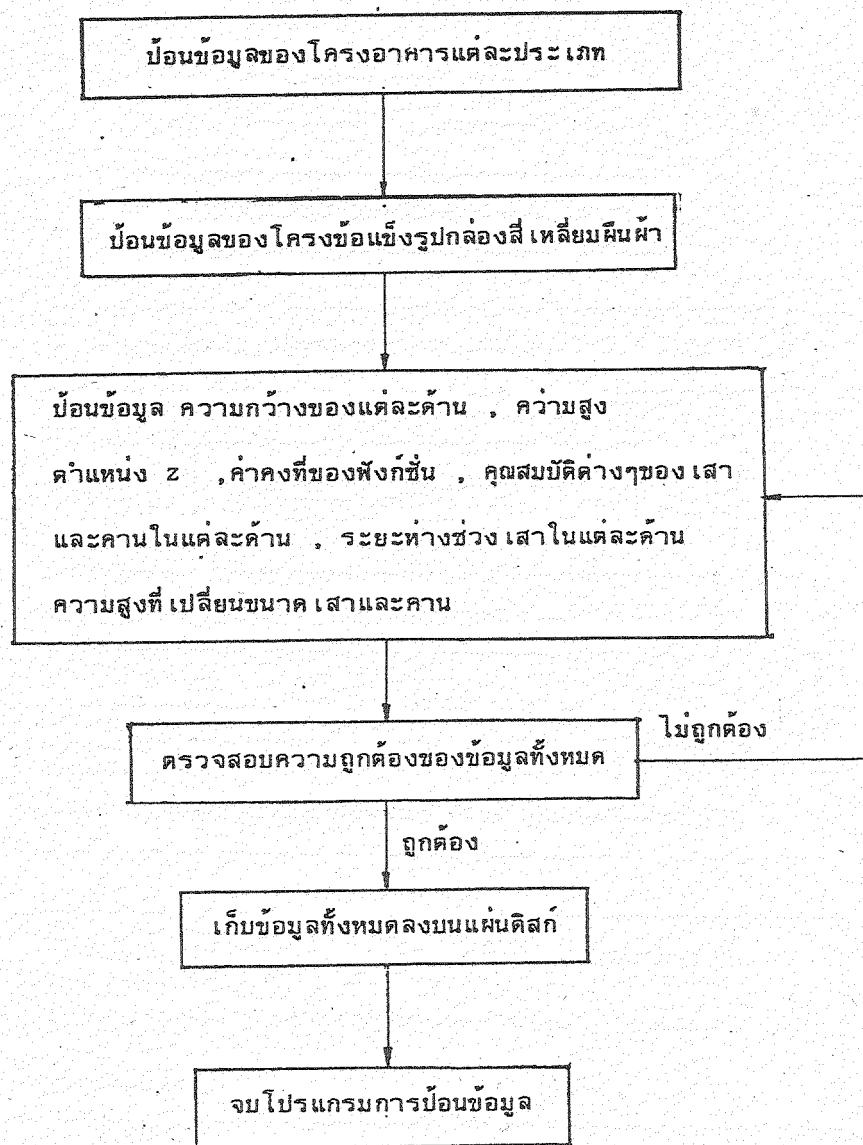
รูปที่ 11. กราฟแสดงค่าสัมประสิทธิ์  $M_1$ ,  $M_2$ ,  $M_3$  (Aspect Ratio = 1.50)



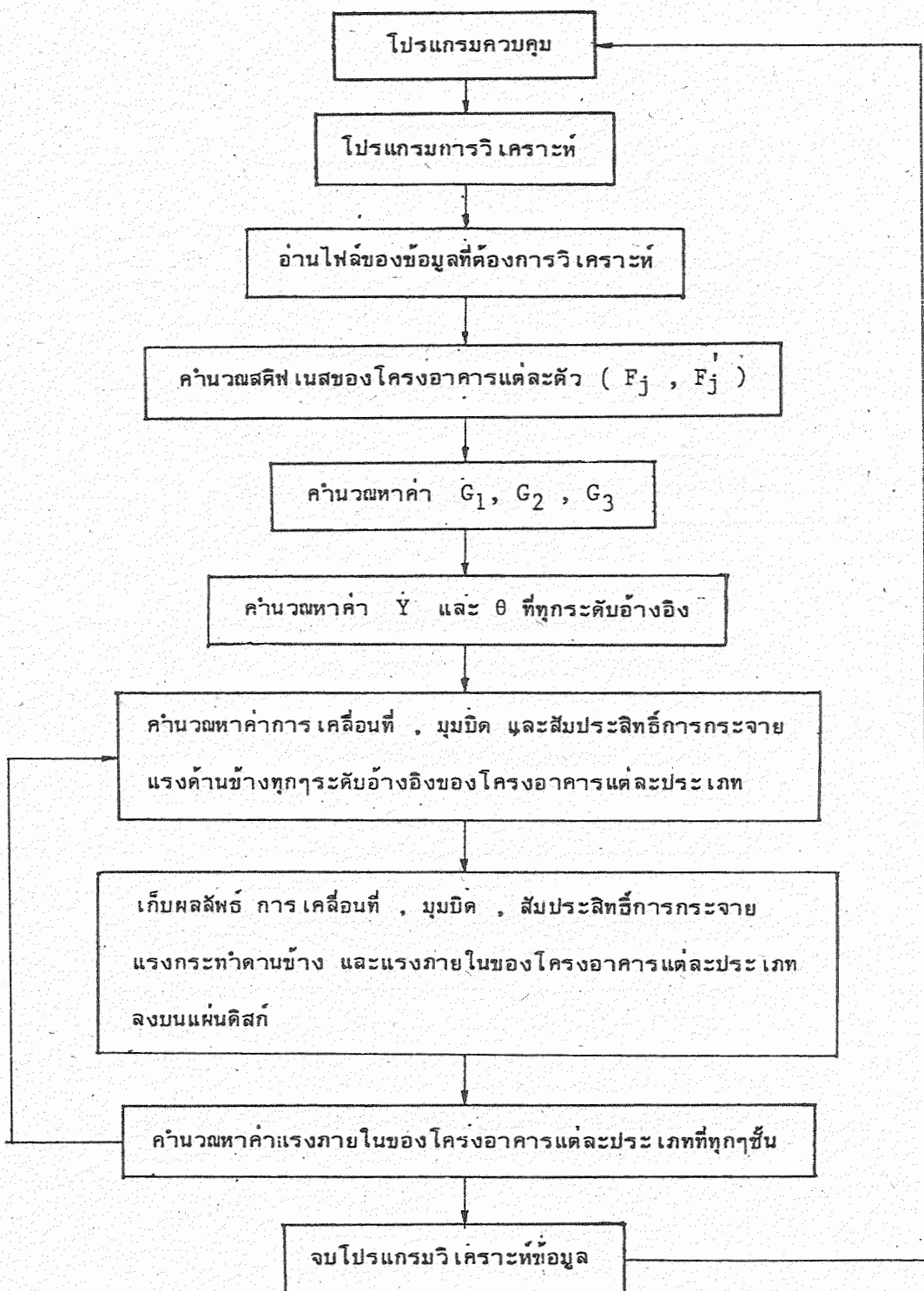
รูปที่ 12. ภาระแสดงค่าสัมประสิทธิ์ M<sub>1</sub>, M<sub>2</sub>, M<sub>3</sub> (Aspect Ratio = 2.00)



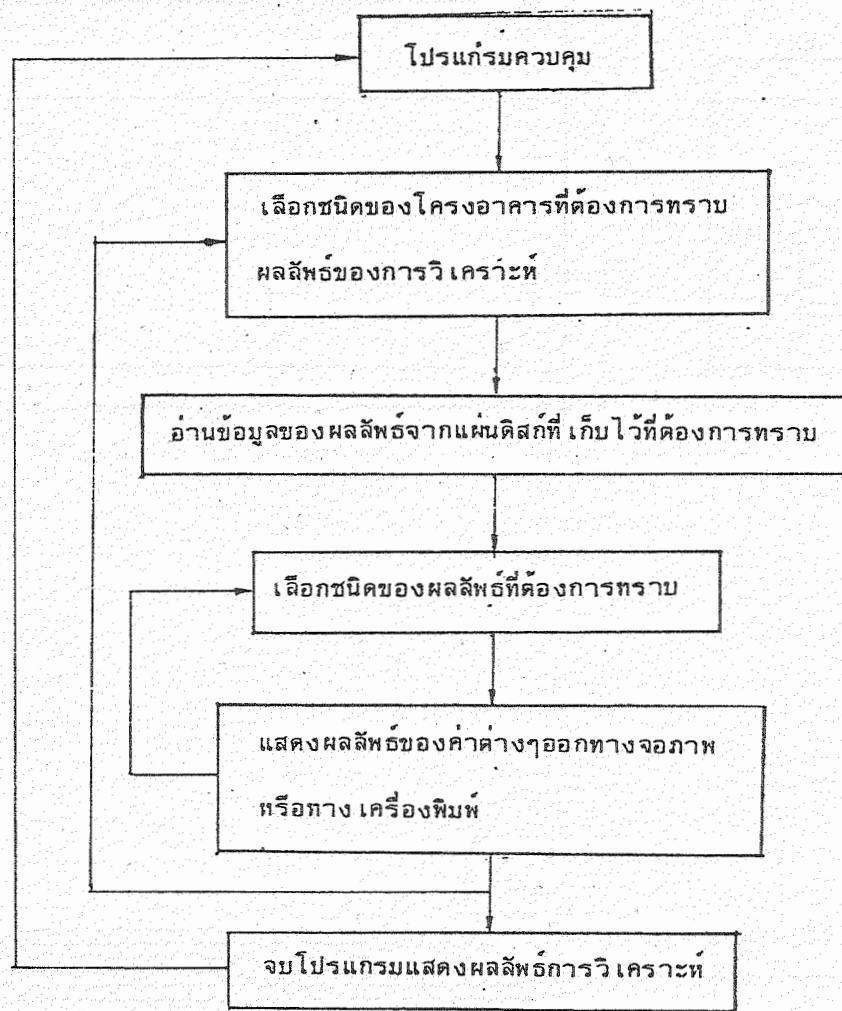
รูปที่ 13. แสดงขั้นตอนต่างๆ ของ โปรแกรมการบันทึกข้อมูล



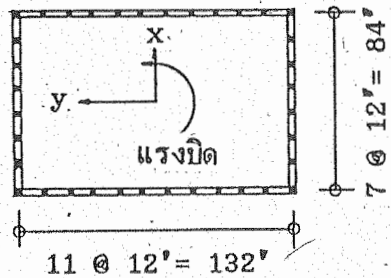
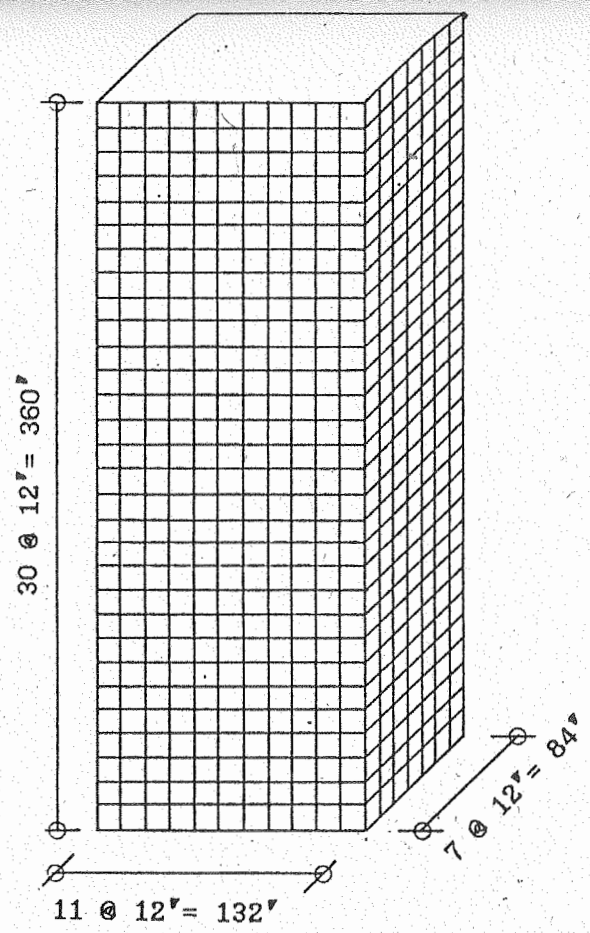
รูปที่ 14. แสดงขั้นตอนต่างๆของโปรแกรมการป้อนข้อมูลโครงการข้อแย้งรูปกล่องสีเหลืองผืนผ้า



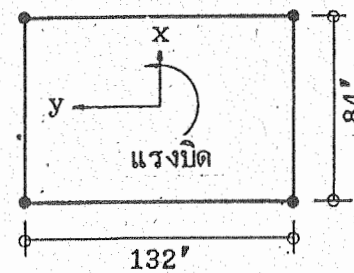
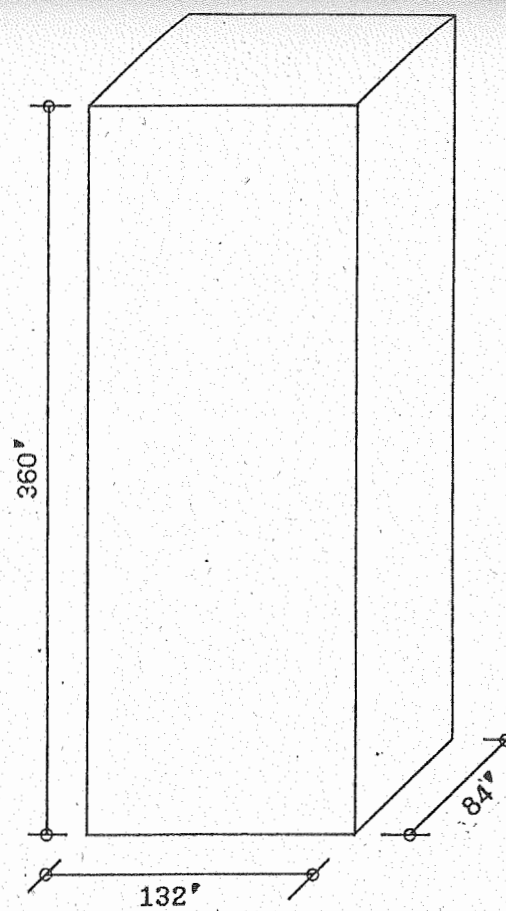
รูปที่ 15. แสดงขั้นตอนต่างๆ ของ โปรแกรมวิเคราะห์ข้อมูล



รูปที่ 16. แสดงขั้นตอนต่างๆ ของ โปรแกรมแสดงผลลัพธ์การวิเคราะห์



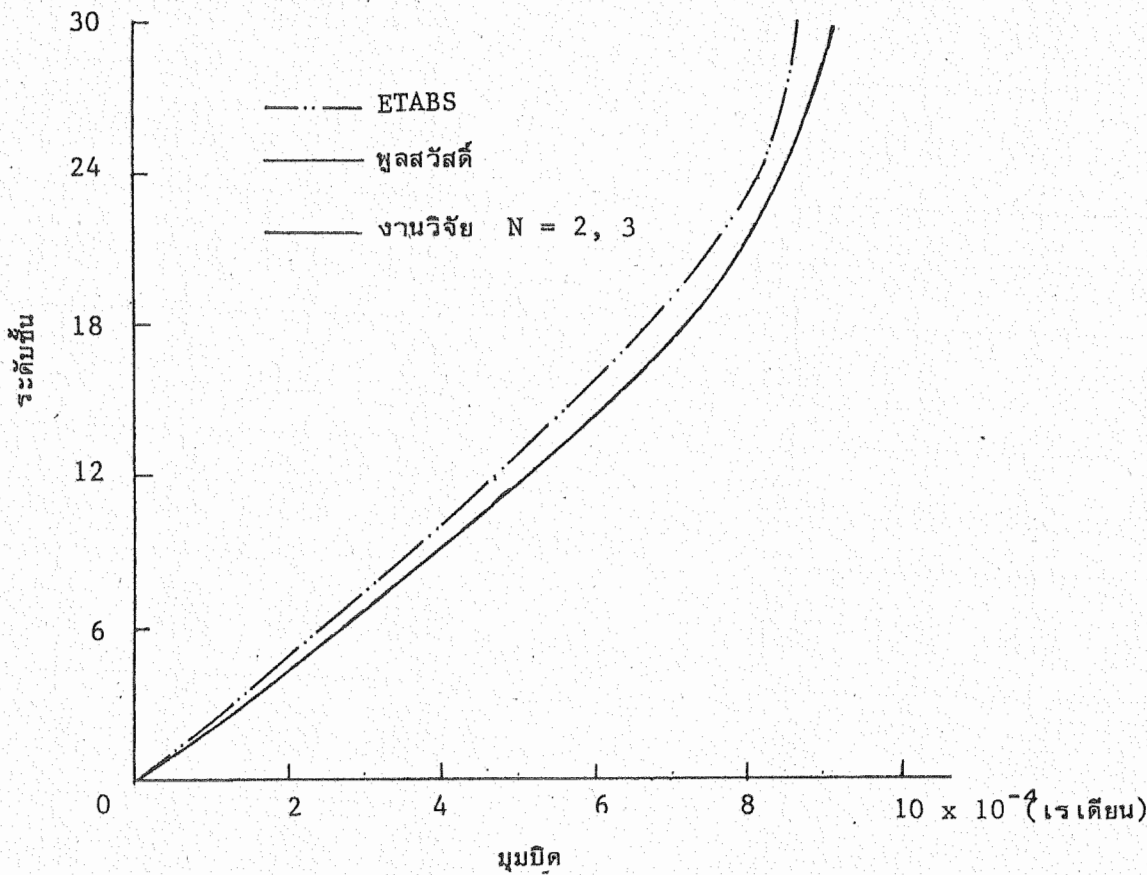
(ก)



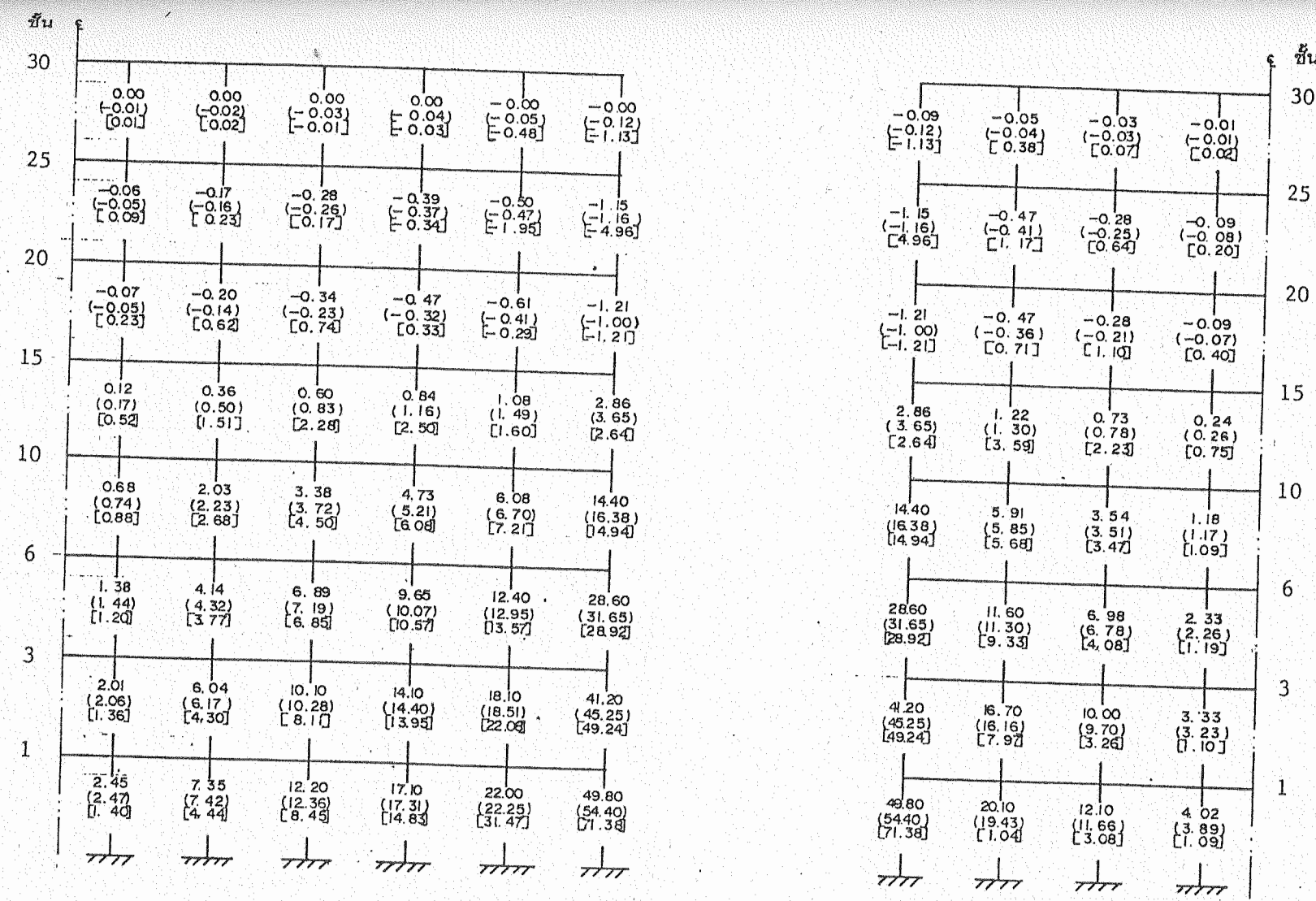
(ข)

รูปที่ 17 ก. แสดงมิติและแปลนพื้นที่ทั่วไปของโครงสร้างทึบปล่องสี่เหลี่ยมผืนผ้า (ตัวอย่างที่ 1)

ก. แสดงมิติและแปลนพื้นที่ทั่วไปของกล่องเที่ยบเทาออร์ไซกรอปิกที่ใช้ในการวิเคราะห์ (ตัวอย่างที่ 1)

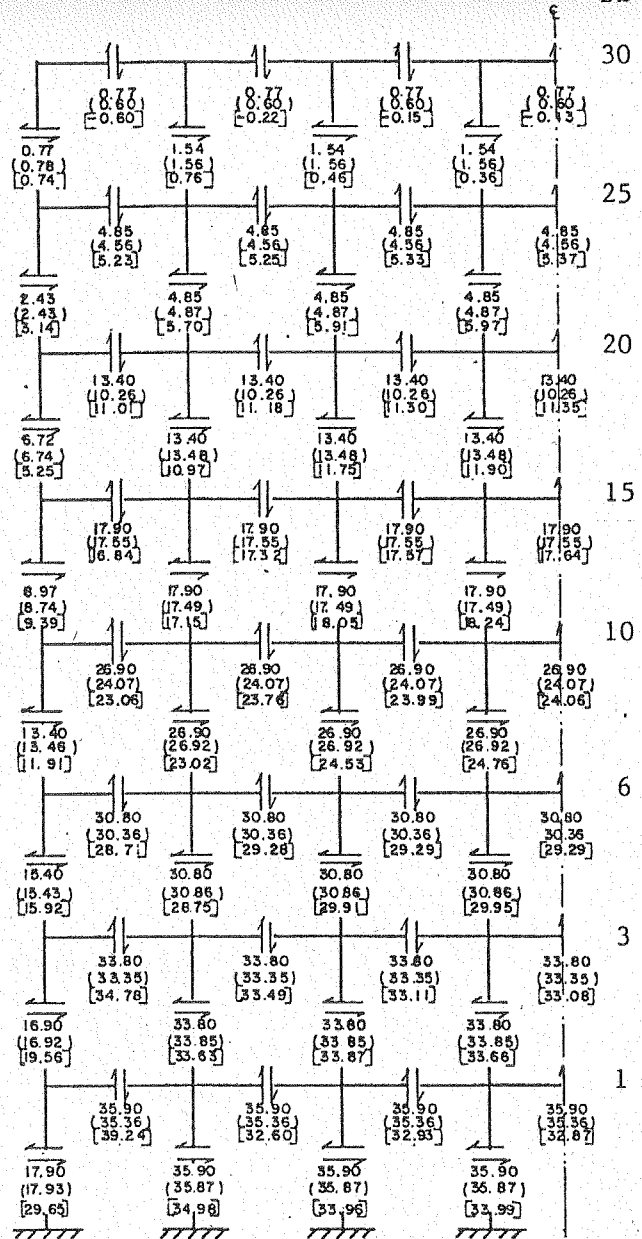
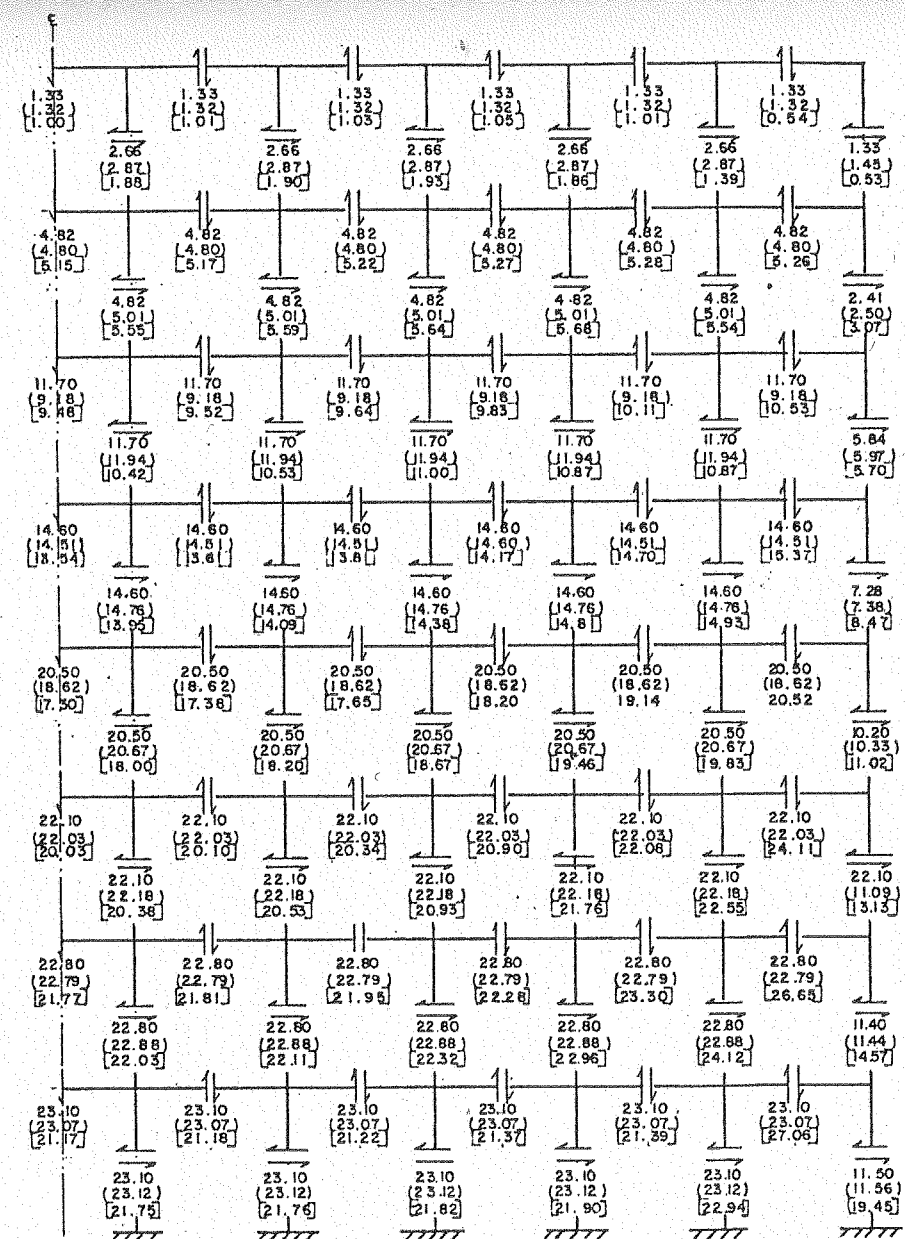


รูปที่ 18. นุ่มนิodicที่มีน้ำต่างๆ (ตัวอย่างที่ 1)



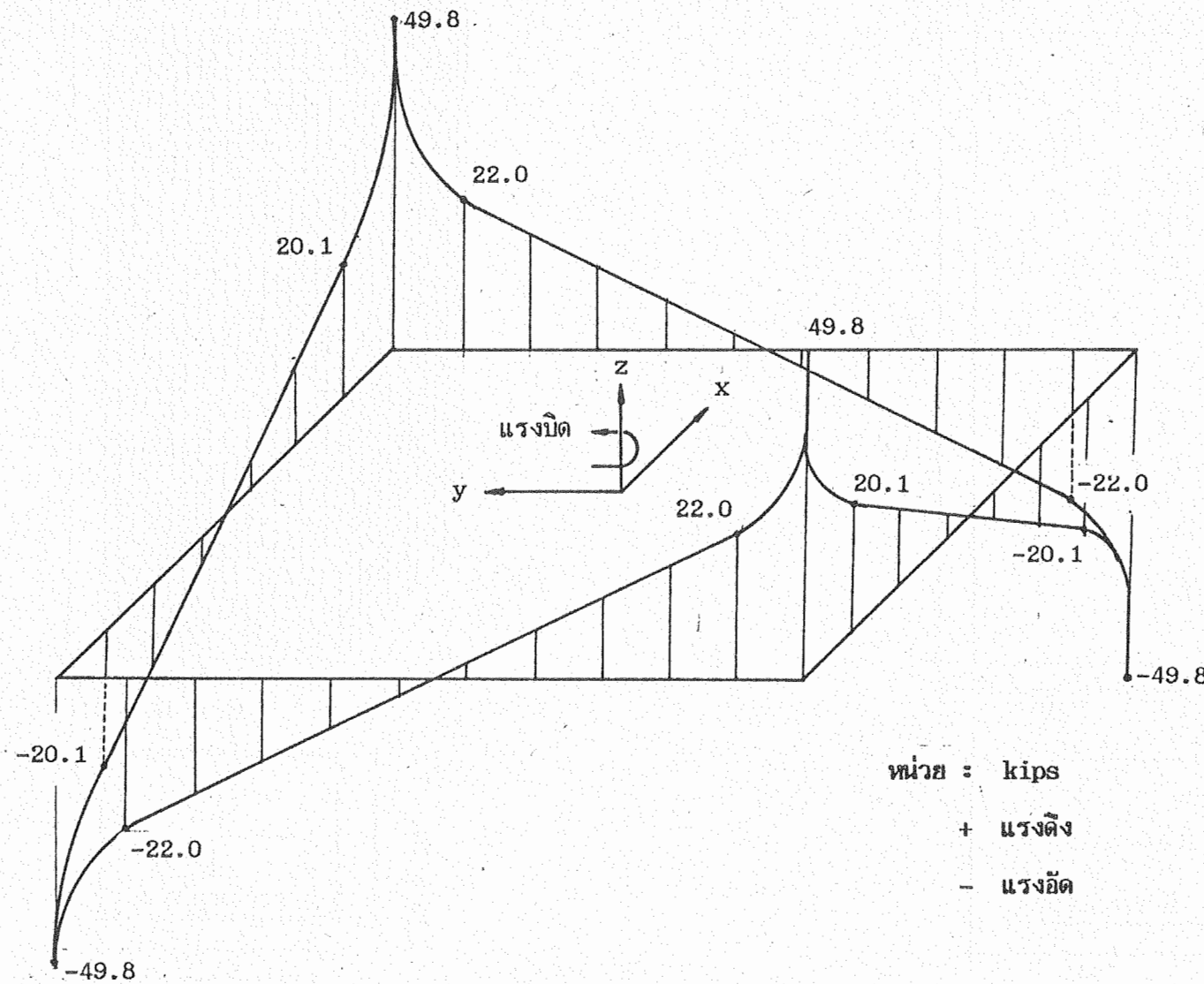
หมายเหตุ ( ) ผลลัพธ์ของมือล้วงด้วย  
[] ผลลัพธ์ของ ETABS

รูปที่ 19. แรงในแนวแกนของเสาต้นที่ 1 และ 2 ตามลำดับ (ตัวอย่างที่ 1)

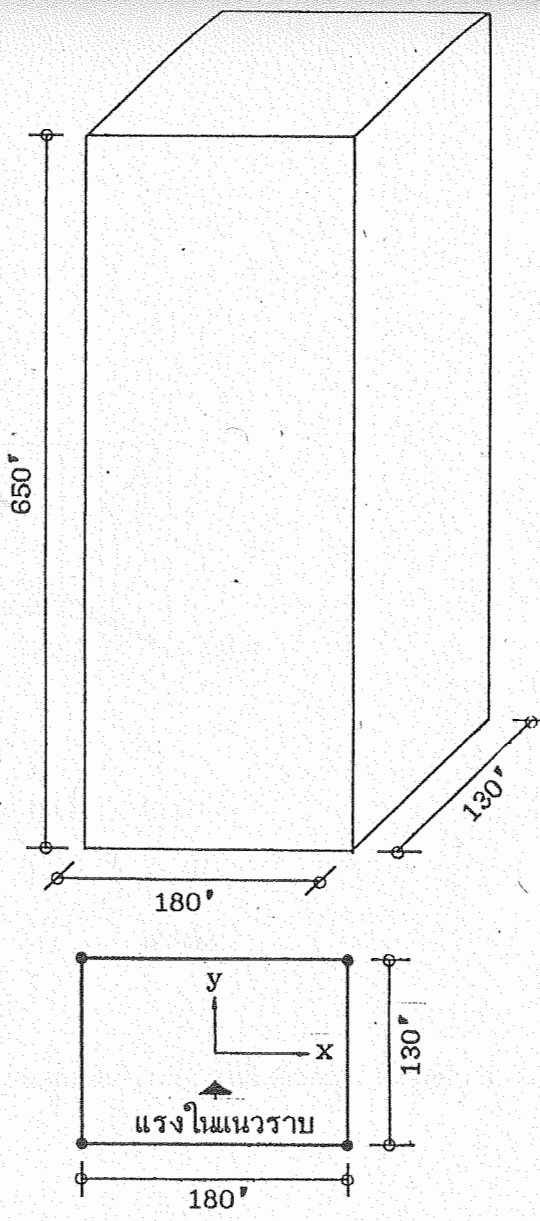
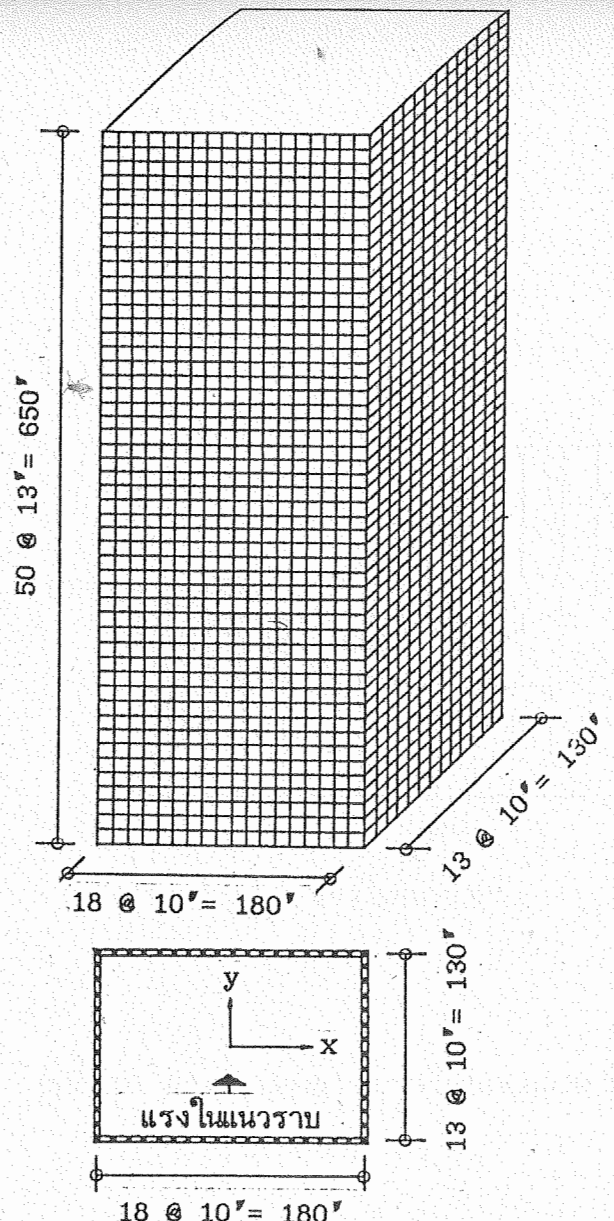


หมายเหตุ ( ) ผลลัพธ์ของผู้ล้วงรั้ง  
[ ] ผลลัพธ์ของ ETABS

รูปที่ 20. แรงเฉือนในเสาและคานของด้านที่ 1 และ 2 ตามลำดับ (ตัวอย่างที่ 1)

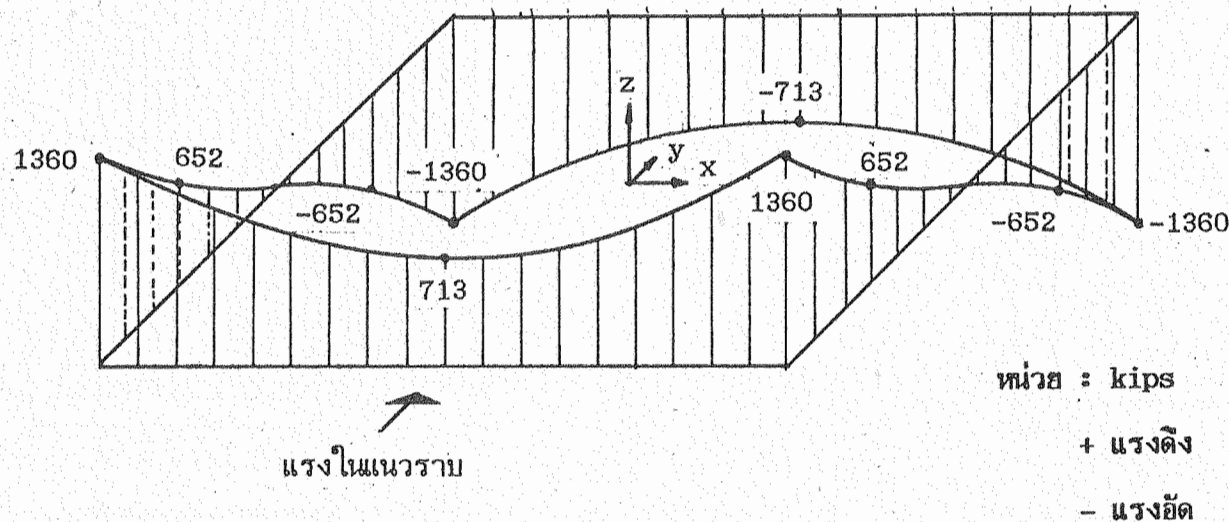


รูปที่ 21. แสดงการกระจายแรงในแนวแกนของเส้าที่เกิดขึ้นจากแรงบิดอย่างเดียวที่มีลักษณะสุด (ตัวอย่างที่ 1)

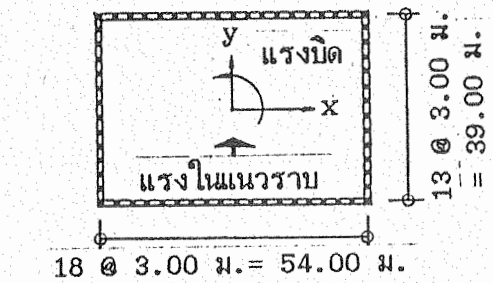
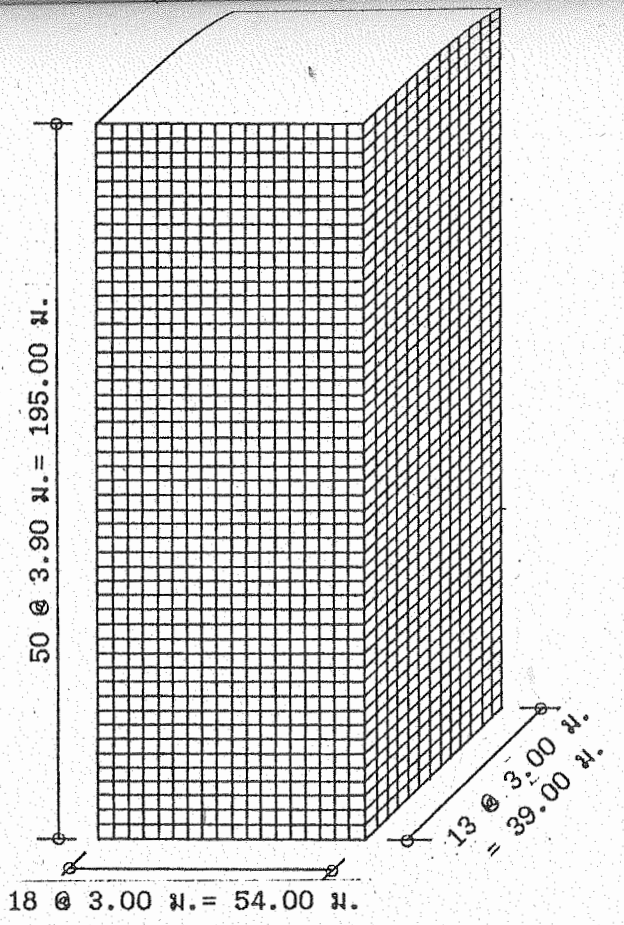


รูปที่ 22 ก. แสดงมิติและแปลนพื้นที่ทั่วไปของโครงสร้างซึ่งรูปประกอบล่องสีเหลืองผืนผ้า (ตัวอย่างที่ 2)

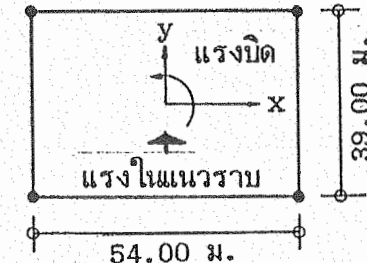
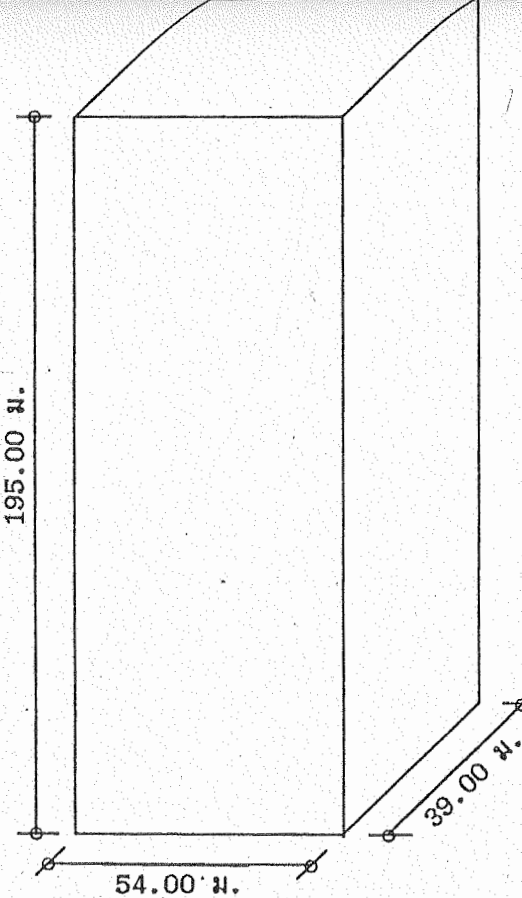
ข. แสดงมิติและแปลนพื้นที่ทั่วไปของกล่องเทาอคริลิกที่ใช้ในการวิเคราะห์ (ตัวอย่างที่ 2)



รูปที่ 23. แสดงการกระจายแรงในแนวแกนของเสาที่เกิดขึ้นจากแรงในแนวราบที่ผ่านศูนย์อย่างเดียวที่มีลักษณะ (ตัวอย่างที่ 2)



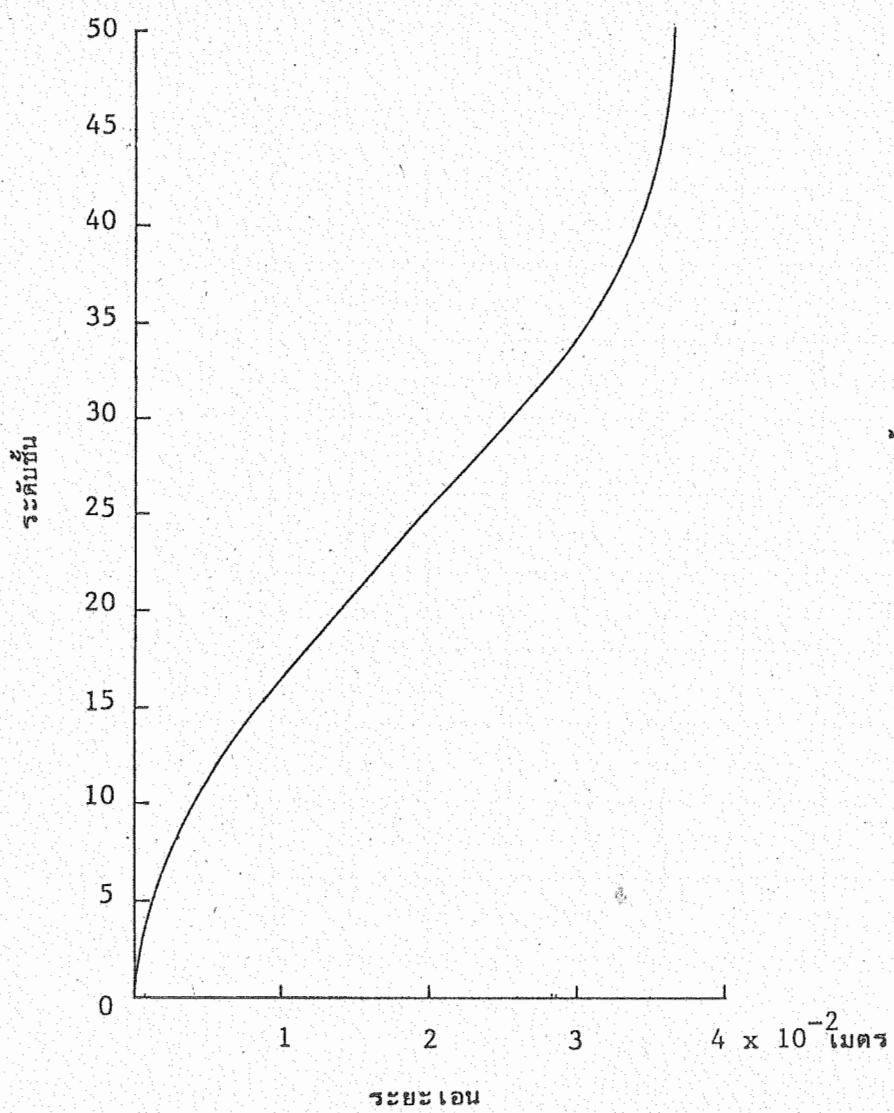
(ก)



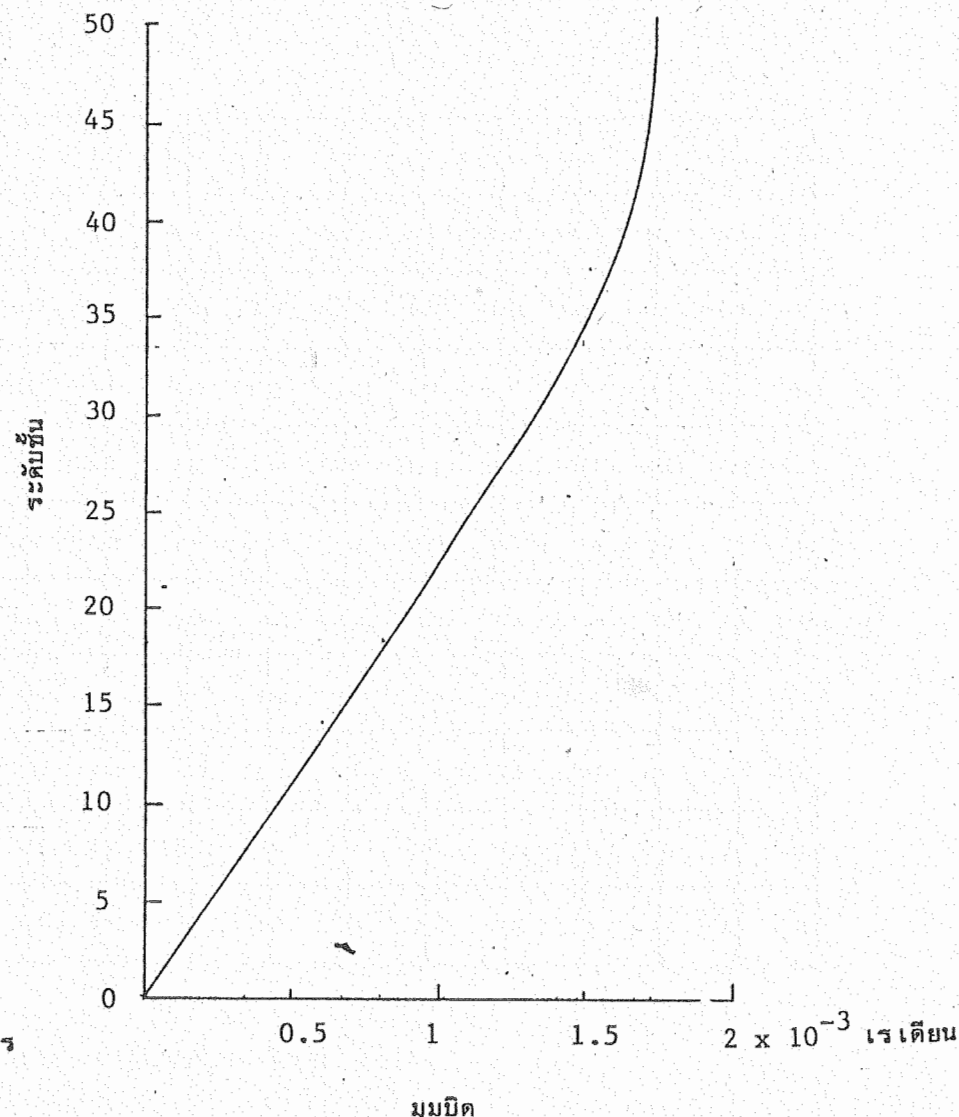
(ก)

รูปที่ 24 ก. แสดงมิติและแปลนเน้นทั่วไปของโครงสร้างทึ่งรูปกล่องสี่เหลี่ยมผืนผ้า (ตัวอย่างที่ 3)

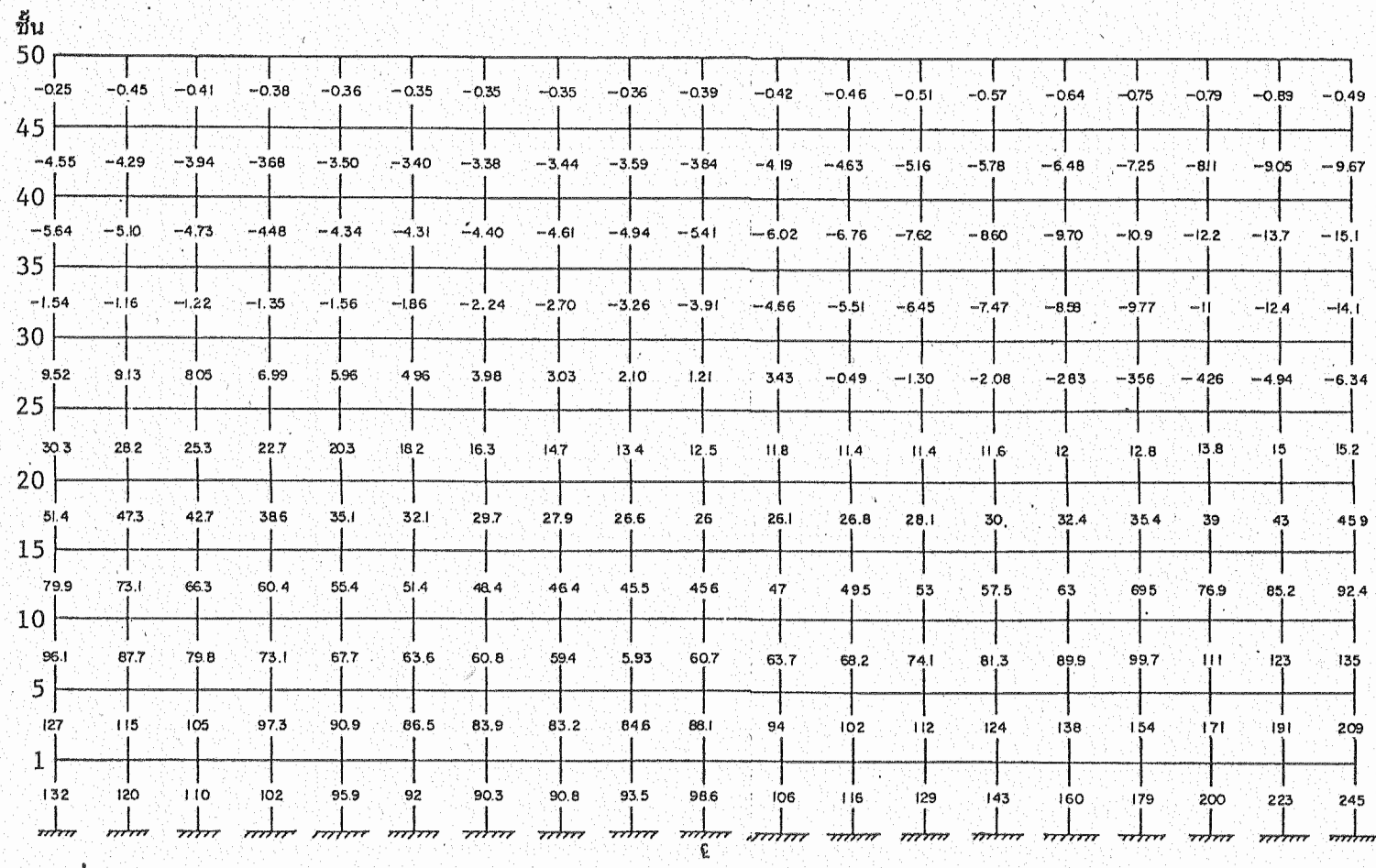
ก. แสดงมิติและแปลนเน้นทั่วไปของกล่องเที่ยบเท่าอโกร์โนกรอบบิดที่ใช้ในการวิเคราะห์ (ตัวอย่างที่ 3)



รูปที่ 25. รัฐยะเออนที่รัฐดับชั้นต่างๆ (ตัวอย่างที่ 3)

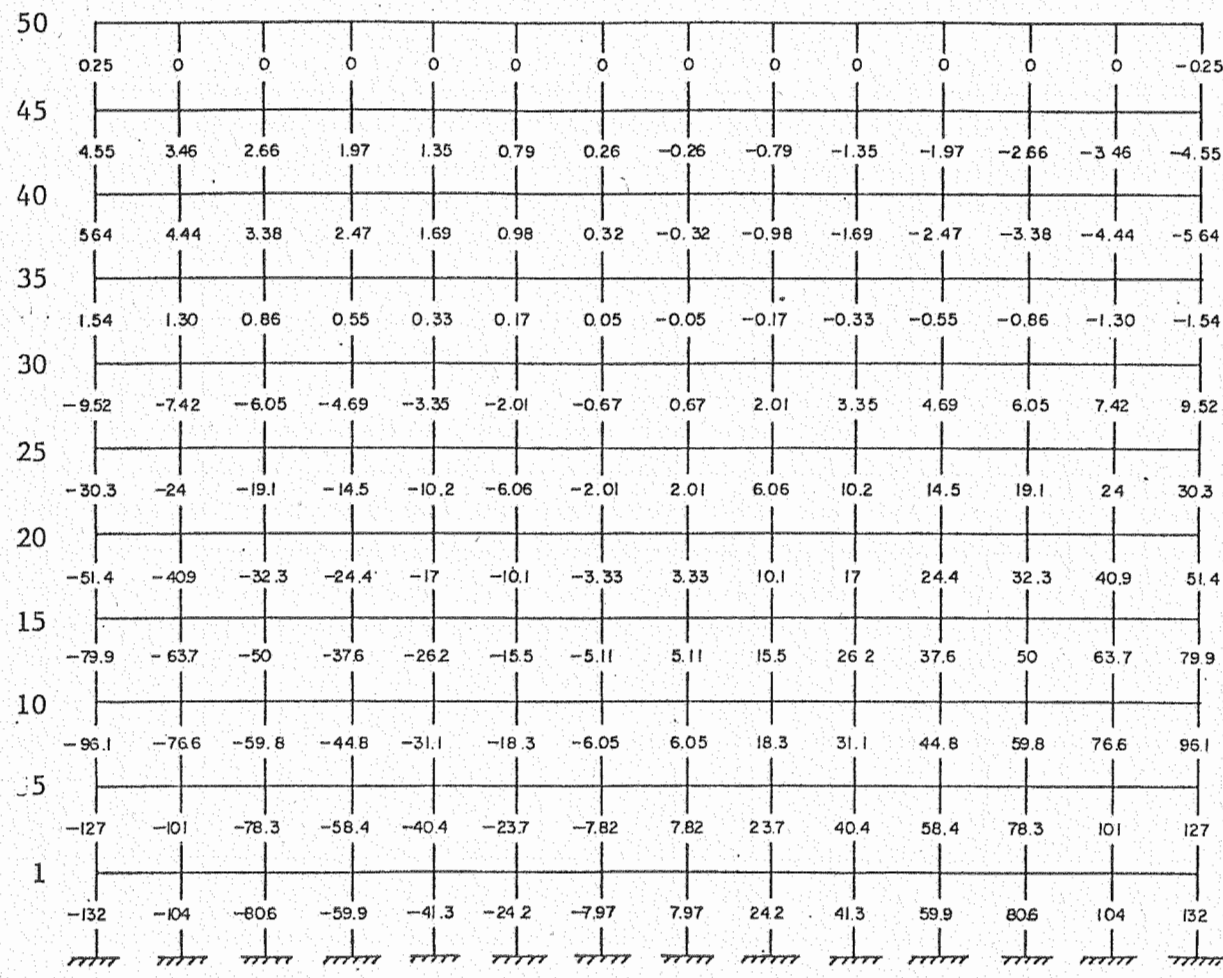


รูปที่ 26. มุนบิดที่รัฐดับชั้นต่างๆ (ตัวอย่างที่ 3)



หน่วย ตัน

รูปที่ 27 แรงโน้มถ่วงแกนของเสาต้านที่ 1 (ตัวอย่างที่ 3)



หน่วย ตัน

รูปที่ 28. แรงในแนวแกนของเสาด้านที่ 2 (ตัวอย่างที่ 3)

กม

50

0.25	0.45	0.41	0.38	0.36	0.35	0.35	0.35	0.36	0.39	0.42	0.46	0.51	0.57	0.64	0.72	0.79	0.89	0.49
------	------	------	------	------	------	------	------	------	------	------	------	------	------	------	------	------	------	------

45

4.55	4.29	3.94	3.68	3.50	3.40	3.38	3.44	3.59	3.84	4.19	4.63	5.16	5.78	6.48	7.25	8.11	9.05	9.67
------	------	------	------	------	------	------	------	------	------	------	------	------	------	------	------	------	------	------

40

5.64	5.10	4.73	4.48	4.34	4.31	4.40	4.61	4.94	5.41	6.02	6.76	7.62	8.60	9.70	10.9	12.2	13.7	15.1
------	------	------	------	------	------	------	------	------	------	------	------	------	------	------	------	------	------	------

35

1.54	1.16	1.22	1.35	1.56	1.86	2.24	2.70	3.26	3.91	4.66	5.51	6.45	7.47	8.58	9.77	11	12.4	14.1
------	------	------	------	------	------	------	------	------	------	------	------	------	------	------	------	----	------	------

30

-9.52	-9.13	-8.05	-6.99	-5.96	-4.96	-3.98	-3.03	-2.10	-1.21	-0.34	0.49	1.3	2.08	2.83	3.56	4.26	4.94	6.34
-------	-------	-------	-------	-------	-------	-------	-------	-------	-------	-------	------	-----	------	------	------	------	------	------

25

-30.3	-28.2	-25.3	-22.7	-20.3	-18.2	-16.3	-14.7	-13.4	-12.5	-11.6	-11.4	-11.4	-11.6	-12	-12.8	-13.8	-15	-15.2
-------	-------	-------	-------	-------	-------	-------	-------	-------	-------	-------	-------	-------	-------	-----	-------	-------	-----	-------

20

-51.4	-47.3	-42.7	-38.6	-35.1	-32.1	-29.7	-27.9	-26.6	-26	-26.1	-26.8	-28.1	-30	-32.4	-35.4	-39	-43	-45.9
-------	-------	-------	-------	-------	-------	-------	-------	-------	-----	-------	-------	-------	-----	-------	-------	-----	-----	-------

15

-79.9	-73.1	-66.3	-60.4	-55.4	-51.4	-48.4	-46.4	-45.5	-45.6	-47	-49.5	-53	-57.5	-63	-69.5	-76.9	-85.2	-92.4
-------	-------	-------	-------	-------	-------	-------	-------	-------	-------	-----	-------	-----	-------	-----	-------	-------	-------	-------

10

-96.1	-87.7	-79.8	-73.1	-67.7	-63.6	-60.8	-59.4	-59.3	-60.7	-63.7	-68.2	-74	-81.3	-89.9	-99.7	-111	-123	135
-------	-------	-------	-------	-------	-------	-------	-------	-------	-------	-------	-------	-----	-------	-------	-------	------	------	-----

5

-127	-115	-105	-97.3	-90.9	-86.5	-83.9	-83.2	-84.6	-88.1	-94	-102	-112	-124	-138	-154	-171	-191	-209
------	------	------	-------	-------	-------	-------	-------	-------	-------	-----	------	------	------	------	------	------	------	------

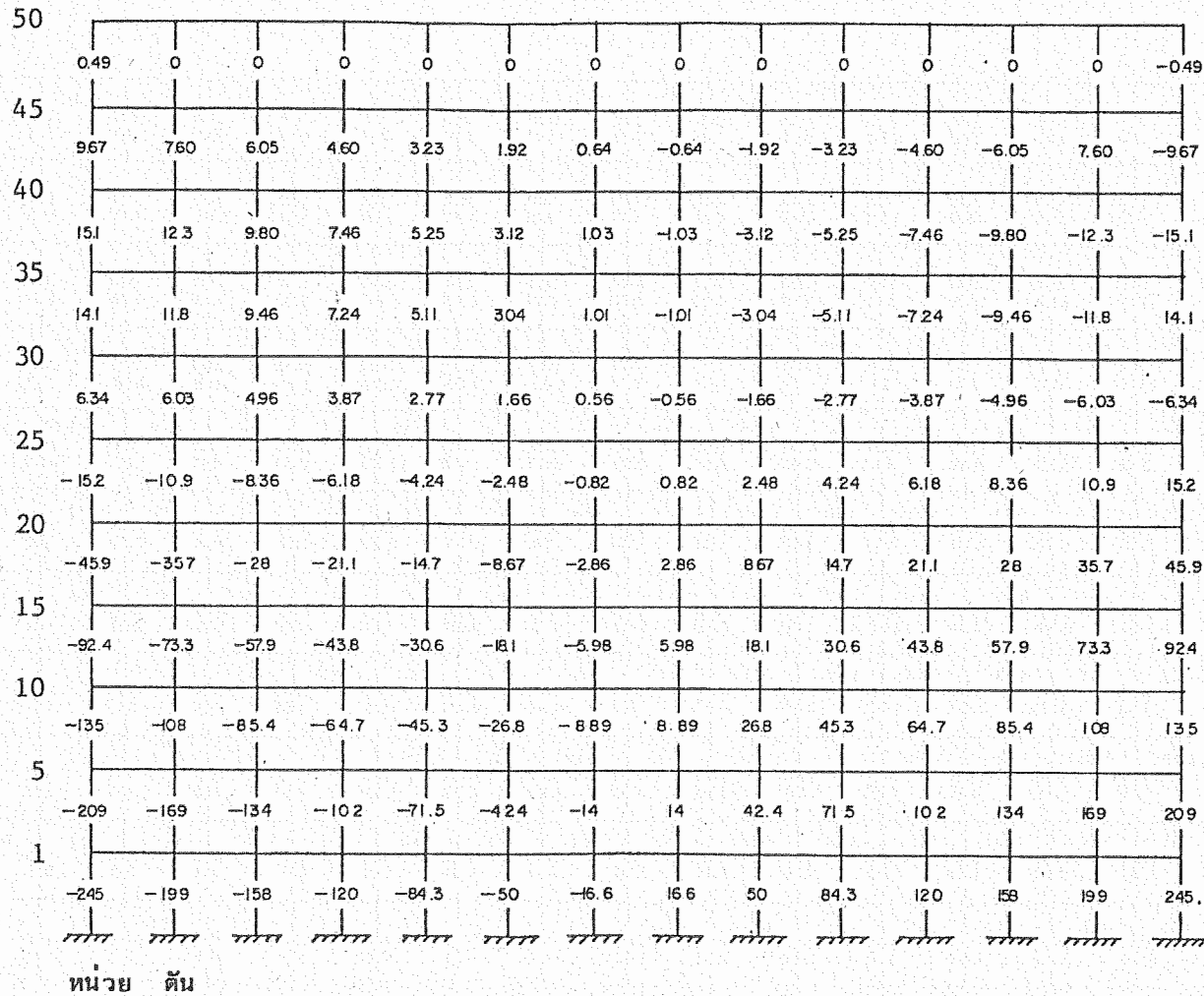
1

-132	-120	-110	-102	-95.9	-92	-90.3	-90.8	-93.5	-98.6	-106	-116	-129	-143	-160	-179	-200	-223	-245
------	------	------	------	-------	-----	-------	-------	-------	-------	------	------	------	------	------	------	------	------	------

หน่วย ตัน

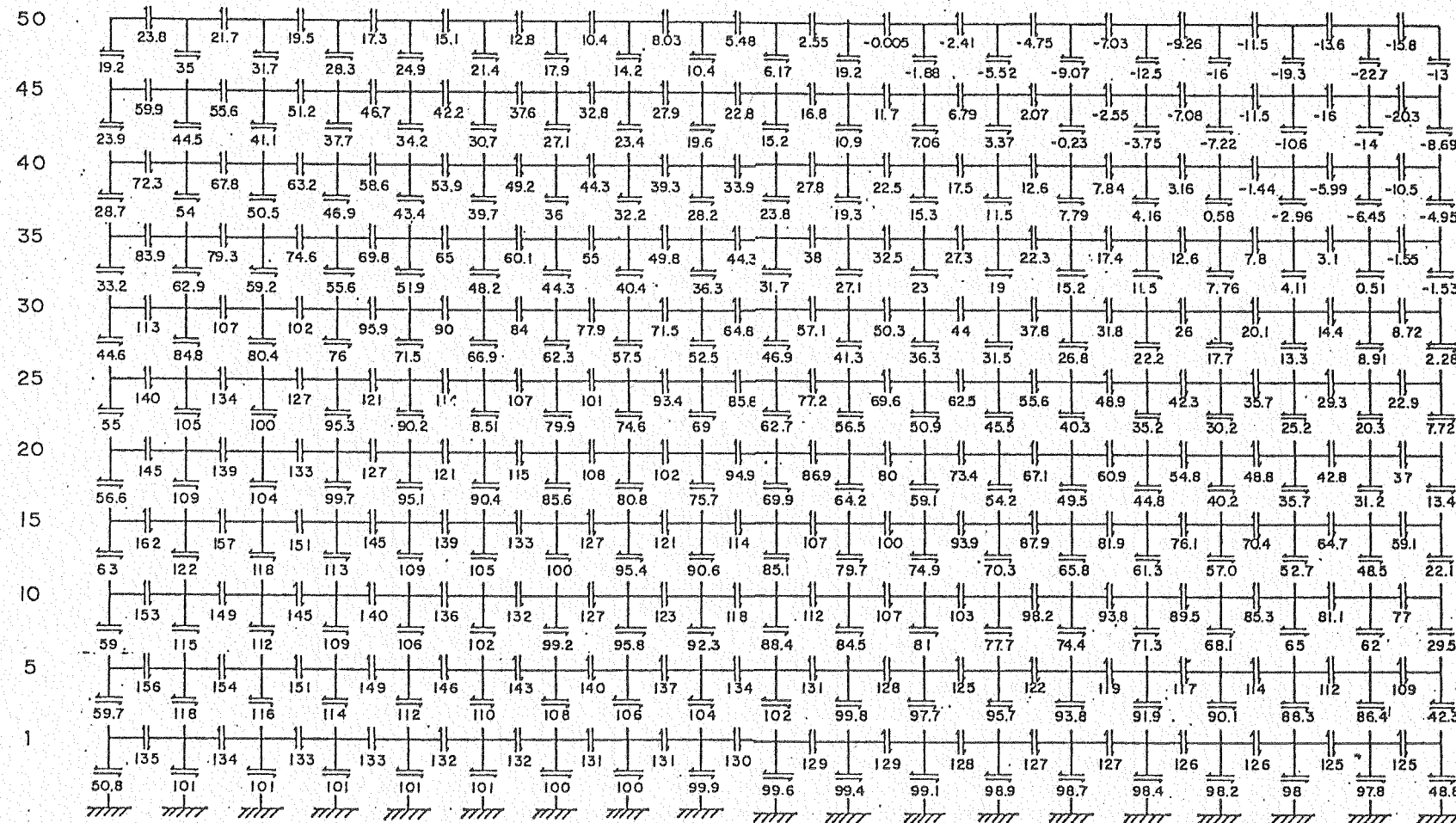
ก

รูปที่ 29. แรงโน้มถ่วงในแนวแกนของเส้นทรานส์ 3 (ตัวอย่างที่ 3)



รูปที่ 30. แรงในแนวแกนของเสาตันที่ 4 (ตัวอย่างที่ 3)

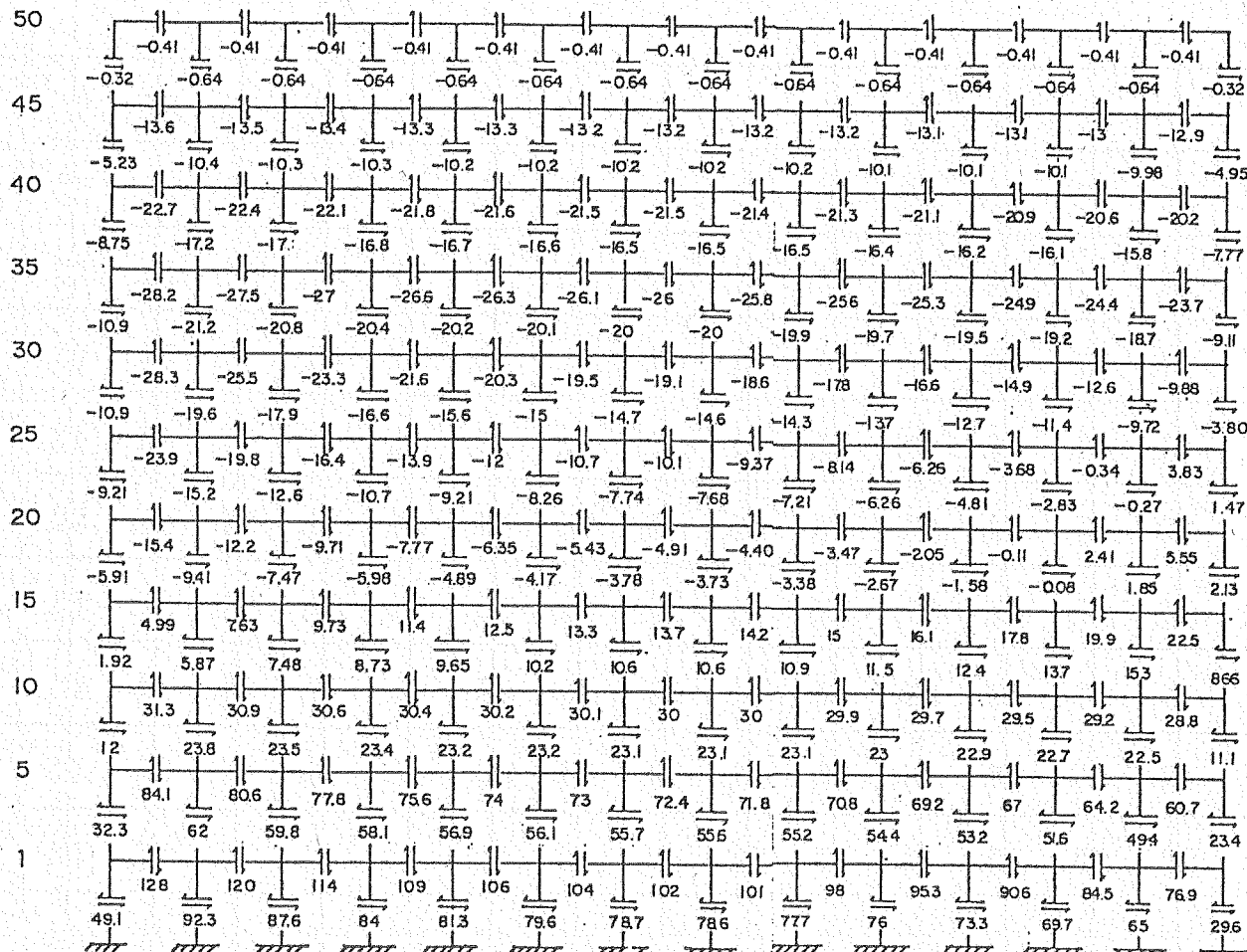
ขัน



หน่วย : ตัน

รูปที่ 31. แรงเฉือนในเสาและคานของต้านที่ 1 (ตัวอย่างที่ 3)

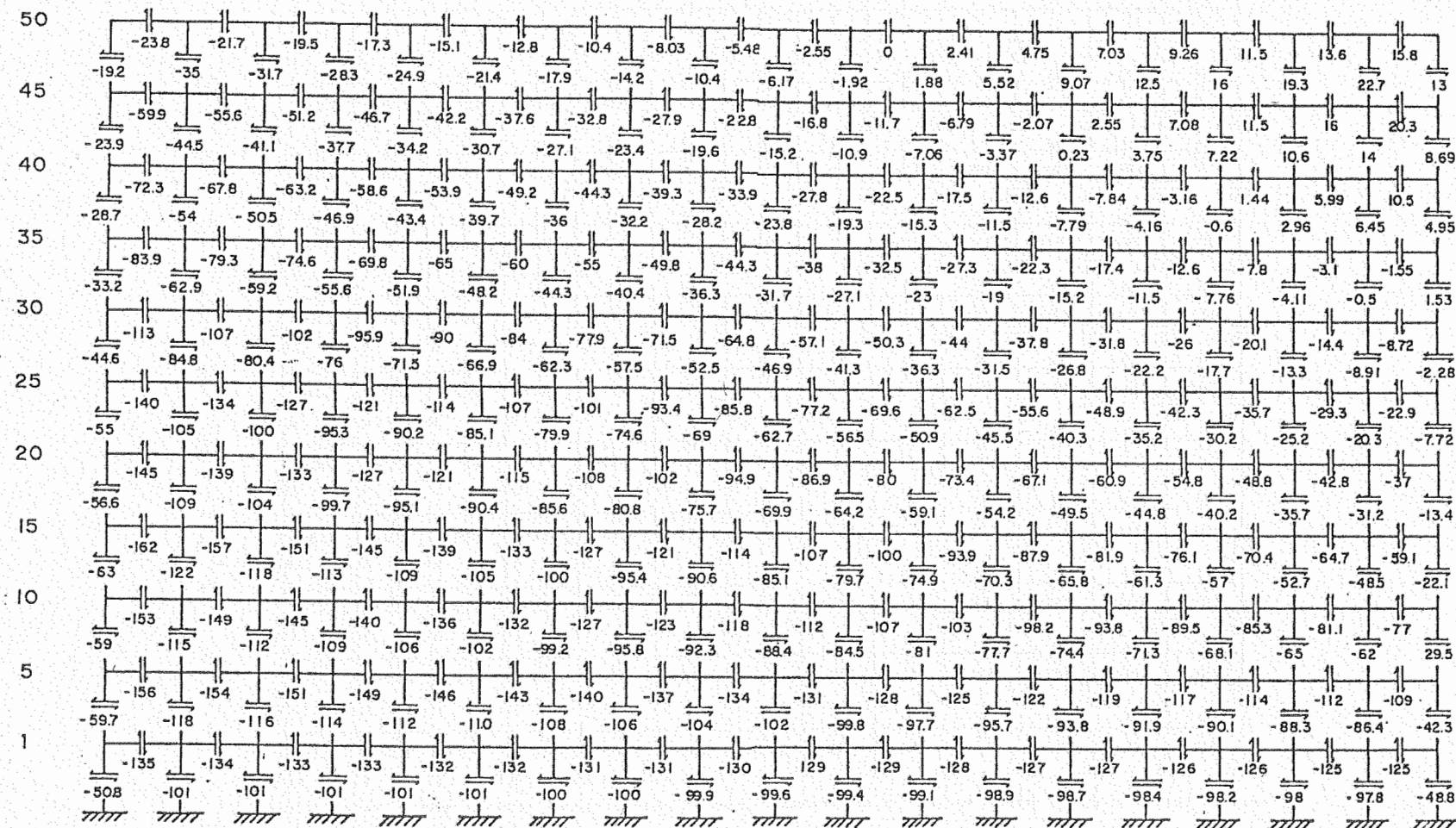
ข้อ



หน่วย : ต้น

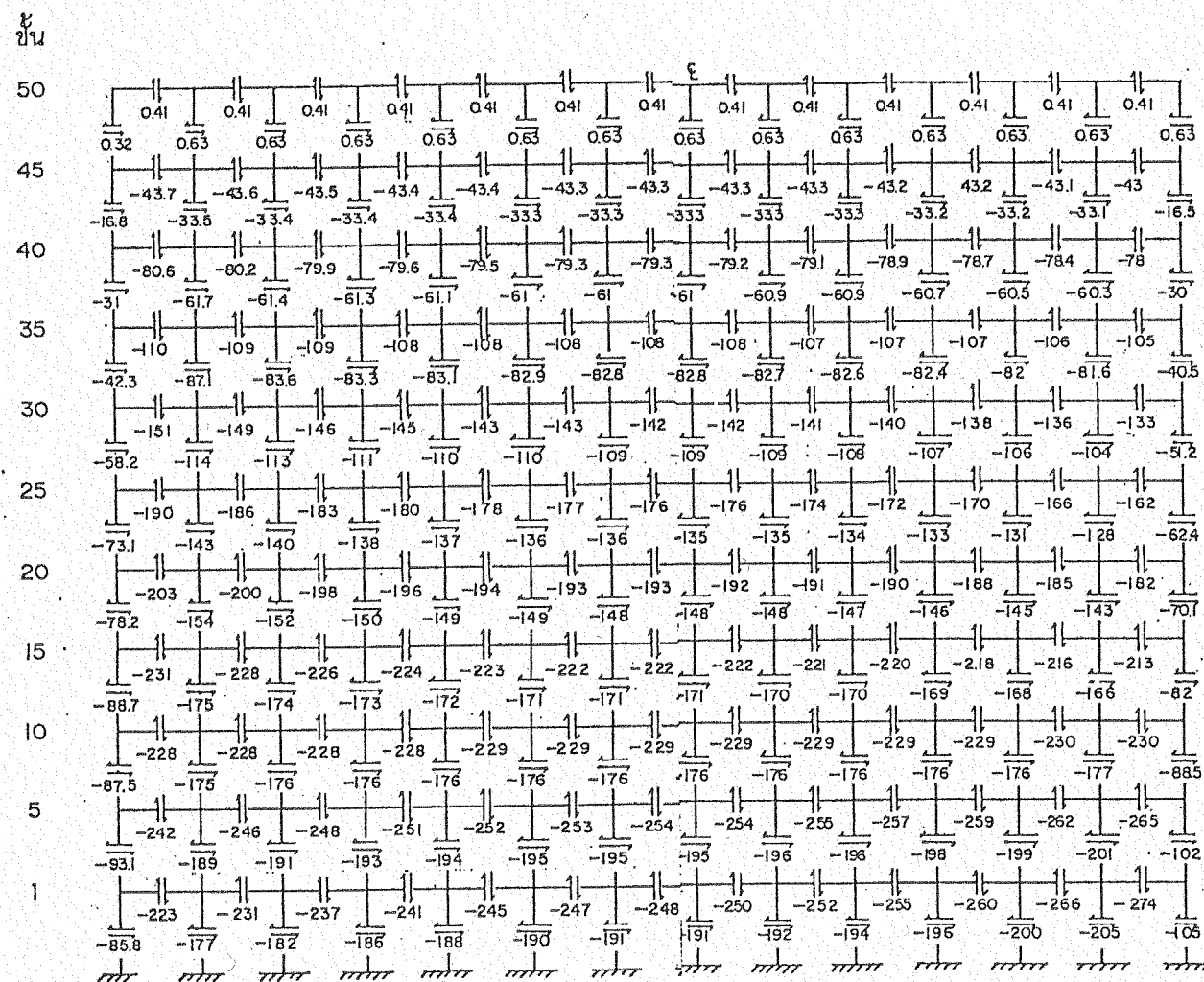
รูปที่ 32. แรงเฉือนในเสาและคานของตัวที่ 2 (ตัวอย่างที่ 3)

៩៧



หน่วย : ตัน

รูปที่ 33. แรงเฉือนในเส้นและคานของตัวที่ 3 (ตัวอย่างที่ 3)



หน่วย : ตั้น

รูปที่ 34. แรงเฉือนในเส้นและคานห้องต้านที่ 4 (ตัวอย่างที่ 3)

ตราสังฆภกอบ

ตารางที่ 1. คุณสมบัติข้อส่วนของโครงสร้างเบร็งรูปกล่องสี่เหลี่ยมผืนผ้า (ตัวอย่างที่ 1)

ชั้น	เสากายใน				เสารีดนมูม			คาน		
	$d_c$ (ฟุต)	$A_c$ (ตร.ฟุต)	$A_{rc}$ (ตร.ฟุต)	$I_c$ (ฟุต <sup>4</sup> )	$A_{cc}$ (ตร.ฟุต)	$A_{rcc}$ (ตร.ฟุต)	$I_{cc}$ (ฟุต <sup>4</sup> )	$d_b$ (ฟุต)	$A_{rb}$ (ตร.ฟุต)	$I_b$ (ฟุต <sup>4</sup> )
1-10	3.40	3.40	2.83	3.28	6.80	5.67	3.56	3.60	3.00	3.68
11-20	3.20	3.20	2.67	2.73	6.40	5.33	2.92	3.40	2.83	3.28
21-30	2.80	2.80	2.33	1.83	5.60	4.67	2.06	2.80	2.33	1.83

ตารางที่ 2. คุณสมบัติต่างๆของกล่องเที่ยบเท่าออร์โนกรอปิคที่ใช้ในการวิเคราะห์ (ตัวอย่างที่ 1)

ชั้น	ด้านที่ 1 (ด้านตั้งจากกับพืศของแรงกระทำ)			ด้านที่ 2 (ด้านขนานกับพืศของแรงกระทำ)			มุมกล่องเที่ยบเท่า	
	$E_1$ (ksf)	$G_1$ (ksf)	$t_1$ (ft.)	$E_2$ (ksf)	$G_2$ (ksf)	$t_2$ (ft.)	$E_c$ (ksf)	$A_{cc}$ (ft <sup>2</sup> )
1-10	625,000	36,095	0.323	654,761	37,814	0.309	639,880	3.003
11-20	610,465	31,538	0.305	639,534	33,039	0.291	625,000	2.826
21-30	570,652	20,834	0.267	597,826	21,826	0.255	584,239	2.473

ตารางที่ 3. แสดงค่า Stiffness Factor และ Shear Lag Parameter (ตัวอย่างที่ 1)

ชั้น	Stiffness Factor $(12I_b h / A_c d^3)$	Shear Lag Parameter $(G_{zs} / E_z)$
1-10	0.10	0.058
11-20	0.08	0.052
21-30	0.05	0.036

ตารางที่ 4. แสดงค่ามุนปิดที่จุดยอดสุดของโครงสร้างแข็งรูปกล่องสี่เหลี่ยมผืนผ้า (ตัวอย่างที่ 1)

มุนปิดที่จุดยอดสุด ( $1 \times 10^{-4}$ เรเดียน)				งานวิจัยนี้ (N=3) ETABS
ETABS	ผลสวัสดิ์	งานวิจัยนี้ (N=2)	งานวิจัยนี้ (N=3)	
8.60	9.00	9.09	9.09	1.056.

ตารางที่ 5. ไมเมเนต์ดคงของเสาตัวอย่างด้านที่ 1 (ตัวอย่างที่ 1)

ชั้น	ไมเมเนต์ปลายบน			ไมเมเนต์ปลายล่าง		
	ETABS	ผลสวัสดิ์	งานวิจัยนี้ (N=3)	ETABS	ผลสวัสดิ์	งานวิจัยนี้ (N=3)
30	-2.82	3.59	3.54	3.94	-3.59	-3.54
25	16.05	11.18	11.18	-12.83	-11.18	-11.18
20	22.57	30.00	28.90	-23.06	-30.00	-28.90
15	42.31	37.58	38.57	-39.37	-37.58	-38.57
10	49.75	56.53	56.28	-50.26	-56.53	-56.28
6	68.04	64.81	64.68	-65.69	-64.81	-64.68
3	82.22	71.06	70.98	-82.04	-71.06	-70.98
1	83.73	75.31	75.18	-165.31	-107.58	-107.40

ตารางที่ 6. ค่าสมมติฐานส่วนของโครงสร้างรูปกล่องสี่เหลี่ยมผืนผ้า (ตัวอย่างที่ 2)

บัน	เสากายใน				เสาต์มุม			คาน			Stiffness Factor
	$d_c$ (ฟุต)	$A_c$ (ตร.ฟุต)	$A_{rc}$ (ตร.ฟุต)	$I_c^4$ (ฟุต $^4$ )	$A_{cc}$ (ตร.ฟุต)	$A_{hcc}$ (ตร.ฟุต)	$I_{cc}^4$ (ฟุต $^4$ )	$d_b$ (ฟุต)	$A_{rb}$ (ตร.ฟุต)	$I_b^4$ (ฟุต $^4$ )	
1-5	1.073	6.750	5.625	22.280	6.750	5.625	22.280	5.080	8.420	21.800	0.530
6-20	0.829	5.625	4.690	21.557	5.625	4.690	21.557	5.080	6.940	17.940	0.525
21-25	0.730	4.979	4.149	19.290	4.979	4.149	19.290	5.000	6.125	15.910	0.525
26-35	0.610	4.271	3.560	17.506	4.271	3.560	17.506	5.000	5.440	13.600	0.520
36-50	0.500	3.542	2.950	14.805	3.542	2.950	14.805	5.000	4.360	11.285	0.520

หมายเหตุ Aspect Ratio เป็นอัตราส่วนความยาวของด้านตั้งฉากต่อด้านข้างกับทิศของแรงกระทำด้านข้าง  
(Aspect Ratio = 1.385)

ตารางที่ 7. คุณสมบัติต่างๆของกล่องเที่ยบเท่าออร์โกรอปิคท์ใช้ในการวินิจฉัย (ตัวอย่างที่ 2)

ชั้น	ด้านที่ 1 (ด้านตั้งฉากกับพื้นของแรงกระทำ)			ด้านที่ 2 (ด้านขนานกับพื้นของแรงกระทำ)			มุมกล่องเที่ยบเท่า	
	$E_1$ (ksf)	$G_1$ (ksf)	$t_1$ (ft.)	$E_2$ (ksf)	$G_2$ (ksf)	$t_2$ (ft.)	$E_c$ (ksf)	$A_{cc}$ (ft <sup>2</sup> )
1-5	821,536	130,560	0.675	821,536	130,560	0.675	—	—
6-20	821,018	141,766	0.563	821,018	141,766	0.563	—	—
21-25	822,576	142,856	0.498	822,576	142,856	0.498	—	—
26-35	812,398	146,522	0.427	812,398	146,522	0.427	—	—
36-50	820,707	148,948	0.354	820,707	148,948	0.354	—	—

ตารางที่ 8. การเปรียบเทียบผลลัพธ์ของแรงในแนวแกนของเสาด้านที่ 1 (ตัวอย่างที่ 2)

ตำแหน่งเสา จากขอบ	แรงในแนวแกนของเสาด้านที่ 1 ที่มีลักษณะสุด (Kips) (ด้านที่ตั้งจากกับทิศของแรงกระทำ)				งานวิจัยที่ N=3 <u>Actual</u>
	Actual	KHAN	สุธรรม	งานวิจัยที่ N=3 <u>Actual</u>	
0	1,583	1,660	1,657	1,360	0.86
1	1,426	1,530	1,524	1,240	0.87
2	1,237	1,280	1,398	1,120	0.91
3	1,100	1,150	1,281	1,020	0.93
4	1,001	1,020	1,169	926	0.93
5	929	900	1,067	852	0.92
6	877	830	974	793	0.90
7	841	830	893	750	0.89
8	818	830	827	723	0.88
9	806	795	787	713	0.88

ตารางที่ 9. การเปรียบเทียบผลรวมของแรงเฉือนในคาน 5 ชิ้นแรกด้านที่ 2 (ตัวอย่างที่ 2)

ลำดับ ตำแหน่งคาน	Actual	KHAN	สุ่ม	งานวิจัยนี้ (N=3)	งานวิจัยนี้ (N=3)
					Actual
1	1,954	2,340	2,313	2,295	1.17
2	2,257	2,620	2,570	2,511	1.11
3	2,450	2,750	2,768	2,684	1.09
4	2,565	2,810	2,914	2,818	1.09
5	2,640	2,850	3,013	2,915	1.10
6	2,690	2,850	3,048	2,978	1.11
7	2,700	2,850	3,065	3,013	1.12

ตารางที่ 10. ค่าสมมติฐานส่วนของโครงสร้างทึ่งรูปกล่องสี่เหลี่ยมผืนผ้า (ตัวอย่างที่ 3)

ชั้น	เสาภายใน				เสาตัวเมฆ			คาน			S.F.	S.L.
	$d_c$ (ม.)	$A_c$ (ตร.ม.)	$A_{rc}$ (ตร.ม.)	$I_c^4$ (ม <sup>4</sup> )	$A_{cc}$ (ตร.ม.)	$A_{rcc}$ (ตร.ม.)	$I_{cc}^4$ (ม <sup>4</sup> )	$d_b$ (ม.)	$A_{rb}$ (ตร.ม.)	$I_b^4$ (ม <sup>4</sup> )		
1-5	0.32	0.61	0.51	0.180	0.61	0.51	0.180	1.50	0.76	0.177	0.530	0.160
6-20	0.25	0.51	0.43	0.175	0.51	0.43	0.175	1.50	0.63	0.145	0.525	0.166
21-25	0.22	0.45	0.38	0.156	0.45	0.38	0.156	1.50	0.55	0.129	0.525	0.166
26-35	0.18	0.38	0.32	0.142	0.38	0.32	0.142	1.50	0.49	0.110	0.520	0.172
36-50	0.15	0.32	0.27	0.119	0.32	0.27	0.119	1.50	0.39	0.090	0.520	0.169

หมายเหตุ

S.F. = Stiffness Factor

S.L. = Shear Lag Parameter

ตารางที่ 11. คุณสมบัติทางกายภาพกล่องเที่ยบเท่าออร์ไกการบินที่ใช้ในการวิเคราะห์ (ตัวอย่างที่ 3)

ชั้น	ด้านที่ 1 (ด้านตั้งจากกับทิศของแรงกระทำ)			ด้านที่ 2 (ด้านหันกับทิศของแรงกระทำ)			มุมกล่องเที่ยบเท่า	
	$E_1$ (ตัน/ตร.ม.)	$G_1$ (ตัน/ตร.ม)	$t_1$ (ม.)	$E_2$ (ตัน/ตร.ม)	$G_2$ (ตัน/ตร.ม)	$t_2$ (ม.)	$E_c$ (ตัน/ตร.ม.)	$A_{cc}$ (ตร.ม.)
1-5	3,737,500	599,721	0.203	3,737,500	599,721	0.203	—	—
6-20	3,737,500	623,387	0.170	3,737,500	623,387	0.170	—	—
21-25	3,737,500	623,937	0.150	3,737,500	623,937	0.150	—	—
26-35	3,737,500	642,050	0.127	3,737,500	642,050	0.127	—	—
36-50	3,737,500	632,744	0.107	3,737,500	632,744	0.107	—	—

**ภาคผนวก**

## ภาคหน่วย ก.

วิธีการหาค่าต่างๆ ที่ใช้ในการวิเคราะห์ของกล่องเที่ยบเท่าออร์ไฮกรอปิค

### ก.1 โมดูลัสซีดหยุ่นของกล่องเที่ยบเท่าออร์ไฮกรอปิค

นิจารณาหน่วยของ โครงข้อแข็งภายในแรงกระทำในแนวแกน P (รูปที่ 5)

ดังนี้ค่าการเคลื่อนที่ในแนวแกน  $\Delta_{ap}$  (นิพัจารณา Deformation ของจุดต่อในส่วนที่ 2) จะได้ว่า

$$\Delta_{ap} = P(h-d_b)/(A_c E) \quad (\text{ก.1.1})$$

โดยที่  $h$  = ความสูงของชั้น

$d_b$  = ความลึกของคาน

$A_c$  = พื้นที่หน้าตัดของเสา

$E$  = โมดูลัสซีดหยุ่นขององค์อาคารของ โครงข้อแข็งรูปกล่องสี่เหลี่ยมผืนผ้า สำหรับผังบางเที่ยบเท่า (เส้นประในรูปที่ 5) ที่มีขนาด  $h \times d \times t$

การเคลื่อนที่ในแนวแกนของผังบางเที่ยบเท่า  $\Delta_{ap}$  จะสามารถหาได้ว่า

$$\Delta_{ap} = Ph/(tdE_z) \quad (\text{ก.1.2})$$

โดยที่  $d$  = ระยะห่างของช่วงเสา

$t$  = ความหนาของผังบางเที่ยบเท่า หาได้จากการเที่ยบเท่าพื้นที่หน้าตัด ของผังบางเที่ยบเท่า กับพื้นที่หน้าตัดของเสาของหน่วย

โครงข้อแข็ง

เพื่อหาค่า โมดูลัสซีดหยุ่นของกล่องเที่ยบเท่าออร์ไฮกรอปิค สูตร (ก.1.1)

เท่ากับสูตร (ก.1.2) ดังนี้จะได้ว่า

$$E_z = EA_c / [(1-d_b/h)td] \quad (\text{ก.1.3})$$

โครงข้อแข็งรูปกล่องสี่เหลี่ยมผืนผ้าที่มีเสาตันมุนใหญ่กว่าเสาอ่อนน้อกที่อยู่ภายใน โดยที่พื้นที่หน้าตัดบางส่วนของเสาตันมุนจะเป็นส่วนหนึ่งของกล่องเที่ยบเท่าออร์ไฮกรอปิค  $A_{cp}$

ดังนี้พื้นที่ส่วนนี้เมื่อว่ารับแรงในแนวแกนและแรงเฉือนเท่ากัน จะได้ว่า

$$A_{cp} = 0.5(t_1d_1 + t_2d_2) \quad (\text{ก.1.4})$$

โดยที่  $t_1, t_2$  = ความหนาของผังบางเทียบเท่าของด้านที่ 1 และ 2 ตามลำดับ

$d_1, d_2$  = ระยะห่างช่วงเสาของด้านที่ 1 และ 2 ตามลำดับ

ดังนั้น พื้นที่ของเสาตันมุกที่เหลือ  $A_{cc}^*$  ชั้นรับแรงในแนวแกนอย่างเดียว สามารถหาได้ว่า

$$A_{cc}^* = A_{cc} - A_{cp} \quad (ก.1.5)$$

ทั้ง  $A_{cc}$  = พื้นที่หน้าตัดของเสาตันมุกของโครงข้อแข็งรูปกล่องสี่เหลี่ยมผืนผ้า

ในการปฏิบัติโดยทั่วไป เนื่องจากความแตกต่างขององค์อาคารของด้านที่ 1 และ 2 ดังนั้น โมดูลัสยึดหยุ่นของมุกกล่องเทียบเท่าอัตรารอยปิด  $E_c$  สามารถหาได้จาก

$$E_c = (E_1 + E_2)/2 \quad (ก.1.6)$$

ทั้ง  $E_1, E_2$  = โมดูลัสยึดหยุ่นของด้านที่ 1 และ 2 ของกล่องเทียบเท่า อัตรารอยปิดตามลำดับ

## ก.2 โมดูลัสของการเฉือนของกล่องเทียบเท่าอัตรารอยปิด

พิจารณาหน่วยของโครงข้อแข็งภายใต้แรงกระทำ  $Q$  (รูปที่ 6) ทำให้หน่วย ของโครงข้อแข็งมีการเคลื่อนที่  $\Delta_{1f}$  ซึ่งเป็นผลจากที่เกิดขึ้นเนื่องจากผลของการดัดและการเฉือนขององค์อาคาร เช่น ในรูปของสมการจะได้ว่า

$$\Delta_{1f} = \Delta_b + \Delta_v \quad (ก.2.1)$$

ทั้ง  $\Delta_b, \Delta_v$  = การเคลื่อนที่ของหน่วยโครงข้อแข็งเนื่องจากผลของการดัด และการเฉือนขององค์อาคาร

โดยอาศัยวิถีการ Virtual Force และ ไม่คำนึงถึง Deformation ของจุดต่อ จะได้ว่า

$$\Delta_{1f} = \frac{Qh}{E} \left[ \frac{(h-d_b)^3}{12hI_c} + \frac{h(d-d_c)^3}{12d^2 I_b} \right] + \frac{Qh}{G} \left[ \frac{h(d-d_c)}{d^2 A_{rb}} + \frac{h-d_b}{hA_{rc}} \right] \quad (ก.2.2)$$

ทั้ง  $I_b, I_c$  = โมเมนต์ของความเฉื่อยของหน้าตัดคานและเสาตามลำดับ

$A_{rb}, A_{rc}$  = Effective Shear Area ของคานและเสาตามลำดับ

$d_c$  = ด้านยาวของหน้าตัดเสา

$G$  = โมดูลัสของการเฉือนของโครงข้อแข็งรูปกล่องสี่เหลี่ยมผืนผ้า

พิจารณาผังบางเทียบเท่า (เส้นประในรูปที่ 6) ชั้มมีขนาด  $h \times d \times t$

การเคลื่อนที่เนื่องจากแรง  $Q$  (รูปที่ 6) เป็น  $\Delta_{1p}$  ซึ่งหาได้ว่า

$$\Delta_{1p} = Qh/(G_{zs} td) \quad (\text{ก.2.3})$$

ที่นี่  $G_{zs}$  = โมดูลัสของการเฉือนของกล่องเทียบเท่าอัตราเร็ว

เพื่อหาค่า โมดูลัสของการเฉือนของกล่องเทียบเท่าอัตราเร็ว สมการ (ก.2.2)

เท่ากับสมการ (ก.2.3) ดังนี้จะได้ว่า

$$G_{zs} = E/(tdC_{zs}) \quad (\text{ก.2.4})$$

$$\text{ที่นี่ } C_{zs} = \frac{(h-d_b)^3}{12hI_c} + \frac{h(d-d_c)^3}{12d^2 I_b} + \frac{E}{G} \left[ \frac{h(d-d_c)}{d^2 A_{rb}} + \frac{h-d_c}{hA_{rc}} \right] \quad (\text{ก.2.5})$$

## ภาคผนวก ॥

॥.1 วิธีการวิเคราะห์หาความสัมพันธ์ระหว่างแรงบิดในรูปแรงบิดเดี่ยวที่จุดยอดสุด และโพลินีเมียลอันดับต่างๆกับมุมบิดของโครงข้อแข็งรูปกล่องสี่เหลี่ยมผืนผ้า

การหาความสัมพันธ์ระหว่างแรงบิดในรูปแรงบิดเดี่ยวที่จุดยอดสุด และโพลินีเมียล อันดับต่างๆกับมุมบิดของโครงข้อแข็งรูปกล่องสี่เหลี่ยมผืนผ้า ดังที่ได้กล่าวมาในหัวข้อที่ 2.3 โดยวิธีที่เสนอโดย พูลสวัลล์<sup>3)</sup> ชี้งสามารถวิเคราะห์ได้อย่างง่ายและมีความถูกต้อง ถ้ากึ่งสามารถใช้กับโครงข้อแข็งรูปกล่องสี่เหลี่ยมผืนผ้าที่สามารถแบ่งเปลี่ยนขนาดของหันส่วนตาม ความสูงได้ด้วยการสมมติฟังก์ชันของมุมบิด การเคลื่อนที่ ในแนวแกนของมุกกล่องเทียบเคียง ขอร์ไซโกรอปิกดังมีรายละเอียดดังต่อไปนี้

ผล้งงานความเครียดที่เกิดขึ้นในกล่องเทียบเท่าอัตร์ไซโกรอปิก ในสมการที่ 14, 15, 16  
ได้ที่

$$M_n = \text{จำนวนการเปลี่ยนแปลงขนาดของหันส่วนตามความสูง} \quad (\text{รูปที่ } 5)$$

$$H_{i-1} = \text{ความสูงหันที่เริ่มแบ่งเปลี่ยนขนาด} \quad (\text{รูปที่ } 5)$$

$$H_i = \text{ความสูงหันที่ลิ้นสุดการแบ่งเปลี่ยนขนาด} \quad (\text{รูปที่ } 5)$$

$$M_n \quad H_i$$

$$2U_1 = \sum_{i=1}^n \int [ \frac{\pi^2 \cos^2 \pi \xi E_{11} t_{11}}{6H} c + \frac{2 \sin^2 \pi \xi G_{11} t_{11}}{c} c ] \cdot A_2^2 - \frac{(2\pi^2 \cos \pi \xi \sin \pi \xi E_{11} t_{11} c - 4 \sin \pi \xi (\cos \pi \xi - 1) G_{11} t_{11} c)}{3H} \cdot A_2 B_2 - \frac{(4\pi^2 \cos \pi \xi \sin 2\pi \xi E_{11} t_{11} c - 4 \sin \pi \xi (\cos \pi \xi - 1) G_{11} t_{11} c)}{3H} \cdot A_2 C_2 - \frac{(4b \sin \pi \xi G_{11} t_{11} c)}{cH} \cdot A_2 K_4 - \frac{(8b \xi \sin \pi \xi G_{11} t_{11} c)}{cH} \cdot A_2 K_5 - \frac{(12b \xi^2 \sin \pi \xi G_{11} t_{11} c)}{cH} \cdot A_2 K_6 + \frac{(2\pi^2 \sin^2 \pi \xi E_{11} t_{11} c + 2(\cos \pi \xi - 1)^2 G_{11} t_{11} c)}{3H} \cdot B_2^2 + \frac{(8\pi^2 \sin \pi \xi \sin 2\pi \xi E_{11} t_{11} c + 4(\cos \pi \xi - 1)(\cos 2\pi \xi - 1) G_{11} t_{11} c)}{3H} \cdot B_2 C_2 - \frac{(4b(\cos \pi \xi - 1) G_{11} t_{11} c)}{cH} \cdot B_2 K_4 - \frac{(8b \xi (\cos \pi \xi - 1) G_{11} t_{11} c)}{cH} \cdot B_2 K_5 - \frac{(12b \xi^2 (\cos \pi \xi - 1) G_{11} t_{11} c)}{cH} \cdot B_2 K_6 + \frac{(8\pi^2 \sin^2 2\pi \xi E_{11} t_{11} c + 2(\cos 2\pi \xi - 1)^2 G_{11} t_{11} c)}{3H} \cdot C_2^2$$

$$\begin{aligned}
 & -\frac{4b(\cos 2\pi\xi - 1)G_{11}t_{11}c}{CH} \cdot C_2K_4 - \frac{8b\xi(\cos 2\pi\xi - 1)G_{11}t_{11}c}{CH} \cdot C_2K_5 \\
 & -\frac{12b\xi^2(\cos 2\pi\xi - 1)G_{11}t_{11}c}{CH} \cdot C_2K_6 + \frac{2b^2G_{11}t_{11}c}{H} \cdot K_4^2 \\
 & + \frac{8b^2\xi G_{11}t_{11}c}{H} \cdot K_4K_5 + \frac{12b^2\xi^2 G_{11}t_{11}c}{H} \cdot K_4K_6 + \frac{8b^2\xi^2 G_{11}t_{11}c}{H} \cdot K_5^2 \\
 & + \frac{24b^2\xi^3 G_{11}t_{11}c}{H} \cdot K_5K_6 + \frac{18b^2\xi^4 G_{11}t_{11}c}{H} \cdot K_6^2 \Big] dz \\
 & M_n H_1
 \end{aligned}$$

$$\begin{aligned}
 2U_2 = \sum_{i=1}^{2H} \int [ & \frac{\pi^2 \cos^2 \pi\xi E_{21}t_{21}b + 2 \sin^2 \pi\xi G_{21}t_{21}b}{6H^2} \cdot A_2^2 \\
 & - \frac{2\pi^2 \cos \pi\xi \sin \pi\xi E_{21}t_{21}b - 4 \sin \pi\xi (\cos \pi\xi - 1)G_{21}t_{21}b}{3H^2} \cdot A_2B_2 \\
 & - \frac{4\pi^2 \cos \pi\xi \sin 2\pi\xi E_{21}t_{21}b - 4 \sin \pi\xi (\cos \pi\xi - 1)G_{21}t_{21}b}{3H^2} \cdot A_2C_2 \\
 & + \frac{4c \sin \pi\xi G_{21}t_{21}b}{bH} \cdot A_2K_4 + \frac{8c \xi \sin \pi\xi G_{21}t_{21}b}{bH} \cdot A_2K_5 \\
 & + \frac{12c\xi^2 \sin \pi\xi G_{21}t_{21}b}{bH} \cdot A_2K_6 \\
 & + \frac{2\pi^2 \sin^2 \pi\xi E_{21}t_{21}b + 2(\cos \pi\xi - 1)^2 G_{21}t_{21}b}{3H^2} \cdot B_2^2 \\
 & + \frac{8\pi^2 \sin \pi\xi \sin 2\pi\xi E_{21}t_{21}b + 4(\cos \pi\xi - 1)(\cos 2\pi\xi - 1)G_{21}t_{21}b}{3H^2} \cdot B_2C_2 \\
 & + \frac{4c(\cos \pi\xi - 1)G_{21}t_{21}b}{bH} \cdot B_2K_4 + \frac{8c\xi(\cos \pi\xi - 1)G_{21}t_{21}b}{bH} \cdot B_2K_5 \\
 & + \frac{12c\xi^2(\cos \pi\xi - 1)G_{21}t_{21}b}{bH} \cdot B_2K_6 \\
 & + \frac{8\pi^2 \sin^2 2\pi\xi E_{21}t_{21}b + 2(\cos 2\pi\xi - 1)^2 G_{21}t_{21}b}{3H^2} \cdot C_2^2 \\
 & + \frac{4c(\cos 2\pi\xi - 1)G_{21}t_{21}b}{bH} \cdot C_2K_4 + \frac{8c\xi(\cos 2\pi\xi - 1)G_{21}t_{21}b}{bH} \cdot C_2K_5 \\
 & + \frac{12c\xi^2(\cos 2\pi\xi - 1)G_{21}t_{21}b}{bH} \cdot C_2K_6 + \frac{2c^2G_{21}t_{21}b}{H} \cdot K_4^2 \\
 & + \frac{8c^2\xi G_{21}t_{21}b}{H} \cdot K_4K_5 + \frac{12c^2\xi^2 G_{21}t_{21}b}{H} \cdot K_4K_6 + \frac{8c^2\xi^2 G_{21}t_{21}b}{H} \cdot K_5^2 \\
 & + \frac{24c^2\xi^3 G_{21}t_{21}b}{H} \cdot K_5K_6 + \frac{18c^2\xi^4 G_{21}t_{21}b}{H} \cdot K_6^2 \Big] dz \\
 & M_n H_1
 \end{aligned}$$

$$\begin{aligned}
 4U_C = \sum_{i=1}^{2H} \int [ & \frac{\pi^2 \cos^2 \pi\xi A_{CC1}^* E_{C1}}{2H^2} \cdot A_2^2 - \frac{2\pi^2 \cos \pi\xi \sin \pi\xi A_{CC1}^* E_{C1}}{H^2} \cdot A_2B_2 \\
 & - \frac{4\pi^2 \cos \pi\xi \sin 2\pi\xi A_{CC1}^* E_{C1}}{H^2} \cdot A_2C_2 + \frac{2\pi^2 \sin^2 \pi\xi A_{CC1}^* E_{C1}}{H^2} \cdot B_2^2 \\
 & + \frac{8\pi^2 \sin \pi\xi \sin 2\pi\xi A_{CC1}^* E_{C1}}{H^2} \cdot B_2C_2 + \frac{8\pi^2 \sin^2 2\pi\xi A_{CC1}^* E_{C1}}{H^2} \cdot C_2^2 \Big] dz
 \end{aligned}$$

ผลงงานตัวที่เนื่องจากแรงบิดภายในรูปแรงบิดเดียวกระทำที่จุดยอดสุดและ  
ไฟลิโนเมียล้อนดับต่างๆ หาได้จากสมการที่ 18 ดังนี้

โดยที่  $T =$  แรงบิดเดียวที่จุดยอดสุด

$T_o =$  สัมประสิทธิ์ของแรงบิดในรูปโพลีโนเมียล

เนื่องจากแรงบิดเดียวจะทำที่จุดยอดสุด ;  $V_p = -T(K4+K5+K6)$

เนื่องจากแรงบิดในรูปโพลีโนเมียลอันดับต่างๆ ;

H

$$V_T = - \int_{0}^{H} T_o (1-\xi)^N (K_4 \xi + K_5 \xi^2 + K_6 \xi^3) dz$$

0

$$= - \frac{T_o H N! K_4}{(N+2)!} - 2 \frac{T_o H N! K_5}{(N+3)!} - 6 \frac{T_o H N! K_6}{(N+4)!}$$

กำหนดให้  $F_{11} = E_{11} t_{11} c + E_{21} t_{21} b + 3A_{CC1} E_{CC1}$

$$F_{21} = G_{11} t_{11} b + G_{21} t_{21} c$$

$$F_{31} = G_{11} t_{11} b - G_{21} t_{21} c$$

โดยใช้หลักการพลังงานศักย์ทึ้งหมัดน้ำ oxy ที่สุด ดังสมการที่ 28 ดังนี้สามารถเขียนสมการ  
เพื่อแก้หาค่าคงที่ต่างๆ ในรูปของเมตริกซ์ได้

$$\tilde{A} \cdot \tilde{X} = \tilde{V}$$

โดยที่  $\tilde{A} =$  เมตริกซ์สมมาตรของสัมประสิทธิ์ค่าคงที่ ขนาด  $6 \times 6$

$\tilde{X} =$  เมตริกซ์ค่าคงที่ไม่ทราบค่า ขนาด  $6 \times 1$

$\tilde{V} =$  เมตริกซ์ของพลังงานศักย์เนื่องจากแรงบิดภายนอกในรูปแรงบิดเดียว  
ที่จุดยอดสุด และโพลีโนเมียลอันดับต่างๆ ขนาด  $6 \times 1$

$M_n \quad H_i$

$$A(1,1) = \sum_{i=1}^{M_n} \int_{H_{i-1}}^H \left( \frac{\pi^2 \cos^2 \pi \xi}{2} F_{11} + \frac{4 \sin^2 \pi \xi}{2} F_{21} \right) dz$$

$M_n \quad H_i$

$$A(1,2) = \sum_{i=1}^{M_n} \int_{H_{i-1}}^H \left( -\frac{2\pi^2 \cos \pi \xi}{2} \sin \pi \xi F_{11} + \frac{4 \sin \pi \xi}{2} (\cos \pi \xi - 1) F_{21} \right) dz$$

$M_n \quad H_i$

$$A(1,3) = \sum_{i=1}^{M_n} \int_{H_{i-1}}^H \left( -\frac{4\pi^2 \cos \pi \xi}{2} \sin 2\pi \xi F_{11} + \frac{4 \sin 2\pi \xi}{2} (\cos 2\pi \xi - 1) F_{21} \right) dz$$

$$M_n - H_i$$

$$A(1,4) = \sum_{i=1}^{H_{i-1}} \int_{\frac{-H}{2}}^{\frac{H}{2}} \{-4 \sin \pi \xi F_{3i}\} dz$$

$$M_n - H_i$$

$$A(1,5) = \sum_{i=1}^{H_{i-1}} \int_{\frac{-H}{2}}^{\frac{H}{2}} \{-8\xi \sin \pi \xi F_{3i}\} dz$$

$$M_n - H_i$$

$$A(1,6) = \sum_{i=1}^{H_{i-1}} \int_{\frac{-H}{2}}^{\frac{H}{2}} \{-12\xi^2 \sin \pi \xi F_{3i}\} dz$$

$$M_n - H_i$$

$$A(2,2) = \sum_{i=1}^{H_{i-1}} \int_{\frac{-3H}{2}}^{\frac{3H}{2}} \left\{ \frac{4\pi^2}{3H^2} \sin^2 \pi \xi F_{1i} + 4(\cos \pi \xi - 1)^2 F_{2i} \right\} dz$$

$$M_n - H_i$$

$$A(2,3) = \sum_{i=1}^{H_{i-1}} \int_{\frac{-3H}{2}}^{\frac{3H}{2}} \left\{ \frac{8\pi^2}{3H^2} \sin \pi \xi \sin 2\pi \xi F_{1i} + 4(\cos \pi \xi - 1)(\cos 2\pi \xi - 1) F_{2i} \right\} dz$$

$$M_n - H_i$$

$$M_n - H_i$$

$$A(2,4) = \sum_{i=1}^{H_{i-1}} \int_{\frac{-H}{2}}^{\frac{H}{2}} \{-4(\cos \pi \xi - 1) F_{3i}\} dz$$

$$M_n - H_i$$

$$A(2,5) = \sum_{i=1}^{H_{i-1}} \int_{\frac{-H}{2}}^{\frac{H}{2}} \{-8\xi(\cos \pi \xi - 1) F_{3i}\} dz$$

$$M_n - H_i$$

$$A(2,6) = \sum_{i=1}^{H_{i-1}} \int_{\frac{-H}{2}}^{\frac{H}{2}} \{-12\xi^2(\cos \pi \xi - 1) F_{3i}\} dz$$

$$M_n - H_i$$

$$M_n - H_i$$

$$A(3,3) = \sum_{i=1}^{H_{i-1}} \int_{\frac{-3H}{2}}^{\frac{3H}{2}} \left\{ \frac{16\pi^2}{3H^2} \sin^2 2\pi \xi F_{1i} + 4(\cos 2\pi \xi - 1)^2 F_{2i} \right\} dz$$

$$M_n - H_i$$

$M_n \quad H_i$ 

$$A(3,4) = \sum_{i=1}^{M_n - H_{i-1}} \int \left\{ -4 \frac{(\cos 2\pi\xi - 1) F_{3,1}}{H} \right\} dz$$

 $M_n \quad H_i$ 

$$A(3,5) = \sum_{i=1}^{M_n - H_{i-1}} \int \left\{ -8\xi \frac{(\cos 2\pi\xi - 1) F_{3,1}}{H} \right\} dz$$

 $M_n \quad H_i$ 

$$A(3,6) = \sum_{i=1}^{M_n - H_{i-1}} \int \left\{ -12\xi^2 (\cos 2\pi\xi - 1) F_{3,1} \right\} dz$$

 $i=1 \quad H_{i-1}$ 
 $M_n \quad H_i$ 

$$A(4,4) = \sum_{i=1}^{M_n - H_{i-1}} \int \left\{ 4bc F_{2,1} \right\} dz$$

 $i=1 \quad H_{i-1}$ 
 $M_n \quad H_i$ 

$$A(4,5) = \sum_{i=1}^{M_n - H_{i-1}} \int \left\{ 8bc\xi F_{2,1} \right\} dz$$

 $i=1 \quad H_{i-1}$ 
 $M_n \quad H_i$ 

$$A(4,6) = \sum_{i=1}^{M_n - H_{i-1}} \int \left\{ 12bc\xi^2 F_{2,1} \right\} dz$$

 $i=1 \quad H_{i-1}$ 
 $M_n \quad H_i$ 

$$A(5,5) = \sum_{i=1}^{M_n - H_{i-1}} \int \left\{ 16bc\xi^2 F_{2,1} \right\} dz$$

 $i=1 \quad H_{i-1}$ 
 $M_n \quad H_i$ 

$$A(5,6) = \sum_{i=1}^{M_n - H_{i-1}} \int \left\{ 24bc\xi^3 F_{2,1} \right\} dz$$

 $i=1 \quad H_{i-1}$ 
 $M_n \quad H_i$ 

$$A(6,6) = \sum_{i=1}^{M_n - H_{i-1}} \int \left\{ 36bc\xi^4 F_{2,1} \right\} dz$$

เมตริกซ์พลังงานศักย์เนื่องจากแรงบิดเดียวกระทำที่จุดยอดสุด

$$V(1,1) = V(2,1) = V(3,1) = 0$$

$$V(4,1) = V(5,1) = V(6,1) = T$$

เมตริกซ์พลังงานศักย์เนื่องจากแรงบิดในรูปโอลิโนเมียลอันดับต่างๆ

$$V(1,1) = V(2,1) = V(3,1) = 0$$

$$V(4,1) = T_0 H / ((N+1)(N+2))$$

$$V(5,1) = 2T_0 H / ((N+1)(N+2)(N+3))$$

$$V(6,1) = 6T_0 H / ((N+1)(N+2)(N+3)(N+4))$$

โดยการแทนค่า  $T=1$ ,  $T_0=1$  แก้สมการหาค่าเมตริกซ์  $X$  ในแต่ละ  $V$  ก็จะได้ความสัมพันธ์ระหว่างแรงบิดกับมุมบิดของโครงข้อแข็งรูปกล่องสี่เหลี่ยมผืนผ้า

### ภาคผนวก C.

**C.1 วิธีการวิเคราะห์หาความล้มเหลวระหว่างแรงเดี่ยวในแนวราบที่ผ่านศูนย์ที่จุดยอดสุดและโนลิโนเมียลขันดับต่างๆกับระยะเอนของโครงสร้างชั้นรากล่องสี่เหลี่ยมผืนผ้า ดังที่ได้กล่าวมาในหัวข้อที่**

**2.3 โดยวิธีที่เสนอโดย พูลสวัสดิ์ ชั่งสามารถวิเคราะห์ได้อย่างง่ายและมีความถูกต้อง อีกทั้งสามารถใช้กับโครงสร้างชั้นรากล่องสี่เหลี่ยมผืนผ้าที่สามารถแบรเปรเปลี่ยนขนาดของชั้นล้วนตามความสูง ได้ด้วยการสมมติฟังก์ชันของระยะเอน การเคลื่อนที่ในแนวแกนของมุนกล่องเทียบเคียงกับอิฐกรอบปิด ดังมีรายละเอียดดังต่อไปนี้**

เนื่องจากฟังก์ชันของระยะเอนที่สมมติขึ้นเป็นไปตามเงื่อนไขที่ฐานแต่ฟังก์ชันของระยะเอนที่สมมติขึ้นไม่ทำให้ห่วงแรงเฉือนเป็นไปตามเงื่อนไขที่จุดยอดสุด ดังนั้นจึงต้องมีการปรับแก้เฉพาะหน่วยแรงเฉือนก่อนที่จะนำไปใช้พัฒนาความเครียดในแต่ละด้านที่เกิดขึ้น โดยวิธีการของ Galerkin ดังมีรายละเอียดดังนี้

$\bar{\tau}_{YZ}$  เป็นหน่วยแรงเฉือนที่จุดยอดสุดของด้านที่ 2

$\tau_{YZ}$  เป็นหน่วยแรงเฉือนที่ระดับชั้นใดๆของด้านที่ 2

$$\bar{\tau}_{YZ} = G_2 \left( \frac{\partial w}{\partial y} + \frac{\partial \Delta}{\partial z} \right) \Big|_{\xi=1}$$

$$\tau_{YZ} = G_2 \left( \frac{\partial w}{\partial y} + \frac{\partial \Delta}{\partial z} \right)$$

$$\tau_{YZ}^* = (\tau_{YZ} - \bar{\tau}_{YZ})$$

หน่วยแรงเฉือน  $\tau_{YZ}^*$  ที่ได้เป็นหน่วยแรงเฉือนที่ปรับแก้และจะนำไปแทนในสมการพัฒนาความเครียดต่อไป

พัฒนาความเครียดที่เกิดขึ้นในกล่องเทียบเคียงอิฐกรอบปิดในสมการที่ 14, 15, 16

โดยที่

$$M_n = \text{จำนวนการเปลี่ยนแปลงขนาดของชั้นล้วนตามความสูง} \quad (\text{รูปที่ } 5)$$

$$H_{1-1} = \text{ความสูงชั้นที่} \omega \text{รีมแบรเปรเปลี่ยนขนาด} \quad (\text{รูปที่ } 5)$$

$$H_1 = \text{ความสูงชั้นที่ลิ้นสุดการแบรเปรเปลี่ยนขนาด} \quad (\text{รูปที่ } 5)$$

C

$$D(1) = \int_{-C}^C [M_3 + (1-M_3)(x/C)^{M2}]^2 dx$$

-C

C

$$D(2) = \int_{-C}^C \frac{[M_2(1-M_3)(x/C)^{M2-1}]^2}{C} dx$$

-C

b

$$D(3) = \int_{-b}^b [\sinh(y/b)^{M1}]^2 dy$$

 $\sinh(1)$ 

-b

b

$$D(4) = \int_{-b}^b \frac{[M_1(y/b)^{M1-1} \cosh(y/b)^{M1}]^2}{b \sinh(1)} dy$$

-b

b

$$D(5) = \int_{-b}^b \frac{[M_1(y/b)^{M1-1} \cosh(y/b)^{M1}]^2}{b \sinh(1)} dy$$

-b

$$M_n = H_i / H$$

$$2U_1 = \sum_{i=1}^{H_{i-1}/H} \left[ \frac{\pi^2 D(1) \cos^2 \frac{\pi \xi E_{11} t_{11}}{2} + HD(2) \sin^2 \frac{\pi \xi G_{11} t_{11}}{2}}{4H} \cdot A_1^2 \right. \\ \left. - \frac{\{ \pi^2 D(1) \cos \pi \xi \sin \pi \xi E_{11} t_{11} - 2HD(2) \sin \pi \xi (\cos \pi \xi - 1) G_{11} t_{11} \}}{H} \cdot A_1 B_1 \right. \\ \left. - \frac{(2\pi^2 D(1) \cos \pi \xi \sin 2\pi \xi E_{11} t_{11} - 2HD(2) \sin \pi \xi (\cos \pi \xi - 1) G_{11} t_{11})}{H} \cdot A_1 C_1 \right. \\ \left. + \frac{(\pi^2 \sin^2 \pi \xi E_{11} t_{11} + HD(2) (\cos \pi \xi - 1)^2 G_{11} t_{11})}{H} \cdot B_2^2 \right. \\ \left. + \frac{(4\pi^2 D(1) \sin \pi \xi \sin 2\pi \xi E_{11} t_{11} + 2HD(2) (\cos \pi \xi - 1) (\cos 2\pi \xi - 1) G_{11} t_{11})}{H} \cdot B_2 C_2 \right. \\ \left. + \frac{(4\pi^2 D(1) \sin^2 2\pi \xi E_{11} t_{11} + HD(2) (\cos 2\pi \xi - 1)^2 G_{11} t_{11})}{H} \cdot C_2^2 \right] d\xi$$

$$M_n = H_i / H$$

$$2U_2 = \sum_{i=1}^{H_{i-1}/H} \left[ \frac{\pi^2 D(3) \cos^2 \frac{\pi \xi E_{21} t_{21}}{2} + HD(4) \sin^2 \frac{\pi \xi G_{21} t_{21}}{2} - HD(4) \sin \pi \xi G_{21} t_{21}}{4H} \cdot A_1^2 \right. \\ \left. - \frac{i \{ \pi^2 D(3) \cos \pi \xi \sin \pi \xi E_{21} t_{21} - 2HD(4) \sin \pi \xi (\cos \pi \xi - 1) G_{21} t_{21} \}}{H} \cdot A_1 B_1 \right. \\ \left. - \frac{(2\pi^2 D(3) \cos \pi \xi \sin 2\pi \xi E_{21} t_{21} - 2HD(4) \sin \pi \xi (\cos \pi \xi - 1) G_{21} t_{21})}{H} \cdot A_1 C_1 \right. \\ \left. + \frac{(\pi^2 \sin^2 \pi \xi E_{21} t_{21} + HD(4) (\cos \pi \xi - 1)^2 G_{21} t_{21})}{H} \cdot B_2^2 \right. \\ \left. + \frac{(4\pi^2 D(3) \sin \pi \xi \sin 2\pi \xi E_{21} t_{21} + 2HD(4) (\cos \pi \xi - 1) (\cos 2\pi \xi - 1) G_{21} t_{21})}{H} \cdot B_2 C_2 \right. \\ \left. + \frac{(4\pi^2 D(3) \sin^2 2\pi \xi E_{21} t_{21} + HD(4) (\cos 2\pi \xi - 1)^2 G_{21} t_{21})}{H} \cdot C_2^2 \right] d\xi$$

$$\begin{aligned}
& -\left(\frac{\pi^2}{H} D(3) \cos \frac{\pi \xi}{2} \sin \frac{\pi \xi}{2} E_{21} t_{21} - 2 H D(4) \sin \frac{\pi \xi}{2} (\cos \pi \xi - 1) G_{21} t_{21}\right. \\
& + H D(4) (\cos \pi \xi - 1 - 2 \sin \pi \xi) G_{21} t_{21} \} . A_1 B_1 \\
& - \left( \frac{2 \pi^2}{H} \frac{D(3) \cos \pi \xi}{2} \sin 2 \pi \xi E_{21} t_{21} - 2 H D(4) \sin \frac{\pi \xi}{2} (\cos 2 \pi \xi - 1) G_{21} t_{21} \right. \\
& + H D(4) (\cos 2 \pi \xi - 1) G_{21} t_{21} \} . A_1 C_1 \\
& + \{ 4 \xi D(5) \sin \frac{\pi \xi}{2} G_{21} t_{21} - D(5) (2 \xi + 2 \sin \frac{\pi \xi}{2}) G_{21} t_{21} \} . A_1 K_1 \\
& + \{ 6 \xi^2 D(5) \sin \frac{\pi \xi}{2} G_{21} t_{21} - D(5) (3 \xi^2 + 3 \sin \frac{\pi \xi}{2}) G_{21} t_{21} \} . A_1 K_2 \\
& + \{ 8 \xi^3 D(5) \sin \frac{\pi \xi}{2} G_{21} t_{21} - D(5) (4 \xi^3 + 4 \sin \frac{\pi \xi}{2}) G_{21} t_{21} \} . A_1 K_3 \\
& + \left( \frac{\pi^2}{H} D(3) \sin^2 \pi \xi E_{21} t_{21} + H D(4) (\cos \pi \xi - 1)^2 G_{21} t_{21} \right. \\
& + 2 H D(4) (\cos \pi \xi - 1) G_{21} t_{21} \} . B_2^2 \\
& + \{ 4 \frac{\pi^2}{H} D(3) \sin \pi \xi \sin 2 \pi \xi E_{21} t_{21} + 2 H D(4) (\cos \pi \xi - 1) (\cos 2 \pi \xi - 1) G_{21} t_{21} \\
& + 2 H D(4) (\cos 2 \pi \xi - 1) G_{21} t_{21} \} . B_1 C_1 \\
& + \{ 4 \xi D(5) (\cos \pi \xi - 1) G_{21} t_{21} - D(5) (2 (\cos \pi \xi - 1) - 4 \xi) G_{21} t_{21} \} . B_1 K_1 \\
& + \{ 6 \xi^2 D(5) (\cos \pi \xi - 1) G_{21} t_{21} - D(5) (3 (\cos \pi \xi - 1) - 6 \xi^2) G_{21} t_{21} \} . B_1 K_2 \\
& + \{ 8 \xi^3 D(5) (\cos \pi \xi - 1) G_{21} t_{21} - D(5) (4 (\cos \pi \xi - 1) - 8 \xi^3) G_{21} t_{21} \} . B_1 K_3 \\
& + \left( \frac{4 \pi^2}{H} D(3) \sin^2 2 \pi \xi E_{21} t_{21} + H D(4) (\cos 2 \pi \xi - 1)^2 G_{21} t_{21} \right) . C_1^2 \\
& + \{ 4 \xi D(5) (\cos 2 \pi \xi - 1) G_{21} t_{21} - 2 D(5) (\cos \pi \xi - 1) G_{21} t_{21} \} . C_1 K_1 \\
& + \{ 6 \xi^2 D(5) (\cos 2 \pi \xi - 1) G_{21} t_{21} - 3 D(5) (\cos 2 \pi \xi - 1) G_{21} t_{21} \} . C_1 K_2 \\
& + \{ 8 \xi^3 D(5) (\cos 2 \pi \xi - 1) G_{21} t_{21} - 4 D(5) (\cos 2 \pi \xi - 1) G_{21} t_{21} \} . C_1 K_3 \\
& + \left( \frac{8 \xi^2}{H} G_{21} t_{21} b - \frac{8 \xi}{H} G_{21} t_{21} b \right) . K_1^2 + \left( \frac{24 \xi^3}{H} G_{21} t_{21} b - \frac{12 (\xi^2 + \xi)}{H} G_{21} t_{21} b \right) . K_1 K_2 \\
& + \left( \frac{32 \xi^4}{H} G_{21} t_{21} b - \frac{16 (\xi^3 + \xi)}{H} G_{21} t_{21} b \right) . K_1 K_3 \\
& + \left( \frac{18 \xi^4}{H} G_{21} t_{21} b - \frac{18 \xi^2}{H} G_{21} t_{21} b \right) . K_2^2 \\
& + \left( \frac{48 \xi^5}{H} G_{21} t_{21} b - \frac{24 (\xi^3 + \xi^2)}{H} G_{21} t_{21} b \right) . K_2 K_3 \\
& + \left( \frac{32 \xi^6}{H} G_{21} t_{21} b - \frac{32 \xi^3}{H} G_{21} t_{21} b \right) . K_3^2 \] d\xi \\
& M_n H_1 / H
\end{aligned}$$

$$\begin{aligned}
4U_c = \sum_{i=1}^{H_{i-1}/H} & \left[ \left\{ \frac{\pi^2}{2H} \cos^2 \frac{\pi \xi}{2} A_{cc_i}^* E_{ci} \right\} . A_1^2 - \left\{ \frac{2\pi^2}{H} \cos \frac{\pi \xi}{2} \sin \frac{\pi \xi}{2} A_{cc_i}^* E_{ci} \right\} . A_1 B_1 \right. \\
& - \left\{ \frac{4\pi^2}{H} \cos \frac{\pi \xi}{2} \sin 2 \pi \xi A_{cc_i}^* E_{ci} \right\} . A_1 C_1 + \left\{ \frac{2\pi^2}{H} \sin^2 \frac{\pi \xi}{2} A_{cc_i}^* E_{ci} \right\} . B_2^2 \\
& + \left\{ \frac{8\pi^2}{H} \sin \pi \xi \sin 2 \pi \xi A_{cc_i}^* E_{ci} \right\} . B_2 C_2 + \left\{ \frac{8\pi^2}{H} \sin^2 2 \pi \xi A_{cc_i}^* E_{ci} \right\} . C_2^2 \] d\xi
\end{aligned}$$

ผลลัพธ์เนื่องจากแรงเดี่ยวในระบบที่ผ่านศูนย์ที่จุดยอดสุดและ  
โพลิโนเมียลอันดับต่างๆ หาได้จากสมการที่ 18 ดังนี้

โดยที่  $P =$  แรงเดี่ยวในระบบที่ผ่านศูนย์ที่จุดยอดสุด

$P_o =$  สัมประสิทธิ์ของแรงในแนวราบที่ผ่านศูนย์ในรูปโพลิโนเมียล

เนื่องจากแรงเดี่ยวในแนวราบที่ผ่านศูนย์จุดยอดสุด ;  $V_p = -T(K_1+K_2+K_3)$

เนื่องจากแรงในแนวราบที่ผ่านศูนย์ในรูปโพลิโนเมียลอันดับต่างๆ ;

$$V_T = - \int_{0}^H P_o (1-\xi)^N (K_1 \xi^2 + K_2 \xi^3 + K_3 \xi^4) dz$$

$$= -2HP_o \frac{N!K_1}{(N+3)!} - 4HP_o \frac{N!K_2}{(N+4)!} - 6HP_o \frac{N!K_3}{(N+5)!}$$

กำหนดให้  $L_{11} = D(1)E_{11}t_{11} + D(3)E_{21}t_{21} + 2A_{CC1}^* E_{C1}$

$$L_{21} = D(2)G_{11}t_{11} + D(4)G_{21}t_{21}$$

$$L_{31} = D(5)G_{21}t_{21}$$

$$L_{41} = G_{21}t_{21}b$$

$$L_{51} = D(4)G_{21}t_{21}$$

โดยใช้หลักการผลลัพธ์ศักย์ทึ่งหมัดน้อยที่สุด ดังสมการที่ 28 ดังนี้สามารถเขียนสมการ  
เพื่อแก้หาค่าคงที่ต่างๆ ในรูปของเมตริกซ์ได้

$$\tilde{B}, \tilde{Y} = \tilde{V}$$

โดยที่  $B =$  เมตริกซ์สมมาตรของสัมประสิทธิ์ค่าคงที่ ขนาด  $6 \times 6$

$Y =$  เมตริกซ์ค่าคงที่ไม่ทราบค่า ขนาด  $6 \times 1$

$V =$  เมตริกซ์ของผลลัพธ์ศักย์เนื่องจากแรงเดี่ยวในแนวราบที่ผ่านศูนย์ที่

จุดยอดสุด และ โพลิโนเมียลอันดับต่างๆ ขนาด  $6 \times 1$

$$M_n H_i$$

$$B(1,1) = \sum_{i=1}^{M_n} \int_{H_{i-1}}^H \left\{ \frac{\pi^2 \cos^2 \pi \xi}{2H^2} L_{11} + 2 \sin^2 \frac{\pi \xi}{2} L_{21} - 2 \sin \frac{\pi \xi}{2} L_{51} \right\} dz$$

$M_n \quad H_i$ 

$$B(1,2) = \sum_{i=1}^{M_n} \int_{H_{i-1}}^{H_i} \left\{ -\frac{\pi^2}{H^2} \cos \frac{\pi \xi \sin \pi \xi L_{1,i}}{2} + 2 \sin \pi \xi (\cos \pi \xi - 1) L_{2,i} - \frac{(\cos \pi \xi - 1 - 2 \sin \pi \xi)}{2} L_{5,i} \right\} dz$$

 $M_n \quad H_i$ 

$$B(1,3) = \sum_{i=1}^{M_n} \int_{H_{i-1}}^{H_i} \left\{ -\frac{2\pi^2}{H^2} \cos \frac{\pi \xi \sin 2\pi \xi L_{1,i}}{2} + 2 \sin \pi \xi (\cos 2\pi \xi - 1) L_{2,i} - (\cos 2\pi \xi - 1) L_{5,i} \right\} dz$$

 $M_n \quad H_i$ 

$$B(1,4) = \sum_{i=1}^{M_n} \int_{H_{i-1}}^{H_i} \left\{ \frac{4\xi \sin \pi \xi L_{3,i}}{H} - \frac{2(\xi + \sin \pi \xi)}{H} L_{3,i} \right\} dz$$

 $M_n \quad H_i$ 

$$B(1,5) = \sum_{i=1}^{M_n} \int_{H_{i-1}}^{H_i} \left\{ \frac{6\xi^2 \sin \pi \xi L_{3,i}}{H} - \frac{3(\xi^2 + \sin \pi \xi)}{H} L_{3,i} \right\} dz$$

 $M_n \quad H_i$ 

$$B(1,6) = \sum_{i=1}^{M_n} \int_{H_{i-1}}^{H_i} \left\{ \frac{8\xi^3 \sin \pi \xi L_{3,i}}{H} - \frac{4(\xi^3 + \sin \pi \xi)}{H} L_{3,i} \right\} dz$$

 $M_n \quad H_i$ 

$$B(2,2) = \sum_{i=1}^{M_n} \int_{H_{i-1}}^{H_i} \left\{ \frac{2\pi^2 \sin^2 \pi \xi L_{1,i}}{H^2} + 2(\cos \pi \xi - 1)^2 L_{2,i} + 4(\cos \pi \xi - 1) L_{5,i} \right\} dz$$

 $M_n \quad H_i$ 

$$B(2,3) = \sum_{i=1}^{M_n} \int_{H_{i-1}}^{H_i} \left\{ \frac{4\pi^2 \sin \pi \xi \sin 2\pi \xi L_{1,i}}{H^2} + 2(\cos \pi \xi - 1)(\cos 2\pi \xi - 1) L_{2,i} + 2(\cos 2\pi \xi - 1) L_{5,i} \right\} dz$$

 $M_n \quad H_i$ 

$$B(2,4) = \sum_{i=1}^{M_n} \int_{H_{i-1}}^{H_i} \left\{ \frac{4\xi (\cos \pi \xi - 1) L_{3,i}}{H} - \frac{(2(\cos \pi \xi - 1) - 4\xi) L_{3,i}}{H} \right\} dz$$

$M_n - H_i$ 

$$B(2,5) = \sum_{i=1}^M \int_{H_{i-1}}^H \frac{\{6\xi^2(\cos\pi\xi-1)L_{3i} - (3(\cos\pi\xi-1)-6\xi^2)L_{3i}\}}{H} dz$$

 $M_n - H_i$ 

$$B(2,6) = \sum_{i=1}^M \int_{H_{i-1}}^H \frac{\{8\xi^3(\cos\pi\xi-1)L_{3i} - (4(\cos\pi\xi-1)-8\xi^3)L_{3i}\}}{H} dz$$

 $M_n - H_i$ 

$$B(3,3) = \sum_{i=1}^M \int_{H_{i-1}}^H \frac{\{8\pi^2 \sin^2 2\pi\xi L_{1i} + 2(\cos 2\pi\xi-1)^2 L_{2i}\}}{H^2} dz$$

 $M_n - H_i$ 

$$B(3,4) = \sum_{i=1}^M \int_{H_{i-1}}^H \frac{\{4\xi(\cos 2\pi\xi-1)L_{3i} - 2(\cos\pi\xi-1)L_{3i}\}}{H} dz$$

 $M_n - H_i$ 
 $M_n - H_i$ 

$$B(3,5) = \sum_{i=1}^M \int_{H_{i-1}}^H \frac{\{6\xi^2(\cos 2\pi\xi-1)L_{3i} - 3(\cos 2\pi\xi-1)L_{3i}\}}{H^2} dz$$

 $M_n - H_i$ 
 $M_n - H_i$ 

$$B(3,6) = \sum_{i=1}^M \int_{H_{i-1}}^H \frac{\{8\xi^3(\cos 2\pi\xi-1)L_{3i} - 4(\cos 2\pi\xi-1)L_{3i}\}}{H^3} dz$$

 $M_n - H_i$ 
 $M_n - H_i$ 

$$B(4,4) = \sum_{i=1}^M \int_{H_{i-1}}^H \frac{\{16\xi^2 L_{4i} - 16\xi L_{4i}\}}{H^2} dz$$

 $M_n - H_i$ 
 $M_n - H_i$ 

$$B(4,5) = \sum_{i=1}^M \int_{H_{i-1}}^H \frac{\{24\xi^3 L_{4i} - 12(\xi^2 + \xi)L_{4i}\}}{H^3} dz$$

 $M_n - H_i$ 
 $M_n - H_i$ 

$$B(4,6) = \sum_{i=1}^M \int_{H_{i-1}}^H \frac{\{32\xi^4 L_{4i} - 16(\xi^3 + \xi)L_{4i}\}}{H^4} dz$$

 $M_n - H_i$

$M_n \quad H_1$ 

$$B(5,5) = \sum_{i=1}^{M_n} \frac{\int_{H_{i-1}}^H \{36\xi^4 L_{41} - 36\xi^2 L_{41}\} dz}{H^2}$$

 $M_n \quad H_1$ 

$$B(5,6) = \sum_{i=1}^{M_n} \frac{\int_{H_{i-1}}^H \{48\xi^5 L_{41} - 24(\xi^3 + \xi^2) L_{41}\} dz}{H^2}$$

 $M_n \quad H_1$ 

$$B(6,6) = \sum_{i=1}^{M_n} \frac{\int_{H_{i-1}}^H \{64\xi^6 L_{41} - 64\xi^3 L_{41}\} dz}{H^2}$$

เมตริกซ์พลังงานศักย์เนื่องจากแรงเดี่ยวในแนวราบที่ผ่านศูนย์กับจุดยอดสุด

$$V(1,1) = V(2,1) = V(3,1) = 0$$

$$V(4,1) = V(5,1) = V(6,1) = P$$

เมตริกซ์พลังงานศักย์เนื่องจากแรงในแนวราบที่ผ่านศูนย์ในรูปโพลีโนเมียลอันดับต่างๆ

$$V(1,1) = V(2,1) = V(3,1) = 0$$

$$V(4,1) = 2P_0 H / ((N+1)(N+2)(N+3))$$

$$V(5,1) = 6P_0 H / ((N+1)(N+2)(N+3)(N+4))$$

$$V(6,1) = 24P_0 H / ((N+1)(N+2)(N+3)(N+4)(N+5))$$

โดยการแทนค่า  $P=1$ ,  $P_0=1$  แก้สมการหาค่าเมตริกซ์  $V$  ในแต่ละ  $N$  ก็จะได้ความสัมพันธ์ระหว่างแรงในแนวราบที่ผ่านศูนย์กับระยะ เอนของโครงข้อแข็งรูปกล่องสี่เหลี่ยมผืนผ้า

### ภาคผนวก ง

#### การหาแรงภายในโครงสร้างดิสครีตของโครงข้อแข็งรูปกล่องสี่เหลี่ยมผืนผ้า

สำหรับการคำนวณหาแรงภายในโครงสร้างดิสครีต หาได้จากการแทนฟังก์ชันต่างๆที่สมมติขึ้น (สมการที่ 19-27) ที่ทราบค่า และความสัมพันธ์ต่างๆที่เกี่ยวข้องในสมการของหน่วยแรง เนื้อเยื่อและแรง ในแนวแกนของกล่องเทียบเท่าออร์โกรอปิก (สมการที่ 11-13) จะได้การกระจายของหน่วยแรงในทอนของ  $x, y, z$  ในแต่ละด้านของกล่องเทียบเท่าออร์โกรอปิก

การหาค่าแรงภายในแต่ละชิ้นส่วนของโครงสร้างดิสครีตของโครงข้อแข็งรูปกล่องสี่เหลี่ยมผืนผ้าสามารถหาได้โดยคุณของหน่วยแรงที่เกิดขึ้นที่ตัวแหน่งกึ่งกลางของผนังบางเทียบเท่าในแต่ละโครงข้อแข็ง (ดังแสดงในรูปที่ 6) กับผนังที่ของผนังบางเทียบเท่าแรงในแนวแกนของเสาที่ระดับ  $z_1$

$$P_c = A_{cc} [\sigma_c] \quad (4.1)$$

$$P_1(x_1) = t_1 d_1 [\sigma_1(x_1, -b, \xi)] \quad (4.2)$$

$$P_2(x_1) = t_2 d_2 [\sigma_2(-c, y_1, \xi)] \quad (4.3)$$

โดยที่  $P_c, P_1, P_2$  = แรงในแนวแกนของเสาตั้งมุม ด้านที่ 1 และด้านที่ 2 ตามลำดับ  
 $z_1$  = ความสูงของตัวแหน่งที่อ้างอิงจากฐานของโครงข้อแข็งรูปกล่องสี่เหลี่ยมผืนผ้าถึงจุดตัดกลับของเสาในแต่ละชิ้น

แรงเฉือนในเสาที่ระดับ  $z_1$

$$Q_1 = t_1 d_1 [\tau_{xy}(\xi)] \quad (4.4)$$

$$Q_2 = t_2 d_2 [\tau_{yz}(\xi)] \quad (4.5)$$

$$Q_{c1} = 0.50 Q_1 \quad (4.6)$$

$$Q_{c2} = 0.50 Q_2 \quad (4.7)$$

โดยที่  $Q_1, Q_2$  = แรงเฉือนในเสาของด้านที่ 1 และ 2 ตามลำดับ

$Q_{c1}, Q_{c2}$  = แรงเฉือนในเสาตั้งมุมของด้านที่ 1 และ 2 ตามลำดับ

แรงเฉือนในคานที่ระดับ  $z_1$

$$V_1 = t_1 h [\tau_{xz}(\xi)] \quad (4.8)$$

$$V_2 = t_2 h [ \tau_{yz}(\xi) ] \quad (4.9)$$

โดยที่  $V_1, V_2$  = แรงเฉือนที่จุดตัดกลับในความของด้านที่ 1 และ 2 ตามลำดับ

$Z_1$  = ความสูงของตำแหน่งที่อ้างอิงจากฐานของโครงข้อแข็งรูปกล่อง  
สี่เหลี่ยมผืนผ้าถึงระดับความในแต่ละชั้น

ไม่เกณฑ์ในความและเสา ได้จากการคูณแรงเฉือนที่เกิดขึ้นที่จุดตัดกลับของเสาและความที่แต่ละ  
ระดับกับระยะทางจากจุดตัดกลับถึงจุดที่ต้องการทราบ  
ดังนั้นสามารถที่จะหาแรงภายในโครงสร้างดิสครีตได้ทุกค่าที่ต้องการทราบดังที่กล่าว

มา

ภาคผนวก ๙.

( ตัวอย่างการป้อนข้อมูลและผลลัพธ์การวิเคราะห์ )

**SLDF ANALYSIS**  
**PROJECT : EXAM#1-3(TORSION)**  
**AUTHORITY : J. BANPOTE**

DATE : 01-06-1989 <DATA> P. 1

FILENAME : EXAM#1-3  
ENGINEER : J.BANPOTE

STRUCTURAL DATA

TYPES OF STRUCTURE

SYMMETRICAL RACTANGULAR FRAME TUBE	=	1
FRAMES.....	=	0
SHEAR WALLS.....	=	0
COUPLE SHEAR WALLS.....	=	0
SHEAR CORES.....	=	0

GENERAL DATA \*\*\*

NUMBER OF STORIES .....	=	30
NUMBER OF REFFERENCE LEVELS .....	=	3
STRUCTURE CONDITION (SYM.=1, OTHERS=2) .	=	1
HEIGHT OF EACH STORY		

STORY NO.	HEIGHT
1	12.00
2	12.00
3	12.00
4	12.00
5	12.00
6	12.00
7	12.00
8	12.00
9	12.00
10	12.00
11	12.00
12	12.00
13	12.00
14	12.00
15	12.00
16	12.00
17	12.00
18	12.00
19	12.00
20	12.00
21	12.00
22	12.00
23	12.00

SLDF ANALYSIS  
PROJECT : EXAM#1-3(TORSION)  
AUTHORITY : J. BANPOTE

DATE : 01-06-1989 <DATA> P. 2  
FILENAME : EXAM#1-3  
ENGINEER : J.BANPOTE

HEIGHT OF EACH STORY  
STORY NO. HEIGHT

STORY NO.	HEIGHT
24	12.00
25	12.00
26	12.00
27	12.00
28	12.00
29	12.00
30	12.00

HEIGHT OF REFERENCE LEVELS  
REF. NO. HEIGHT

REF. NO.	HEIGHT
1	120.00
2	240.00
3	360.00

LOAD AT REF. LEVELS  
REF. NO. SHEAR TORSION

1	+0.00E+00	+3.89E+04
2	+0.00E+00	+1.94E+04
3	+0.00E+00	+0.00E+00

SLDF ANALYSIS DATE : 01-06-1989 <DATA> P. 3  
 PROJECT : EXAM#1-3(TORSION) FILENAME : EXAM#1-3  
 AUTHORITY : J. BANPOTE ENGINEER : J.BANPOTE

\*\*\* \* SYMMETRICAL FRAME TUBE DATA \*

\*\*\* \* DIMENSION & LOCATION \*\*\*

---

WIDTH OF PERPENDICULAR PANEL = 84.00  
 WIDTH OF PARALLEL PANEL ... = 132.00  
 HEIGHT OF SYM. FRAME TUBE ... = 360.00  
 LOCATION... (w.r.t datum axis) = 0.00

\*\*\* \* CONSTANT OF FUNCTION \*\*\*

---

M1..... = 1.00  
 M2..... = 2.00  
 M3..... = 1.00

\*\*\* \* MEMBER DATA \*\*\*

---

NO. OF PANELS = 4

\*\*\* \* GIRDER DATA \*\*\*

---

PANEL NO. 1 & 3  
 NO. OF MATERIAL PROPERTIES = 3

---

MATERIAL PROPERTY NO. 1

---

MODULUS OF ELASTICITY = 5.00E+05  
 SHEAR MODULUS..... = 2.07E+05  
 MOMENT OF INNERTIA ... = 3.89E+00  
 CROSS SECTIONAL AREA.. = 3.60E+00  
 EFFECTIVE SHEAR AREA.. = 3.00E+00  
 WIDTH OF GIRDER..... = 1.00E+00  
 DEPTH OF GIRDER..... = 3.60E+00

**SLDF ANALYSIS** DATE :01-06-1989 <DATA> P. 4  
 PROJECT : EXAM#1-3(TORSION) FILENAME : EXAM#1-3  
 AUTHORITY : J. BANPOTE ENGINEER : J.BANPOTE

MATERIAL PROPERTY NO. 2

MODULUS OF ELASTICITY = 5.00E+05  
 SHEAR MODULUS..... = 2.07E+05  
 MOMENT OF INNERTIA ... = 3.28E+00  
 CROSS SECTIONAL AREA.. = 3.40E+00  
 EFFECTIVE SHEAR AREA.. = 2.83E+00  
 WIDTH OF GIRDER..... = 1.00E+00  
 DEPTH OF GIRDER..... = 3.40E+00

MATERIAL PROPERTY NO. 3

MODULUS OF ELASTICITY = 5.00E+05  
 SHEAR MODULUS..... = 2.07E+05  
 MOMENT OF INNERTIA ... = 1.83E+00  
 CROSS SECTIONAL AREA.. = 2.80E+00  
 EFFECTIVE SHEAR AREA.. = 2.33E+00  
 WIDTH OF GIRDER..... = 1.00E+00  
 DEPTH OF GIRDER..... = 2.80E+00

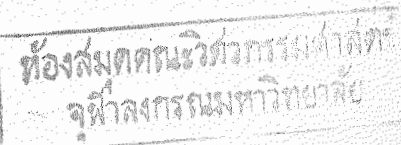
PANEL NO. 2 & 4  
 NO. OF MATERIAL PROPERTIES = 3

MATERIAL PROPERTY NO. 1

MODULUS OF ELASTICITY = 5.00E+05  
 SHEAR MODULUS..... = 2.07E+05  
 MOMENT OF INNERTIA ... = 3.89E+00  
 CROSS SECTIONAL AREA.. = 3.60E+00  
 EFFECTIVE SHEAR AREA.. = 3.00E+00  
 WIDTH OF GIRDER..... = 1.00E+00  
 DEPTH OF GIRDER..... = 3.60E+00

MATERIAL PROPERTY NO. 2

MODULUS OF ELASTICITY = 5.00E+05  
 SHEAR MODULUS..... = 2.07E+05  
 MOMENT OF INNERTIA ... = 3.28E+00  
 CROSS SECTIONAL AREA.. = 3.40E+00  
 EFFECTIVE SHEAR AREA.. = 2.83E+00  
 WIDTH OF GIRDER..... = 1.00E+00  
 DEPTH OF GIRDER..... = 3.40E+00



**SLDF ANALYSIS** DATE :01-06-1989 <DATA> P. 5  
 PROJECT : EXAM#1-3(TORSION) FILENAME : EXAM#1-3  
 AUTHORITY : J. BANPOTE ENGINEER : J.BANPOTE

MATERIAL PROPERTY NO. 3

---

MODULUS OF ELASTICITY = 5.00E+05  
 SHEAR MODULUS..... = 2.07E+05  
 MOMENT OF INNERTIA ... = 1.83E+00  
 CROSS SECTIONAL AREA.. = 2.80E+00  
 EFFECTIVE SHEAR AREA.. = 2.33E+00  
 WIDTH OF GIRDER..... = 1.00E+00  
 DEPTH OF GIRDER..... = 2.80E+00

\*\* INTERIOR COLUMN DATA \*\*

PANEL NO. 1 & 3

NO. OF MATERIAL PROPERTIES = 3  
 MATERIAL PROPERTY NO. 1

---

MODULUS ELASTICITY = 5.00E+05  
 SHEAR MODULUS..... = 2.07E+05  
 MOMENT OF INNERTIA.... = 3.28E+00  
 CROSS SECTIONAL AREA.. = 3.40E+00  
 EFFECTIVE SHEAR AREA.. = 2.83E+00  
 WIDTH OF COLUMN..... = 3.40E+00  
 LONG OF COLUMN..... = 1.00E+00

MATERIAL PROPERTY NO. 2

---

MODULUS ELASTICITY = 5.00E+05  
 SHEAR MODULUS..... = 2.07E+05  
 MOMENT OF INNERTIA.... = 2.73E+00  
 CROSS SECTIONAL AREA.. = 3.20E+00  
 EFFECTIVE SHEAR AREA.. = 2.67E+00  
 WIDTH OF COLUMN..... = 3.20E+00  
 LONG OF COLUMN..... = 1.00E+00

MATERIAL PROPERTY NO. 3

---

MODULUS ELASTICITY = 5.00E+05  
 SHEAR MODULUS..... = 2.07E+05  
 MOMENT OF INNERTIA.... = 1.83E+00  
 CROSS SECTIONAL AREA.. = 2.80E+00  
 EFFECTIVE SHEAR AREA.. = 2.33E+00  
 WIDTH OF COLUMN..... = 2.80E+00  
 LONG OF COLUMN..... = 1.00E+00

PANEL NO. 2 & 4

NO. OF MATERIAL PROPERTIES = 3

SLDF ANALYSIS  
PROJECT : EXAM#1-3(TORSION)  
AUTHORITY : J. BANPOTE

DATE : 01-06-1989 <DATA> P. 6  
FILENAME : EXAM#1-3  
ENGINEER : J.BANPOTE

MATERIAL PROPERTY NO. 1

MODULUS ELASTICITY = 5.00E+05  
SHEAR MODULUS..... = 2.07E+05  
MOMENT OF INNERTIA.... = 3.28E+00  
CROSS SECTIONAL AREA.. = 3.40E+00  
EFFECTIVE SHEAR AREA.. = 2.83E+00  
WIDTH OF COLUMN..... = 3.40E+00  
LONG OF COLUMN..... = 1.00E+00

MATERIAL PROPERTY NO. 2

MODULUS ELASTICITY = 5.00E+05  
SHEAR MODULUS..... = 2.07E+05  
MOMENT OF INNERTIA.... = 2.73E+00  
CROSS SECTIONAL AREA.. = 3.20E+00  
EFFECTIVE SHEAR AREA.. = 2.67E+00  
WIDTH OF COLUMN..... = 3.20E+00  
LONG OF COLUMN..... = 1.00E+00

MATERIAL PROPERTY NO. 3

MODULUS ELASTICITY = 5.00E+05  
SHEAR MODULUS..... = 2.07E+05  
MOMENT OF INNERTIA.... = 1.83E+00  
CROSS SECTIONAL AREA.. = 2.80E+00  
EFFECTIVE SHEAR AREA.. = 2.33E+00  
WIDTH OF COLUMN..... = 2.80E+00  
LONG OF COLUMN..... = 1.00E+00

\*\* CORNER COLUMN DATA \*\*

NO. OF MATERIAL PROPERTIES = 3  
MATERIAL PROPERTY NO. 1

MODULUS ELASTICITY = 5.00E+05  
SHEAR MODULUS ..... = 2.07E+05  
MOMENT OF INERTIA.... = 3.56E+00  
CROSS SECTIONAL AREA.. = 6.80E+00  
EFFECTIVE SHEAR AREA.. = 5.67E+00  
WIDTH OF COLUMN..... = 6.80E+00  
LONG OF COLUMN..... = 1.00E+00

**SLDF ANALYSIS** DATE :01-06-1989 <DATA> P. 7  
 PROJECT : EXAM#1-3(TORSION) FILENAME : EXAM#1-3  
 AUTHORITY : J. BANPOTE ENGINEER : J.BANPOTE

MATERIAL PROPERTY NO. 2

---

MODULUS ELASTICITY.....	=	5.00E+05
SHEAR MODULUS .....	=	2.07E+05
MOMENT OF INERTIA.....	=	3.00E+00
CROSS SECTIONAL AREA..	=	6.40E+00
EFFECTIVE SHEAR AREA..	=	5.33E+00
WIDTH OF COLUMN.....	=	6.40E+00
LONG OF COLUMN.....	=	1.00E+00

MATERIAL PROPERTY NO. 3

---

MODULUS ELASTICITY.....	=	5.00E+05
SHEAR MODULUS .....	=	2.07E+05
MOMENT OF INERTIA.....	=	2.06E+00
CROSS SECTIONAL AREA..	=	5.60E+00
EFFECTIVE SHEAR AREA..	=	4.67E+00
WIDTH OF COLUMN.....	=	5.60E+00
LONG OF COLUMN.....	=	1.00E+00

\*\* BAY WIDTH DATA \*\*

PANEL NO. 1 & 3

NO. OF BAY WIDTH =	1
BAY WIDTH NO.	BAY WIDTH

---

1	12.00
---	-------

PANEL NO. 2 & 4

NO. OF BAY WIDTH =	1
BAY WIDTH NO.	BAY WIDTH

---

1	12.00
---	-------

\*\* STORY NO. (CHANGE PROP.) \*\*

PANEL NO. 1 & 3	
NO. OF MATERIAL PROPERTIES =	3
PROP. NO./ PROP. NO.	STORY NO. (CHANGE PROP.)

---

1 / 2	10
2 / 3	20

PANEL NO. 2 & 4

NO. OF MATERIAL PROPERTIES =	3
PROP. NO./ PROP. NO.	STORY NO. (CHANGE PROP.)

---

SLDF ANALYSIS DATE :01-06-1989 <DATA> P. S  
PROJECT : EXAM#1-3(TORSION) FILENAME : EXAM#1-3  
AUTHORITY : J. BANPOTE ENGINEER : J.BANPOTE

PROP. NO./ PROP. NO. STORY NO. (CHANGE PROP.)

1	/	2	10
2	/	3	20

SLDF ANALYSIS DATE : 01-06-1989 <RESULT> P. 1  
PROJECT : EXAM#1-3(TORSION) FILENAME : EXAM#1-3  
AUTHORITY : J.BANPOTE ENGINEER : J.BANPOTE

\*\*\*\*\*  
\*  
\* DISPLACEMENT & ROTATION OF SYM. FRAME TUBE \*  
\*  
\*\*\*\*\*

REF. NO.	DISPLACEMENT	ROTATION
1	+0.00E+00	+4.29E-04
2	+0.00E+00	+7.46E-04
3	+0.00E+00	+9.09E-04

**SLDF ANALYSIS** DATE : 01-06-1989 <RESULT> P. 2  
PROJECT : EXAM#1-3(TORSION) FILENAME : EXAM#1-3  
AUTHORITY : J.BANPOTE ENGINEER : J.BANPOTE

## COMPONENT LOAD OF SYM. FRAME TUBE

REF. NO.	LATERAL LOAD	TORSION
1	+0.00E+00	-1.75E-03
2	+0.00E+00	+1.62E+02
3	+0.00E+00	+3.98E-05

**SLDF ANALYSIS** DATE : 01-06-1989  
 PROJECT : EXAM#1-3(TORSION)  
 AUTHORITY : J.BANPOTE

**RESULT** P. 3  
 FILENAME : EXAM#1-3  
 ENGINEER : J.BANPOTE

\*\*\*\*\*  
 \* FORCES IN COLUMN OF SYM. FRAME TUBE \*  
 \*\*\*\*\*

\*\*\* PANEL NO. 1 \*\*\* STORY NO. 1 \*\*\*

DIST OF COL. FROM CENTER	AXIAL FORCE		SHEAR FORCE		MOMENT	
	UPPER	LOWER	UPPER	LOWER	UPPER	LOWER
-42	+4.98E+01	+4.98E+01	+1.79E+01	+1.79E+01	+1.08E+02	+1.08E+02
-30	+2.01E+01	+2.01E+01	+3.59E+01	+3.59E+01	+2.15E+02	+2.15E+02
-18	+1.21E+01	+1.21E+01	+3.59E+01	+3.59E+01	+2.15E+02	+2.15E+02
-6	+4.02E+00	+4.02E+00	+3.59E+01	+3.59E+01	+2.15E+02	+2.15E+02
6	-4.02E+00	-4.02E+00	+3.59E+01	+3.59E+01	+2.15E+02	+2.15E+02
18	-1.21E+01	-1.21E+01	+3.59E+01	+3.59E+01	+2.15E+02	+2.15E+02
30	-2.01E+01	-2.01E+01	+3.59E+01	+3.59E+01	+2.15E+02	+2.15E+02
42	-4.98E+01	-4.98E+01	+1.79E+01	+1.79E+01	+1.08E+02	+1.08E+02

\*\*\* PANEL NO. 2 \*\*\* STORY NO. 1 \*\*\*

DIST OF COL. FROM CENTER	AXIAL FORCE		SHEAR FORCE		MOMENT	
	UPPER	LOWER	UPPER	LOWER	UPPER	LOWER
66	-4.98E+01	-4.98E+01	+1.15E+01	+1.15E+01	+6.93E+01	+6.93E+01
54	-2.20E+01	-2.20E+01	+2.31E+01	+2.31E+01	+1.39E+02	+1.39E+02
42	-1.71E+01	-1.71E+01	+2.31E+01	+2.31E+01	+1.39E+02	+1.39E+02
30	-1.22E+01	-1.22E+01	+2.31E+01	+2.31E+01	+1.39E+02	+1.39E+02
18	-7.35E+00	-7.35E+00	+2.31E+01	+2.31E+01	+1.39E+02	+1.39E+02
6	-2.45E+00	-2.45E+00	+2.31E+01	+2.31E+01	+1.39E+02	+1.39E+02
-6	+2.45E+00	+2.45E+00	+2.31E+01	+2.31E+01	+1.39E+02	+1.39E+02
-18	+7.35E+00	+7.35E+00	+2.31E+01	+2.31E+01	+1.39E+02	+1.39E+02
-30	+1.22E+01	+1.22E+01	+2.31E+01	+2.31E+01	+1.39E+02	+1.39E+02
-42	+1.71E+01	+1.71E+01	+2.31E+01	+2.31E+01	+1.39E+02	+1.39E+02
-54	+2.20E+01	+2.20E+01	+2.31E+01	+2.31E+01	+1.39E+02	+1.39E+02
-66	+4.98E+01	+4.98E+01	+1.15E+01	+1.15E+01	+6.93E+01	+6.93E+01

**SLDF ANALYSIS DATE : 01-06-1989 <RESULT> P. 4**  
**PROJECT : EXAM#1-3(TORSION) FILENAME : EXAM#1-3**  
**AUTHORITY : J.BANPOTE ENGINEER : J.BANPOTE**

\*\*\* PANEL NO. 3 \*\*\* STORY NO. 1 \*\*\*

DIST OF COL. FROM CENTER	AXIAL FORCE		SHEAR FORCE		MOMENT	
	UPPER	LOWER	UPPER	LOWER	UPPER	LOWER
-42	-4.98E+01	-4.98E+01	-1.79E+01	-1.79E+01	-1.05E+02	-1.08E+02
-30	-2.01E+01	-2.01E+01	-3.59E+01	-3.59E+01	-2.09E+02	-2.15E+02
-18	-1.21E+01	-1.21E+01	-3.59E+01	-3.59E+01	-2.09E+02	-2.15E+02
-6	-4.02E+00	-4.02E+00	-3.59E+01	-3.59E+01	-2.09E+02	-2.15E+02
6	+4.02E+00	+4.02E+00	-3.59E+01	-3.59E+01	-2.09E+02	-2.15E+02
18	+1.21E+01	+1.21E+01	-3.59E+01	-3.59E+01	-2.09E+02	-2.15E+02
30	+2.01E+01	+2.01E+01	-3.59E+01	-3.59E+01	-2.09E+02	-2.15E+02
42	+4.98E+01	+4.98E+01	-1.79E+01	-1.79E+01	-1.05E+02	-1.08E+02

\*\*\* PANEL NO. 4 \*\*\* STORY NO. 1 \*\*\*

DIST OF COL. FROM CENTER	AXIAL FORCE		SHEAR FORCE		MOMENT	
	UPPER	LOWER	UPPER	LOWER	UPPER	LOWER
66	+4.98E+01	+4.98E+01	-1.15E+01	-1.15E+01	-6.93E+01	-6.93E+01
54	+2.20E+01	+2.20E+01	-2.31E+01	-2.31E+01	-1.39E+02	-1.39E+02
42	+1.71E+01	+1.71E+01	-2.31E+01	-2.31E+01	-1.39E+02	-1.39E+02
30	+1.22E+01	+1.22E+01	-2.31E+01	-2.31E+01	-1.39E+02	-1.39E+02
18	+7.35E+00	+7.35E+00	-2.31E+01	-2.31E+01	-1.39E+02	-1.39E+02
6	+2.45E+00	+2.45E+00	-2.31E+01	-2.31E+01	-1.39E+02	-1.39E+02
-6	-2.45E+00	-2.45E+00	-2.31E+01	-2.31E+01	-1.39E+02	-1.39E+02
-18	-7.35E+00	-7.35E+00	-2.31E+01	-2.31E+01	-1.39E+02	-1.39E+02
-30	-1.22E+01	-1.22E+01	-2.31E+01	-2.31E+01	-1.39E+02	-1.39E+02
-42	-1.71E+01	-1.71E+01	-2.31E+01	-2.31E+01	-1.39E+02	-1.39E+02
-54	-2.20E+01	-2.20E+01	-2.31E+01	-2.31E+01	-1.39E+02	-1.39E+02
-66	-4.98E+01	-4.98E+01	-1.15E+01	-1.15E+01	-6.93E+01	-6.93E+01

SLDF ANALYSIS DATE : 01-06-1989 <RESULT> P. 5  
 PROJECT : EXAM#1-3(TORSION) FILENAME : EXAM#1-3  
 AUTHORITY : J.BANPOTE ENGINEER : J.BANPOTE

FORCES IN GIRDER OF SYM. FRAME TUBE

\*\*\* PANEL NO. 1 \*\*\* STORY NO. 1 \*\*\*

DIST. OF GIRDER FROM CENTER	SHEAR		MOMENT	
	LEFT	RIGHT	LEFT	RIGHT
-36	+3.59E+01	+3.59E+01	+2.15E+02	+2.15E+02
-24	+3.59E+01	+3.59E+01	+2.15E+02	+2.15E+02
-12	+3.59E+01	+3.59E+01	+2.15E+02	+2.15E+02
0	+3.59E+01	+3.59E+01	+2.15E+02	+2.15E+02
0	+3.59E+01	+3.59E+01	+2.15E+02	+2.15E+02
12	+3.59E+01	+3.59E+01	+2.15E+02	+2.15E+02
24	+3.59E+01	+3.59E+01	+2.15E+02	+2.15E+02
36	+3.59E+01	+3.59E+01	+2.15E+02	+2.15E+02

\*\*\* PANEL NO. 2 \*\*\* STORY NO. 1 \*\*\*

DIST. OF GIRDER FROM CENTER	SHEAR		MOMENT	
	LEFT	RIGHT	LEFT	RIGHT
60	+2.31E+01	+2.31E+01	+1.39E+02	+1.39E+02
48	+2.31E+01	+2.31E+01	+1.39E+02	+1.39E+02
36	+2.31E+01	+2.31E+01	+1.39E+02	+1.39E+02
24	+2.31E+01	+2.31E+01	+1.39E+02	+1.39E+02
12	+2.31E+01	+2.31E+01	+1.39E+02	+1.39E+02
0	+2.31E+01	+2.31E+01	+1.39E+02	+1.39E+02
0	+2.31E+01	+2.31E+01	+1.39E+02	+1.39E+02
-12	+2.31E+01	+2.31E+01	+1.39E+02	+1.39E+02
-24	+2.31E+01	+2.31E+01	+1.39E+02	+1.39E+02
-36	+2.31E+01	+2.31E+01	+1.39E+02	+1.39E+02
-48	+2.31E+01	+2.31E+01	+1.39E+02	+1.39E+02
-60	+2.31E+01	+2.31E+01	+1.39E+02	+1.39E+02

**SLDF ANALYSIS DATE : 01-06-1989 <RESULT> P. 6**  
**PROJECT : EXAM#1-3(TORSION) FILENAME : EXAM#1-3**  
**AUTHORITY : J.BANPOTE ENGINEER : J.BANPOTE**

\*\*\* PANEL NO. 3 \*\*\* STORY NO. 1 \*\*\*

DIST. OF GIRDER FROM CENTER	SHEAR		MOMENT	
	LEFT	RIGHT	LEFT	RIGHT
-36	-3.59E+01	-3.59E+01	-2.15E+02	-2.15E+02
-24	-3.59E+01	-3.59E+01	-2.15E+02	-2.15E+02
-12	-3.59E+01	-3.59E+01	-2.15E+02	-2.15E+02
0	-3.59E+01	-3.59E+01	-2.15E+02	-2.15E+02
0	-3.59E+01	-3.59E+01	-2.15E+02	-2.15E+02
12	-3.59E+01	-3.59E+01	-2.15E+02	-2.15E+02
24	-3.59E+01	-3.59E+01	-2.15E+02	-2.15E+02
36	-3.59E+01	-3.59E+01	-2.15E+02	-2.15E+02

\*\*\* PANEL NO. 4 \*\*\* STORY NO. 1 \*\*\*

DIST. OF GIRDER FROM CENTER	SHEAR		MOMENT	
	LEFT	RIGHT	LEFT	RIGHT
60	-2.31E+01	-2.31E+01	-1.39E+02	-1.39E+02
48	-2.31E+01	-2.31E+01	-1.39E+02	-1.39E+02
36	-2.31E+01	-2.31E+01	-1.39E+02	-1.39E+02
24	-2.31E+01	-2.31E+01	-1.39E+02	-1.39E+02
12	-2.31E+01	-2.31E+01	-1.39E+02	-1.39E+02
0	-2.31E+01	-2.31E+01	-1.39E+02	-1.39E+02
0	-2.31E+01	-2.31E+01	-1.39E+02	-1.39E+02
-12	-2.31E+01	-2.31E+01	-1.39E+02	-1.39E+02
-24	-2.31E+01	-2.31E+01	-1.39E+02	-1.39E+02
-36	-2.31E+01	-2.31E+01	-1.39E+02	-1.39E+02
-48	-2.31E+01	-2.31E+01	-1.39E+02	-1.39E+02
-60	-2.31E+01	-2.31E+01	-1.39E+02	-1.39E+02